



Ministério da Educação
Universidade Federal do Rio Grande
Programa de Pós-graduação em Ciências da Saúde



APLICAÇÕES BIOTECNOLÓGICAS DA MICROALGA *Conticribra weissflogii* PARA INFECÇÕES CAUSADAS POR *Acinetobacter baumannii*

Carolina da Silva Canielles

Rio Grande, 2023



Ministério da Educação
Universidade Federal do Rio Grande
Programa de Pós-graduação em Ciências da Saúde



APLICAÇÕES BIOTECNOLÓGICAS DA MICROALGA *Conticribra weissflogii* PARA INFECÇÕES CAUSADAS POR *Acinetobacter baumannii*

Tese apresentada ao programa de Pós-Graduação em Ciências da Saúde, da Universidade Federal do Rio Grande (FURG), como requisito parcial à obtenção do título de Doutora em Ciências da Saúde.

Orientadora: Prof. Dr^a. Daniela Fernandes Ramos

Coorientador: Dr. Fábio Roselet

Carolina da Silva Canielles

Rio Grande, 2023

Tese apresentada ao programa de Pós-Graduação em Ciências da Saúde, da Universidade Federal do Rio Grande (FURG), como requisito parcial à obtenção do título de Doutora em Ciências da Saúde.

APLICAÇÕES BIOTECNOLÓGICAS DA MICROALGA *Conticribra weissflogii* PARA INFECÇÕES CAUSADAS POR *Acinetobacter baumannii*

Banca examinadora:

Prof. Dr. Fabiano Lopes Thompson – UFRJ Externo

Dra. Priscila Cristina Bartolomeu Halicki – UCF University of C. Florida Externo

Prof. Dr. Flávio Manoel Rodrigues da Silva Júnior – FURG

Dra. Marcelle Oliveira Garcia – FURG (Suplente)

Orientadora: Prof.^a Dra. Daniela Fernandes Ramos

Coorientador: Dr. Fábio Roselet

Agradecimentos

Aos meus filhos Felipe e Rafael que são minha maior motivação, pelo carinho e compreensão. Mesmo com as ausências o amor sempre esteve presente.

Aos meus pais, que são meu maior exemplo, que apoiam e vibram em todas as minhas etapas acadêmicas.

A minha orientadora Prof^a Dr^a Daniela por todo apoio incondicional, por sempre me incentivar e estimular. Pelos momentos de amizade e muito aprendizado, serei eternamente grata.

Ao meu coorientador, Dr Fábio pelo apoio e conhecimentos transmitidos ao longo da trajetória do doutorado.

A todo grupo do NUDEFA, pelas trocas pelo apoio e pela amizade, foram meu suporte acadêmico nos últimos 4 anos.

A FURG e ao Programa de Pós-graduação em Ciências da Saúde pela oportunidade de estudar e crescer profissionalmente.

Ao Conselho Nacional de Desenvolvimento Científico e Tecnológico (CNPq) pela bolsa concedida.

Resumo

Na última década foi visto um aumento significativo na resistência de bactérias patogênicas a agentes antimicrobianos. Em consequência, a resistência antimicrobiana se tornou um desafio para a saúde pública global e reflete em risco à saúde e à segurança dos pacientes aumentando as taxas de morbimortalidade. Dentre as bactérias patogênicas prioritárias descritas, destaca-se a bactéria *Acinetobacter baumannii*, conhecida por sua capacidade de causar infecções nosocomiais graves. Grande parte dos antimicrobianos disponíveis no mercado foram obtidos a partir de fontes naturais. Atualmente, estudos com produtos naturais marinhos, especialmente oriundos de microalgas, tornaram-se atrativos devido a diversidade de metabólitos secundários com bioatividade comprovada, representando fonte promissora de produtos com atividade terapêutica. Diante disso, o presente trabalho avaliou o perfil metabolômico da microalga *Conticribra weissflogii* e a atividade antimicrobiana de extratos desta diatomácea amplamente empregada na aquacultura, sobre cepas de *A. baumannii*. O cultivo da biomassa foi realizado em escala laboratorial em condições controladas a fim de promover a produção de metabólitos secundários. Os extratos foram preparados a partir de diferentes solventes, metanol, acetona, acetato de etila, diclorometano, clorofórmio e hexano. As análises dos grupos funcionais majoritários da biomassa e em cada extrato foi realizada pela técnica de Ressonância Magnética Nuclear de H de alta resolução com giro no ângulo mágico (¹H HR-MAS NMR) e Ressonância Magnética Nuclear de Hidrogênio (¹H-RMN). A atividade antimicrobiana, foi avaliada através da determinação da Concentração Mínima Inibitória (CMI), e da avaliação da interação do extrato bioativo com antibióticos, além do potencial anti-biofilme do mesmo. Através destes ensaios foi possível identificar que o extrato em hexano foi o único com atividade frente *A. baumannii* com CMI de 0,4 mg/mL e cujo componente majoritário foram os ácidos graxos, também, prevalentemente identificados nas análises de ¹H HR-MAS NMR. Além disso, o extrato foi significativamente ativo inibindo e destruindo os biofilmes bacterianos, sendo indiferente a dois fármacos antimicrobianos já utilizados na terapia, e com potencial indutor de estresse oxidativo, o que poderia estar associado a composição majoritariamente lipídica destes extratos e da própria microalga. Portanto, tendo em vista a carência de alternativas terapêuticas no combate a essas cepas resistentes, este estudo evidenciou uma importante estratégia para identificar novas opções de compostos candidatos a produto para o tratamento de infecções causadas por microrganismos resistentes, tais como *A. baumannii*.

Palavras-chave: Biofilme; Resistência; *Acinetobacter baumannii*; antimicrobianos; microalgas; diatomáceas; biotecnologia marinha.

Abstract

The last decade has seen a significant increase in the resistance of pathogenic bacteria to antimicrobial agents. As a result, antimicrobial resistance has become a challenge for global public health and reflects a risk to the health and safety of patients, increasing morbidity and mortality rates. Among the priority pathogenic bacteria described, the bacterium *Acinetobacter baumannii* stands out, known for its ability to cause serious nosocomial complications. Most of the antimicrobials available on the market were obtained from natural sources. Currently, studies with marine natural products, especially from microalgae, have become attractive due to the diversity of secondary metabolites with proven bioactivity, representing a promising source of products with therapeutic activity. Therefore, the present work evaluated the metabolomic profile of the microalgae *Conticribra weissflogii* and the antimicrobial activity of extracts of this diatom widely used in aquaculture, on strains of *Acinetobacter baumannii*. Biomass cultivation was carried out on a laboratory scale under controlled conditions in order to promote the production of secondary metabolites. The extracts were prepared from different solvents, methanol, acetone, ethyl acetate, dichloromethane, chloroform and hexane. The analyzes of the major functional groups of the biomass and in each extract were performed using the technique of high-resolution H Nuclear Magnetic Resonance with magic angle rotation (^1H HR-MAS NMR) and Hydrogen Nuclear Magnetic Resonance ($^1\text{H-NMR}$). The antimicrobial activity was evaluated by determining the Minimum Inhibitory Concentration (MIC), and evaluating the interaction of the bioactive extract with antibiotics, in addition to its anti-biofilm potential. Through these assays, it was possible to identify that the extract in hexane was the only one with activity against *A. baumannii* with a MIC of 0.4 mg/mL and whose major component was the fatty acids, also prevalently identified in the ^1H HR-MAS analyses. NMR. Furthermore, the extract was significantly active in inhibiting and destroying bacterial biofilms, being indifferent to two antimicrobial drugs already used in therapy, and with potential to induce oxidative stress, which could be associated with the mostly lipid composition of these extracts and the microalgae themselves. Therefore, in view of the lack of therapeutic alternatives to combat these resistant strains, this study showed an important strategy to identify new options for candidate compounds for the treatment of infections caused by resistant microorganisms, such as *A. baumannii*.

Keywords: Biofilm; Resistance; *Acinetobacter baumannii*; antimicrobials; microalgae; diatoms; marine biotechnology.

Lista de tabelas

Capítulo I

Table 1. Assignment of main resonances of marine microalgae by ^1H HR-MAS NMR (400 MHz).	35
---	----

Capítulo II

Tabela 1. Atividade antimicrobiana, pela determinação da Concentração mínima inibitória – CMI, dos extratos de <i>C. weissflogii</i> frente a cepa padrão de <i>A. baumannii</i> (ATCC 19606) através de ensaio de determinação da CMI (expressa em mg/mL). Extratos que não apresentaram atividades a 0,8 mg/mL foram considerados inativos.	50
---	----

Tabela 2. Concentração Mínima inibitória e perfil de sensibilidade dos isolados avaliados frente a três classes de antibióticos e ao extrato em hexano de <i>C. weissflogii</i> (mg/mL)	51
---	----

Tabela 3. Concentração em que o extrato de <i>C. wessflogii</i> foi capaz de manter a viabilidade de 50% das células (IC^{50}) – fibroblastos (VERO) -, após 24 horas de incubação, expressas em mg/mL	52
---	----

Tabela 4. Índice de seletividade (IS) calculado através da razão entre concentração inibitória de cada extrato de <i>C. weissflogii</i> obtida pelo ensaio de citotoxicidade (IC^{50}) em células VERO e frente a cepa padrão de <i>A. baumannii</i> (CMI) ($\text{IC}^{50}/\text{CMI}$). ND: Não determinado, pela inatividade do extrato frente a espécie <i>A. baumannii</i>	52
--	----

Tabela 5. Concentração mínima inibitória (CMI) e do índice de concentração inibitória fractionada (FICI) do extrato em hexano de <i>Conticriba weissflogii</i> associado a ciprofloxacina e amicacina frente a <i>Acinetobacter baumannii</i> (ATCC 19606).	53
---	----

Lista de figuras

Capítulo I

Figure 1. 1H HR-MAS NMR spectra (400 MHz, CDCl ₃) of the microalgae <i>N. oceanica</i> (A), <i>C. muelleri</i> (B), and <i>C. weissflogii</i> (C). In blue, types of hydrogens of polyunsaturated fatty acids are indicated.	33
Figure 2. 1H HR-MAS NMR spectra (400 MHz, D ₂ O) of the microalgae <i>N. oceanica</i> (A), <i>C. muelleri</i> (B), and <i>C. weissflogii</i> (C). In blue, the metabolites identified are indicated.	34
Figure 3. 1H HR-MAS NMR spectra (400 MHz, MeOD) of the microalgae <i>N. oceanica</i> (A), <i>C. muelleri</i> (B) and <i>C. weissflogii</i> (C). In blue, the metabolites or types of hydrogens identified are indicated.	35

Capítulo II

Figura 1. Rendimento de cada extrato de <i>C. weissflogii</i> preparados através de ultrasonicação, conforme metodologia proposta por Borges et al. (2016) (expresso em %).	48
Figura 2. Espectro de 1H RMN (400 MHz, CDCl ₃) de extratos de <i>C. weissflogii</i> : (A) Hexano; (B) Clorofórmio; (C) Acetato de Etila; (D) Diclorometano; (E) Acetona.	49
Figura 3. Potencial antioxidante dos extratos de <i>C. weissflogii</i> (expressos em %) usando o método proposto por Amado et al. (2009).	50
Figura 4. Resultados obtidos nos ensaios utilizando diferentes concentrações do extrato em hexano de <i>Conticriba weissflogii</i> na inibição da formação de biofilme (a) e na destruição de biofilmes pré-formados (b) de <i>Acinetobacter baumannii</i> . * representa os grupos com significância utilizando ANOVA de uma via com Bonferroni como pós-teste ($p < 0,05$), todos avaliados em relação ao controle.	54

Lista de abreviaturas e siglas

ALA – ácido α-linolênico

ABAP – 2,2'- azobis-(2-metilpropanoamidina)

CIF – concentração inibitória fracionária

CMI – oncentração mínima inibitória

CFU – unidades formadoras de colônias

CoCl₂ – cloreto de cobalto

CuSO₄ – sulfato de cobre

DMEM – Dulbecco's Modified Eagle Medium

DMSO – dimetilsulfóxido

DO – densidade ótica

DHA -ácido docosa-hexaenoico

EMA - estação marinha de aquacultura

EPA – ácido Eicosapentaenoico

ESCAPE – *Enterococcus faecium*, *Staphylococcus aureus*, *Klebsiella pneumoniae*, *Acinetobacter baumannii*, *Pseudomonas aeruginosa* e *Enterobacter spp*

FF – fluorescência líquida

FeCl₃ – cloreto férrico

FICI – índice de Concentração Inibitória Fracionária

FURG – Universidade Federal do Rio Grande

H2DCFDA – diacetato de diclorodihidrofluoresceína

HEPES – ácido (hidroxietil) piperazina etanosulfônico

¹H HR-MAS NMR – ressonância magnética nuclear de ¹H de alta resolução com giro no ângulo mágico

IC₅₀ – concentração capaz de manter a viabilidade de 50% das células

IO – Instituto de Oceanografia

IS – índice de seletividade

KCl – cloreto de potássio

MnCl₂ – cloreto de manganês

Na₂MoO₄ – molibdato de amônio

NaClO – hipoclorito de Sódio

NaNO₃ - nitrato de sódio

RMN – espectroscopia de Ressonância Magnética Nuclear de Hidrogênio

NUDEFA – Núcleo de Desenvolvimento de Novos Fármacos

NUPEMM – Núcleo de Pesquisa em Microbiologia Médica

MDR – resistência a múltiplas drogas

MgCl₂ – cloreto de magnésio

OMS – organização Mundial da Saúde

pH – potencial hidrogeniônico

PCR – reação da Cadeia da Polimerase

PUFA - poli unsaturated fatty acid

ROS “reactive oxygen species”

ZnSO₄ – sulfato de Zinco

Sumário

Introdução	12
Revisão bibliográfica	13
Produtos naturais	13
Evolução da Farmacologia Marinha	14
Microalgas	15
<i>Conticriba weissflogii</i>	16
Cultivo de microalgas	17
Biotecnologia de microalgas, compostos bioativos e atividade biológica .	18
Gênero <i>Acinetobacter</i>	20
<i>Acinetobacter baumannii</i>	22
Resistência antimicrobiana	23
Objetivo geral	27
Objetivos específicos	27
Capítulos	28
Capítulo I	29
Capítulo II	40
Conclusões	67
Referências	68

1 **Introdução**

2 Na última década testemunhou-se o aumento do problema da resistência
3 de bactérias patogênicas a agentes antibacterianos representando uma ameaça
4 no controle destas infecções. *Acinetobacter baumannii* está na lista de agentes
5 prioritários que representam a maior ameaça para a saúde humana, já alertado
6 desde 2017 pela Organização Mundial da Saúde (OMS) com o intuito de que
7 novas estratégias de pesquisa e desenvolvimento fossem traçadas devido à
8 escassez de alternativas terapêuticas a essas cepas resistentes tornando
9 importante o desenvolvimento de novas drogas.

10 O Brasil estabeleceu através da Rede Nacional de Pesquisa Marinha
11 (BIOTECMAR), uma estratégia nacional ao incentivo e fortalecimento de estudos
12 *in vitro*, que validem a utilização de metabólitos oriundos de sistemas de
13 aquacultura como insumos para utilização industrial, inclusive, farmacológica.
14 Estudos provenientes de microalgas tornaram-se atrativos devido a diversidade
15 de metabólitos secundários que apresentam bioatividade comprovada.

16 Dentre as microalgas mais estudadas, podemos destacar as
17 diatomáceas, com atividade antibacteriana já relatada. A diatomácea *Conticriba*
18 *weissflogii* produzida em larga escala na nossa região, apresenta em sua
19 biomassa grande quantidade de lipídios com potencial para estudos de
20 bioprospecção de metabólitos com atividade antibacteriana.

21 Portanto, a bioprospecção de metabólitos produzidos por microalgas
22 marinhas são uma alternativa na produção massiva de compostos
23 biologicamente ativos, que possam ser inseridos na produção de novos
24 fármacos para o tratamento de doenças de elevada morbi-mortalidade a nível
25 nacional e internacional.

26

27

28

29

30

31 **Revisão bibliográfica**

32 **Produtos naturais**

33 A natureza é uma incrível fonte de diversidade química e compostos bioativos
34 possuem propriedades farmacológicas únicas. O uso de produtos naturais como
35 produtos de uso farmacológico vem sendo descrito ao longo da história sob a
36 forma de medicamentos tradicionais, remédios e óleos, com muitos desses
37 produtos bioativos ainda não identificados (DIAS; URBAN; ROESSNER, 2012;
38 MARTINS et al., 2018). Hoje, mais de 50% dos medicamentos comercializados
39 são extraídos de fontes ou produzidos usando um produto natural como modelo
40 ou material de partida (KANASE; SINGH, 2018; NEWMAN; CRAGG, 2016).

41 A utilização farmacológica de produtos naturais já revelou mais de 1 milhão
42 de entidades químicas que atuam como moléculas protótipos de fármacos.
43 Historicamente, pode-se exemplificar o isolamento da morfina, oriunda de
44 alcaloide de papoulas (*Papaver somniferum*) identificada em 1803 e da
45 penicilina, oriunda do fungo *Penicillium notatum* e descoberta por Alexander
46 Fleming em 1929, que são, até hoje produtos farmacologicamente úteis (DIAS;
47 URBAN; ROESSNER, 2012; MARTINS et al., 2014).

48 Maior diversidade e complexidade química, especificidade bioquímica,
49 eficiência e interação com alvos biológicos são algumas vantagens que os
50 produtos naturais apresentam em relação aos produtos sintéticos. Entre 1981 e
51 2019, cerca de 70% de todas as drogas usadas como antimicrobianos (incluindo
52 compostos antibacterianos, antivirais, antiparasitários e antifúngicos), foram
53 desenvolvidos a partir de fontes naturais ou derivados desta. Porém, a
54 descoberta de novas drogas está ameaçada devido a diversos fatores, dentre
55 eles o surgimento de microorganismos resistentes e os custos para o
56 desenvolvimento de antimicrobianos que giram na faixa de bilhões de dólares
57 (NEWMAN; CRAGG, 2020).

58 Das 12 classes antibacterianas, nove são derivadas de um modelo de
59 produto natural e as arquiteturas moleculares dos β-lactâmicos (penicilinas,
60 cefalosporinas, carbapenêmicos, monobactâmicos), policetídeos (tetraciclina),
61 fenilpropanóides (cloranfenicol), aminoglicosídeos (estreptomicina), macrolídeos
62 (eritromicina), glicopeptídeos (vancomicina), mais recentemente, os

63 lipopeptídeos (daptomicina) e glicilciclínas (tigeciclina) também (FENICAL, 2010;
64 SOTO, 2018). Nesse sentido, a natureza é uma importante fonte de moléculas
65 com potencial para desenvolvimento de novos produtos farmacológicos
66 (POWERS, 2004; SOTO, 2018).

67 Ainda que as plantas, as primeiras fontes de produtos naturais exploradas e
68 sempre se apresentaram como uma ótima fonte para novas descobertas, o
69 ambiente marinho ainda que menos explorado, também possui um histórico de
70 descobertas e, organismos marinhos já ofereceram produtos com atividades
71 farmacológicas antimicrobiana, citotóxica, anticâncer, antidiabética, antifúngica,
72 anticoagulante, anti-inflamatória (BHOWMICK et al., 2020; CARVALHO;
73 PEREIRA, 2014; DIAS; URBAN; ROESSNER, 2012; GUL; HAMANN, 2005;
74 HABBU et al., 2016; MAYER; HAMANN, 2005; SCHINKE et al., 2017; SOTO,
75 2018)

76 **Evolução da Farmacologia Marinha**

77 O ambiente marinho é responsável pela cobertura de 71% da superfície da
78 Terra e oferece cerca de 300 vezes mais espaço habitável do que o ambiente
79 terrestre e sua evolução biológica antecedeu a superfície terrestre em milhões
80 de anos, o que lhe confere abundância de biodiversidade, e o torna promissor a
81 compreensão e investigação desse ecossistema, ainda que pouco explorado,
82 especialmente na descoberta de agentes farmacológicos (HABBU et al., 2016;
83 KANASE; SINGH, 2018; NEWMAN; CRAGG, 2016).

84 Produtos marinhos vêm sendo descobertos ao longo das últimas décadas,
85 sendo alguns destes produtos com estruturas químicas únicas e sem
86 precedentes em fontes naturais terrestres. Entre esses produtos, vale ressaltar
87 que 33% foram isolados de esponjas, 25% de algas, 18% de celenterados e 24%
88 de outros invertebrados (BENOIST et al., 2020; BERDI, 2005; DESRIAC et al.,
89 2020; DIAS; URBAN; ROESSNER, 2012; GARCÍA-DAVIS et al., 2020;
90 SABDANINGSIH et al., 2020).

91 Um estudo pioneiro realizado na década de 50 com produtos marinhos foi o
92 isolamento de nucleosídeos com atividade antiviral e anticâncer da esponja
93 caribenha *Tethyacrypta* (BERGMANN; FEENEY, 1950) Mais tarde, análogos
94 sintéticos destes nucleosídeos levaram ao desenvolvimento do agente

95 anticâncer Ara-C, ou Citarabira, utilizado principalmente em neoplasias de
96 células sanguíneas brancas, como a leucemia, e do agente antiviral Ara-A, ou
97 Vidarabina, especialmente ativo contra vírus herpes simplex e vírus da varicela
98 zoster. (KIJJOA; SAWANGWONG, 2004). Ambos se encontram atualmente no
99 mercado.

100 De 2008 até 2013, 188 produtos naturais foram identificados de organismos
101 marinhos apenas em oceanos profundos, incluindo entre eles microrganismos,
102 esponjas, briozoários, moluscos e cordados. Dentre estas moléculas, com as
103 mais diversas estruturas químicas, 75% mostraram-se bioativas, agindo
104 principalmente sobre diversas linhagens de células tumorais humanas
105 (SKROPETA; WEI, 2014). Até 2019, segundo o *Pipeline* Clínico de
106 Farmacologia Marinha apresentava 9 medicamentos derivados do mar
107 aprovados: para o vírus Herpes Simplex, vidarabina (Vira-A®, aprovado pelo
108 FDA em 1976); para o câncer, citarabina (Cytosar - U®, Depocyt®, aprovado
109 pelo FDA 1969); já citados anteriormente e também: para dor, ziconotida
110 (Prialt®, aprovado pela FDA em 2004); para hipertrigliceridemia, ésteres etílicos
111 de ácido ômega-3 (Lovaza®, FDA-aprovado 2004); e para o câncer, mesilato de
112 eribulina (Halaven®, aprovado pelo FDA 2010), brentuximabe vedotina
113 (Adcetris®, aprovado pelo FDA 2011), trabectedina (Yondelis®, Aprovado pela
114 UE em 2008, aprovado pelo FDA em 2015), plitidepsina (Aplidine®) aprovado na
115 Austrália em 2018 e polatuzumab vedotin (POLIVY®, aprovado pelo FDA
116 2019). A pesquisa também apresentou que haviam 31 compostos derivados do
117 mar em ensaios clínicos ativos: 5 compostos derivados do mar estavam na Fase
118 III, 13 compostos na Fase II, e pelo menos 9 compostos na Fase I (MIETHKE et
119 al., 2021).

120

121 **Microalgas**

122 As microalgas são organismos unicelulares autotróficos que transformam
123 dióxido de carbono, hidrogênio e nitrogênio em carboidratos, lipídios e proteínas
124 (OLAIZOLA, 2003; SAVAGE, 2011). Filogeneticamente, são compostas de
125 espécies procarióticas ou eucarióticas, antigas ou mais recentes, conforme o
126 período em que surgiram no planeta (OHSE et al., 2008).

127 Elas combinam típicas propriedades de plantas superiores (fotossíntese
128 aeróbica eficiente e simplicidade de requisitos nutricionais) com atributos
129 biotecnológicos característicos de células microbianas (crescimento rápido em
130 cultura líquida e capacidade para acumular ou secretar alguns metabólitos). O
131 cultivo de microalgas ganhou grande impulso devido à sua capacidade de
132 produzir metabólitos de alto valor, alta eficiência fotossintética e natureza versátil
133 (DE FREITAS COÊLHO et al., 2019). Esta combinação, representa a base da
134 biotecnologia de microalgas e apresenta um aumento no interesse devido as
135 potenciais aplicações comerciais nas áreas de nutrição, saúde humana e animal,
136 tratamento de águas residuais e produção de energia (BORGES et al., 2011;
137 CAMPOS; BARBARINO; LOURENÇO, 2010; DE JESUS RAPOSO et al., 2013)

138 As microalgas apresentam uma composição média de 5 a 50% de
139 proteína, 20 a 40% de carboidratos e 10 a 30% de lipídeos. Todos esses valores
140 se referem ao percentual da biomassa seca. Além disso, existem outros
141 elementos presentes em menores quantidades, como pigmentos (1%), vitaminas
142 e sais minerais. Muitos desses elementos presentes em baixas concentrações
143 têm alto preço de mercado, pois apresentam ações terapêuticas no combate a
144 doenças e são usados como nutracêuticos, ou elementos para cosméticos
145 (ARRIADA; ABREU, 2014).

146 Dentre as microalgas, podemos destacar as diatomáceas (classe
147 *Bacillariophyceae*) *Conticriba weissflogii* e *Chaetoceros muelleri*, que se
148 encontram em todos os ambientes aquáticos (LOURENÇO, 2006; DE FREITAS
149 COÊLHO et al., 2019). São o grupo mais representativo em nano e
150 microfitoplâncton marinho com uma alta diversidade, tornando-se únicas em
151 termos de evolução, estrutura e atividades metabólicas (GONÇALVES-ARAUJO
152 et al., 2012; MACHADO et al., 2014; WANG et al., 2014; MALVIYA et al., 2016;
153 MARELLA et al., 2020; MARTIN-JÉZÉQUEL et al., 2000). A microalga
154 *Nannochloropsis oculata* é uma microalga verde unicelular pertencente às
155 *Eutigmatophyceae* também possui alta diversidade, com alto teor lipídico, é uma
156 espécie promissora para a produção de biodiesel e também é usado como
157 alimento vivo na aquicultura, devido ao seu cultivo fácil e rápido (WEI et al.,
158 2013).

159

160 ***Conticriba weissflogii***

161 A diatomácea *Conticriba weissflogii* antes classificada como
162 *Thalassiosira weissflogii* é uma espécie eurialina que possui altas taxas de
163 crescimento e tolerância a variações de temperatura, luz e nutrientes (COUTO

164 et al., 2021; STACHURA-SUCHOPLES; WILLIAMS, 2009; VELLA et al., 2019).
165 Apresenta altas taxas de fixação de carbono, assim como uma alta eficiência
166 fotossintética (BORGES et al., 2007). Ela é onipresente e frequentemente
167 dominante na biomassa fitoplânctonica em áreas estuarinas e costeiras de todo
168 o mundo (MACHADO et al., 2014) .

169 *C. weissflogii* se destaca pela sua alta capacidade de acumular lipídeos e
170 é usada na aquicultura como fonte de alimentação de crustáceos (COUTO et al.,
171 2021; GARCÍA et al., 2012). O seu conteúdo lipídico vem sendo analisado,
172 principalmente como fonte de ácidos graxos para copépodes (KLEIN et al.,
173 2005). Já foi estudado o potencial para produção de lipídeos (ARAUJO et al.,
174 2011; ISHIDA et al., 2000; VIRGINIA ARMBRUST et al., 2004). Devido à alta
175 produtividade e acumulação de lipídeos, as diatomáceas representam uma
176 possível fonte para combustíveis e ácidos graxos (PULZ et al., 2004). Esses
177 ácidos graxos possuem grande potencial comercial ao serem incorporados em
178 alimentos, rações, cosméticos e fármacos (BOROWITZKA, 2013).

179 As diatomáceas desenvolveram sistemas precisos para combater
180 bactérias patogênicas. Alguns dos compostos mais estudados de algas
181 marinhas com atividade antibacteriana, os ácidos graxos, atuam contra
182 bactérias, inibindo sua cadeia de transporte de elétrons e a fosforilação oxidativa
183 nas membranas celulares (SOTO, 2018) .

184 **Cultivo de microalgas**

185 A história da utilização de microalgas se remete há séculos, porém o
186 cultivo comercial de microalgas teve início no século vinte (OLAIZOLA, 2003). E
187 a produção em escala industrial se iniciou na Alemanha durante a Segunda
188 Guerra Mundial, como fonte acessível de proteínas e com o início do cultivo
189 massivo das diatomáceas, que mostravam a capacidade de acumular grandes
190 quantidades de lipídeos em certas condições de cultivo (OLAIZOLA, 2003).

191 O crescimento das microalgas é resultado de interações biológicas, físicas
192 e químicas que ocorrem entre elas e o ambiente (DERNER, 2006). A composição
193 bioquímica das microalgas varia de acordo com a espécie, fase de crescimento
194 e condições de cultivo (ARRIADA; ABREU, 2014). Sendo assim, podem interferir
195 no metabolismo das células e consequentemente na síntese dos compostos de
196 interesse (LOURENÇO, 2006).

197 As microalgas exibem uma significativa plasticidade ecológica, pela
198 capacidade de se adaptar às mudanças nas condições ambientais extremas,
199 como a temperatura, luz, pH, salinidade e umidade, que descreve sua
200 distribuição mundial (SANTHOSH et al., 2016). Condições estressantes para o
201 crescimento das microalgas, como excesso ou falta de luz, poucos nutrientes e
202 temperaturas extremas, podem ser empregadas para produzir algum desses
203 elementos em maior quantidade (ARRIADA; ABREU, 2014; LOURENÇO, 2006).

204 Sendo as microalgas consideradas uma fonte rica de diversos
205 componentes de interesse comercial é importante destacar que a viabilidade da
206 sua produção depende de vários fatores, como por exemplo os custos de meios
207 de cultivo (COUTO et al., 2021). O cultivo de microalgas é um dos fatores
208 considerados limitadores de uma produção em escala industrial
209 economicamente viável (CHEN et al., 2015) e é necessário desenvolver modos
210 de operação de baixo custo que possam aumentar a produção de biomassa (ou
211 uma molécula alvo escolhida) e, assim, reduzir os custos de cultivo (COUTO et
212 al., 2021; DE FREITAS COÊLHO et al., 2019).

213

214 **Biotecnologia de microalgas, compostos bioativos e atividade biológica**

215 A biotecnologia marinha tem como objetivo desenvolver métodos para a
216 produção de produtos originados de macro e microrganismos marinhos, os quais
217 podem contribuir para a saúde humana, para a indústria de alimentos e para a
218 produção de energia (WIJFFELS, 2008). Entre os muitos compostos bioativos
219 conhecidos por serem produzidos por microalgas estão vitaminas, lipídios,
220 pigmentos, lipídios e polissacarídeos (DE FREITAS COÊLHO et al., 2019). A
221 biotecnologia marinha ainda é um campo emergente no Brasil e inclui a
222 exploração de produtos microbianos marinhos, aquicultura, metabolômicas,
223 isolamento de compostos biologicamente ativos, identificação de aglomerados
224 de genes biossintéticos de microrganismos simbóticos, investigação de doenças
225 invertebradas causadas por microrganismos marinhos potencialmente
226 patogênicos e desenvolvimento de compostos antincrustantes (THOMPSON et
227 al., 2018).

228 Diversas espécies de microalgas destacam-se por apresentar
229 características de interesse para a indústria farmacêutica, algumas microalgas

230 produzem compostos bioativos como antioxidantes e antibióticos. Também são
231 usados como suplementos nutricionais para o consumo humano, devido aos
232 elevados teores de proteínas, polissacarídeos e os conteúdos de vitaminas
233 (HARUN et al., 2010).

234 Exemplos notáveis incluem o desenvolvimento de drogas antitrombóticas
235 e antimetastáticas de organismos marinhos (DE MOURA et al., 2018; GOMES
236 et al., 2015; KOZLOWSKI et al., 2011; MOURÃO, 2015; TOVAR et al., 2016),
237 elucidação do efeito antimarial de polissacarídeos sulfatados marinhos
238 (MARQUES et al., 2016), atividades enzimáticas (proteolítica e fosfolipase A2),
239 inibitorias (proteases metalo, cisteína e serina) e hemaglutinantes foram
240 determinadas a partir de zoantídeos (GUARNIERI et al., 2018) e isolamento de
241 um dipeptídeo anti-biofilme de fungos marinhos (SCOPEL et al., 2013). Também
242 foram divulgados isolados microbianos de esponjas com atividade
243 antimicrobiana contra importantes patógenos humanos (RUA et al., 2014). A
244 indústria brasileira está se conscientizando do grande potencial da
245 biodiversidade marinha em produzir produtos úteis (THOMPSON et al., 2018).

246 Produtos farmacêuticos de microalgas possuem alto valor, mas sua
247 comercialização ainda está muito recente. As microalgas possuem um grande
248 potencial genético para vários agentes bioativos. Esta capacidade comprovada
249 para produzir compostos coloca esses microrganismos no centro das atenções
250 biotecnológicas para aplicações e comercialização, como por exemplo na
251 indústria farmacêutica. As algas também foram verificadas como fontes
252 precursoras de vitaminas, como ácido ascórbico, riboflavina e tocoferol
253 (SHARMA; SHARMA, 2017)

254 A busca por compostos bioativos a partir de microalgas vêm se tornando
255 cada vez mais promissora, acompanhado da introdução crescente de espécies
256 cultivadas a nível comercial, facilitando e viabilizando a obtenção destas
257 moléculas de interesse. A manutenção controlada e a produção de microalgas
258 são um fator essencial para explorá-las como uma fonte economicamente viável
259 de importantes produtos (BORGES et al., 2011; COUTO et al., 2021).

260 Os compostos bioativos que são geralmente metabolitos secundários,
261 incluem vários tipos de substâncias que variam a partir de ácidos orgânicos,

262 carboidratos, aminoácidos e peptídeos, vitaminas, substâncias de crescimento,
263 antibióticos e enzimas (NEWMAN; CRAGG, 2016)

264 O estudo do metabolismo secundário em microalgas foi desenvolvido a
265 partir do isolamento e do reconhecimento de produtos químicos bioativos,
266 através da pesquisa sobre a sua biossíntese e o estudo dos mecanismos de
267 controle fisiológicos envolvidos. Os compostos formados na fase de produção do
268 metabolismo secundário são geralmente constituídos de diferentes
269 componentes intermediários que são acumulados nas células das microalgas ou
270 no meio de cultura durante seu período de crescimento e são precursores do
271 metabolismo primário (CHU, 2012).

272 Microalgas como as diatomáceas desenvolveram sistemas precisos para
273 combater bactérias patogênicas que coexistem no ambiente marinho. Sendo a
274 secreção de metabólitos secundários um desses sistemas(SOTO, 2018). Devido
275 a sua versatilidade e capacidade de adaptação a diferentes ambientes, tornou
276 as algas candidatas ideais para a formulação de compostos antimicrobianos com
277 alta eficácia e de formas econômicas. Os seus metabólitos podem exibir
278 atividade antimicrobiana substancial contra uma ampla gama de bactérias,
279 incluindo cepas multirresistentes, tornando-os fontes promissoras de compostos
280 antimicrobianos (BHOWMICK et al., 2020).

281 As propriedades antibacterianas exibidas por diferentes metabólitos das
282 algas não dependem apenas dos vários solventes usados, mas também dos
283 métodos de extração ou diferentes frações utilizadas. Alguns dos metabólitos já
284 estão bem caracterizados, e alguns ainda precisam ser investigadas
285 exaustivamente. Estudos elucidaram o mecanismo de atividade antibacteriana
286 desses metabólitos e os prováveis locais nas células bacterianas onde eles
287 tendem a interagir (BHOWMICK et al., 2020; DA ROSA et al., 2023; ROTTER et
288 al., 2021; THOMPSON et al., 2018).

289

290 **Gênero *Acinetobacter***

291 A história do gênero *Acinetobacter* remonta ao início do século 20, quando
292 Beijerinck, um microbiologista holandês, em 1911 descreveu um organismo
293 chamado *Micrococcus calcoaceticus* que foi isolado do solo por enriquecimento
294 em meio mínimo contendo acetato de cálcio (PELEG et al., 2008).

295 A atual designação de gênero, *Acinetobacter*, foi proposto inicialmente por
296 Brisou e Pre'vot em 1954 para separar os microrganismos móveis e não móveis,
297 do gênero *Achromobacter*. Somente em 1968 essa designação de gênero se
298 tornou mais amplamente aceita. Baumann et al. (1968) concluíram que as
299 diferentes espécies listadas pertenciam a um único gênero, para o qual o nome
300 *Acinetobacter* foi proposto, e não foi possível subclassificar mais espécies
301 diferentes com base nas características fenotípicas (PELEG et al. 2008).

302 Em 1971 a classificação oficial do gênero *Acinetobacter* foi aprovada pelo
303 *Sub-committee on the Taxonomy of Moraxella and Allied Bacteria* (LESSEL,
304 1971). Na edição de 1974 do *Bergey's Manual of Systematic Bacteriology*, o
305 gênero *Acinetobacter* foi listado, com a descrição de uma única espécie,
306 *Acinetobacter calcoaceticus*. Existiam descritas até 1986 no *Approved List of*
307 *Bacterial Names* somente duas espécies, *A. calcoaceticus* e *A. Iwoffii* (PELEG et
308 al. 2008).

309 Em 1986, Bouvet e Grimont com base em estudos de hibridização de DNA
310 distinguiram 12 grupos ou genoespécies de DNA (hibridização), alguns dos quais
311 receberam nomes formais de espécies, incluindo *A. baumannii*, *A. calcoaceticus*,
312 *A. haemolyticus*, *A. johnsonii*, *A. junii* e *A. Iwoffii* (BOUVET; GRIMONT, 1986).
313 Com as novas pesquisas taxonômicas e o surgimento de novas espécies foi
314 proposto que membros do gênero seriam então classificados dentro da família
315 *Moraxellaceae*, que inclui *Moraxella*, *Acinetobacter*, *Psychrobacter* e organismos
316 relacionados (PELEG et al. 2008).

317 Hoje, o gênero *Acinetobacter* pertence à família *Moraxellaceae*, à classe
318 *Grammaproteobacteria* e ordem *Pseudomodales*. O gênero abriga 63 espécies
319 com nomenclatura válida e oito espécies sem nomenclatura válida, descritas na
320 Lista de nomes de procariotos com Nomenclatura Permanente (List of
321 Prokaryotic names with Standing in nomenclature – LPSN) vinte espécies são
322 categorizadas como patógenos e encontradas em seres humanos (SHIN; PARK,
323 2017). Nos últimos cinco anos, várias espécies novas de *Acinetobacter* de
324 origem humana foram descritas: *A. seifertii*, *A. variabilis*, *A. proteolyticus*, *A.*
325 *vivianii* e *A. modestus*, o que indica a possível descoberta de mais espécies de
326 *Acinetobacter* causadoras de doenças no futuro (SHIN; PARK, 2017).

327 Dentre as espécies de *Acinetobacter* que são agentes causadores
328 comuns de infecções humanas em hospitais, destaca-se *A. baumannii*, *A. pitti* e
329 *A. nosocomialis*. *A. baumannii* forma um complexo de *A. baumannii* com *A.*
330 *nosocomialis* e *A. pitii*, responsável pela maioria (90-95%) de infecções
331 clinicamente significativas (SHIN; PARK, 2017).

332 O complexo *Acinetobacter calcoaceticus-Acinetobacter baumannii*(ACB)
333 foi um termo proposto por Gerner-Smid et al (1991) para representar um grupo
334 de quatro espécies homólogas, que não podem ser diferenciadas a partir de
335 testes fenotípicos de rotina (NEMEC et al. 2011).O que não é o ideal do ponto
336 de vista clínico, pois atualmente o complexo abriga cinco espécies de
337 importância clínica e uma espécie ambiental (HARDING; HENNON; FELDMAN,
338 2018).

339 Entre as espécies de *Acinetobacter*, *Acinetobacter baumannii* é o membro
340 mais importante associado à infecções adquirida no hospital em todo o mundo
341 (LIN et al. 2014).

342 ***Acinetobacter baumannii***

343 *Acinetobacter baumannii* é um coccobacilo gram-negativo, oxidase-
344 negativo, não móvel, não fermentativo e aeróbico. Já foi considerado um
345 patógeno de baixo grau e, atualmente é reconhecido como um patógeno
346 oportunista, é uma das causas significativas de infecções nosocomiais e é de
347 crescente importância na comunidade médica (KRZYŚCIAK et al. 2017). As
348 infecções por *Acinetobacter baumannii* são mais prevalentes em pacientes
349 hospitalizados, porém a frequência de infecções por *A. baumannii* adquiridas na
350 comunidade têm aumentado gradualmente (LEE et al. 2017a; LIN et al. 2014). A
351 maioria das infecções por *A. baumannii* ocorre em pacientes críticos na unidade
352 de terapia intensiva (UTI) e representa até 20% das infecções em UTIs em todo
353 o mundo (FOURNIER; RICHET, 2006a).

354 Este patógeno apresenta capacidade de sobrevivência por longo período
355 de tempo em ambiente hospitalar, facilitando sua disseminação entre a equipe
356 médica, pacientes imunocomprometidos, idosos, neonatos com baixo peso,
357 pacientes com câncer e queimaduras, pacientes que passaram por cirurgia e
358 que estão em prolongado tempo de internação (WONG et al. 2017).

359 Os sítios de infecção mais comuns de *A. baumannii* são o trato respiratório
360 inferior, trato urinário, corrente sanguínea, pele e tecidos moles e os principais
361 fatores de risco incluem procedimentos invasivos, tais como o uso de ventilação
362 mecânica, cateter venoso central ou cateter urinário, e uso prévio de antibióticos
363 de amplo espectro (FOURNIER; RICHET, 2006; PELEG; SEIFERT;
364 PATERSON, 2008; PEREZ et al. 2007).

365 Nas últimas duas décadas teve sua importância clínica ressaltada devido
366 ao surgimento de grandes infecções relacionadas à assistência à saúde (IRAS)
367 e a emergência de abrangentes mecanismos de resistência aos antimicrobianos
368 por estes microrganismos (BERGOGNE-BÉRÉZIN; TOWNER, 1996; PELEG;
369 SEIFERT; PATERSON, 2008; PEREZ et al., 2007; WATKINS; BONOMO, 2020).
370 Devido a sua excepcional capacidade de adaptação a condições ambientais
371 prejudiciais, *A. baumannii* desenvolve rapidamente resistência a antimicrobianos
372 (KYRIAKIDIS et al., 2021; MCCONNELL; ACTIS; PACHÓN, 2013).

373 Devido à prevalência de infecções e surtos causados por *A. baumannii*
374 resistente a múltiplos fármacos, poucos antibióticos são eficazes no tratamento
375 de infecções causadas por este patógeno. Para superar este problema, o
376 conhecimento da patogênese e dos mecanismos de resistência a antibióticos de
377 *A. baumannii* são importantes (KURIHARA et al. 2020; LEE et al. 2017; NOCERA
378 et al. 2021).

379 Várias cepas de *A. baumannii* são altamente resistentes à maioria dos
380 antibióticos disponíveis clinicamente (LIN et al. 2014). *A. baumannii* possui vários
381 mecanismos de resistência, incluindo β-lactamases, enzimas modificadoras de
382 aminoglicosídeos, bombas de efluxo, defeitos de permeabilidade e modificações
383 nos locais de destino. O acúmulo de vários mecanismos de resistência em *A.*
384 *baumannii* diminuiu gradualmente o número de classes de antibióticos
385 disponíveis para o tratamento de infecções por *A. baumannii* na prática clínica
386 (LEE et al. 2017).

387 **Resistência antimicrobiana**

388 De acordo com OMS a resistência antimicrobiana é um desafio para a
389 saúde pública global. (WHO 2014). Vários patógenos resistentes a antibióticos

390 foram identificados como causas de infecções graves em pacientes
391 hospitalizados (MULVEY; SIMOR, 2009).

392 Os organismos resistentes a antibióticos parecem ser biologicamente
393 adequados e capazes de causar infecções graves e potencialmente fatais,
394 difíceis de gerenciar porque as opções de tratamento se tornaram limitadas.
395 Esses organismos são tipicamente resistentes a múltiplas classes de agentes
396 antimicrobianos e, portanto, são chamados de organismos multirresistentes
397 (MULVEY; SIMOR, 2009). A resistência antimicrobiana é um fenômeno natural
398 em microrganismos, mas pode ser acelerada pela pressão seletiva do uso de
399 agentes antimicrobianos (O'Neill 2014).

400 O uso persistente de antibióticos, automedicação e exposição a infecções
401 em hospitais provocou o surgimento de bactérias multirresistentes responsáveis
402 por 15,5% de infecções hospitalares no mundo (MULANI et al. 2019;
403 PENDLETON; GORMAN; GILMORE, 2013; RICE, 2008). As infecções causadas
404 por organismos resistentes a antimicrobianos estão quase sempre associadas
405 ao aumento da mortalidade atribuível, permanência hospitalar prolongada e
406 custos excessivos (MULVEY; SIMOR, 2009). Estratégias para reduzir a
407 resistência antimicrobiana devem considerar o papel e o efeito de muitos fatores,
408 incluindo os mecanismos de resistência, espécies de microrganismos, o
409 antimicrobiano específico, bem como o cenário e o contexto (HOLMES et al.
410 2016).

411 Em 2017 a OMS publicou uma lista de "agentes patogênicos prioritários"
412 com o objetivo de orientar e promover pesquisa e desenvolvimento de novos
413 antibióticos. Nela destacam-se os patógenos do grupo "ESKAPE", contra as
414 quais são urgentemente necessários novos antibióticos. O termo "ESKAPE"
415 abrange seis dos patógenos com crescente resistência e virulência a múltiplas
416 drogas: *Enterococcus faecium*, *Staphylococcus aureus*, *Klebsiella pneumoniae*,
417 *Acinetobacter baumannii*, *Pseudomonas aeruginosa* e *Enterobacter spp.* (RICE,
418 2008). Os patógenos "ESKAPE" são responsáveis pela maioria das infecções
419 nosocomiais e são capazes de "escapar" da ação biocida dos agentes
420 antimicrobianos (HOWARD et al. 2012; MULANI et al. 2019; RICE, 2008).

421 *Acinetobacter baumannii* tem quase todos os mecanismos de resistência
422 bacteriana. Todas as lactamases da classe β foram detectadas em *A. baumannii*
423 e a frequência de isolados de *A. baumannii* resistentes a carbapenem é muito
424 alta. Além disso, quase todos os *A. baumannii* contém enzimas modificadoras
425 de aminoglicosídeos e muitas bombas de efluxo responsáveis pela resistência a
426 vários antibióticos clinicamente importantes foram identificadas em *A.*
427 *baumannii*. Devido a essas habilidades, os antibióticos disponíveis para tratar
428 infecções por *A. baumannii* são significativamente limitados. A colistina é usada
429 como tratamento antibiótico de último recurso, devido à sua taxa de resistência
430 relativamente baixa. No entanto, o surgimento de cepas de *A. baumannii*
431 resistentes à colistina aumentou mundialmente com o aumento do uso de
432 colistina (KYRIAKIDIS et al. 2021; LABARCA et al. 2016)

433 A terapia antimicrobiana geral para tratar eficazmente as infecções
434 envolve o uso de antibióticos isoladamente ou em combinação. A análise das
435 listas de antibióticos recomendadas nas diretrizes do Clinical & Laboratory
436 Standards Institute (CLSI) revelou que muitos antibióticos sugeridos contra os
437 patógenos ESKAPE desde 2010 foram excluídos. Portanto, é imperativo
438 encontrar maneiras alternativas de tratar infecções, especialmente aquelas
439 causadas por patógenos do ESKAPE (MULANI et al., 2019).

440 Os mecanismos de resistência a múltiplas drogas exibidos pelo ESKAPE
441 são amplamente agrupados em três categorias: inativação do medicamento
442 comumente por uma clivagem irreversível catalisada por uma enzima,
443 modificação do local de destino onde o antibiótico pode se ligar, acúmulo
444 reduzido do medicamento devido à permeabilidade reduzida ou por aumento do
445 efluxo da droga (SIRIJAN SANTAJIT; NITAYA INDRAWATTANA, 2016). Eles
446 também são capazes de formar biofilmes que impedem fisicamente as células
447 de resposta imune do hospedeiro, bem como antibióticos para inibir o patógeno.
448 Além disso, os biofilmes protegem células adormecidas especializadas,
449 chamadas células persistentes, tolerantes a antibióticos que causam infecções
450 recalcitrantes difíceis de tratar (LEWIS, 2007).

451 Embora exista atividade aumentada de antibióticos quando usados em
452 combinação contra patógenos *in vitro*, existem estudos limitados demonstrando
453 o mesmo *in vivo* e alguns dentre aqueles se mostraram desvantajosos. Se a

454 monoterapia seleciona um espectro estreito de resistência, uma combinação de
455 dois ou mais antibióticos seleciona um amplo espectro de resistência, derrotando
456 completamente o objetivo da terapia combinada (WESTERGAARD et al. 2016).
457 Certas combinações destinadas a tratar infecções tendem a ter o efeito oposto,
458 resultando em danos muito piores (FALLAH, 2018). Um antibiótico pode levar à
459 indução de um mecanismo de resistência contra um segundo antibiótico
460 administrado em combinação, levando a efeito antagônico. As bactérias
461 ESKAPE tendem a se tornar resistentes a um ou ambos os antibióticos usados
462 em combinação a cada ano que passa, devido não apenas à seleção natural de
463 cepas resistentes, mas também à transferência horizontal de genes dessas
464 cepas sensíveis (MULANI et al., 2019).

465 O desenvolvimento de novas terapêuticas para tratar infecções
466 resistentes a medicamentos, especialmente aquelas causadas por patógenos do
467 ESKAPE, é uma real necessidade (MULANI et al. 2019).Uma razão para o
468 número limitado de novos antibióticos é que as fontes tradicionais desses
469 produtos foram cuidadosamente avaliadas a ponto de praticamente todos os
470 compostos antibacterianos promissores terem sido identificados. Estudos estão
471 explorando outras fontes inexploradas de produtos, como o ambiente marinho e
472 bactérias que vivem em condições precárias (MARSTON et al. 2016).

473

474

475

476

477

478

479

480

481

482

483

484 **Objetivo geral**

485 Caracterizar os extratos da microalga *Conticribra weissflogii* e avaliar a atividade
486 antimicrobiana sobre cepas de *Acinetobacter baumannii*.

487

488 **Objetivos específicos**

- 489 - Utilizar o sistema de aquacultura para produção de biomassa da microalga
490 *Conticribra weissflogii*;
- 491 - Estimular a produção de metabólitos secundários bioativos através de
492 modificações nos métodos de cultivo da microalga *Conticribra weissflogii*;
- 493 - Produzir os extratos da microalga *Conticribra weissflogii*;
- 494 - Caracterizar os metabólitos da microalga *Conticribra weissflogii*;
- 495 - Avaliar a bioatividade dos extratos da microalga *Conticribra weissflogii* frente a
496 *A. baumannii* em suspensão e em biofilme;
- 497 - Avaliar a capacidade antioxidante dos extratos de *Conticribra weissflogii*;
- 498 - Avaliar citotoxicidade dos extratos de *Conticribra weissflogii* em células animais
499 isoladas.

500

501

502

503

504

505

506

507

508

509

510 **Capítulos**

511 O trabalho foi organizado na forma de 2 capítulos, onde o **Capítulo I** trata
512 de um artigo já publicado, enquanto o **Capítulo II** apresenta um manuscrito, a
513 ser modificado e, posteriormente submetido. As metodologias utilizadas para
514 execução desse trabalho estarão apresentadas de acordo com os trabalhos em
515 cada capítulo.

516 O **Capítulo I** apresenta os resultados obtidos no artigo “Application of ^1H
517 HR-MAS-NMR-Based Metabolite Fingerprinting of Marine Microalgae”, que
518 avaliou a caracterização através da técnica de ^1H HR-MAS-NMR dos principais
519 metabólitos de três espécies de microalgas com aplicações importantes na
520 indústria de alimentos e combustíveis, bem como com promissor potencial no
521 contexto do desenvolvimento de alternativas farmacológicas. E, o **Capítulo II**,
522 apresenta um manuscrito, cujo objetivo foi avaliar a bioatividade dos extratos
523 produzidos através da biomassa da diatomácea *C. weissflogii* frente a cepas de
524 *A. baumannii*.

525 Este trabalho além de caracterizar pela primeira vez o perfil químico da
526 diatomácea *C. weissflogii* também avaliou pela primeira vez a bioatividade frente
527 a *A. baumannii* destacando assim os metabólitos produzidos a partir de
528 microalgas como possível fonte promissora para o desenvolvimento de
529 alternativas no combate a importantes patógenos bacterianos.

530

531

532

533

534

535

536

537

539 **Capítulo I**

540 O artigo foi publicado na revista Metabolites em janeiro de 2023 (Fator de
541 impacto: 5,581).

542 *Article*

543 **Application of ^1H HR-MAS NMR-based Metabolite 544 Fingerprinting of Marine Microalgae**

545 **Carolina da Silva Canielles Caprara¹, Tatiane Ksyvickas Mathias², Maria de Fátima C.
546 Santos², Marcelo G. M. D’Oca², Caroline Da R. M. D’Oca², Fabio Roselet³, Paulo Cesar
547 Abreu^{3†} and Daniela Fernandes Ramos^{1,*}**

548 †This work is dedicated to the memory of our dear colleague and mentor, Professor Paulo Cesar Abreu, who passed
549 away on July 19, 2022.

550

551 ¹ Laboratório de Desenvolvimento de Novos Fármacos (LADEFA), Universidade
552 Federal do Rio Grande (FURG), Rio Grande, Rio Grande do Sul 96200-400,
553 Brazil; carolina.caprara@anhanguera.com (C.S.C.C.); daniferamos@gmail.com
554 (D.F.R.)

555 ² NMR Laboratory, NMR Center, Departamento de Química, Universidade
556 Federal do Paraná, Curitiba 81530-900, PR, Brazil; tatimathias2103@gmail.com
557 (T.K.M.); mfcs.rmn@gmail.com (M.F.C.S.); marcelodoca@ufpr.br (M.G.M.D.);
558 carolinenedoca@ufpr.br (C.R.M.D.)

559 ³ Laboratório de Produção de Microalgas (LPM), Instituto de Oceanografia,
560 Universidade Federal do Rio Grande (FURG) - Rio Grande, Rio Grande do Sul
561 96210-030, Brazil; fabio.roselet@furg.br (F.R.); docpca@furg.br (P.C.A.)

562 * Correspondence: daniferamos@gmail.com; Tel.: + 55 53 3237-4634; Núcleo de
563 Desenvolvimento de Novos Fármacos - NUDEFA, Rua General Osório, s/nº,
564 Campus Saúde, 2º andar. Rio Grande, Rio Grande do Sul - Brazil. CEP: 96.200-
565 400;

566
567
568
569
570
571
572
573
574
575
576
577
578
579
580
581
582
583

Abstract: Natural products from the marine environment as well as microalgae, have been known for the complexity of the metabolites they produce due to their adaptability to different environmental conditions, which has been an inexhaustible source of several bioactive properties, such as antioxidant, anti-tumor, and antimicrobial. This study aims to characterize the main metabolites of three species of microalgae (*Nannochloropsis oceanica*, *Chaetoceros muelleri*, and *Conticribra weissflogii*), which have important applications in the biofuel and nutrition industries, by ^1H High-resolution magic angle spinning nuclear magnetic resonance (^1H HR-MAS NMR), a method which is non-destructive, is highly reproducible, and requires minimal sample preparation. Even though the three species were found in the same ecosystem and a superior production of lipid compounds was observed, important differences were identified in relation to the production of specialized metabolites. These distinct properties favor the use of these compounds as leaders in the development of new bioactive compounds, especially against environmental, human, and animal pathogens (One Health), and demonstrate their potential in the development of alternatives for aquaculture.

584
585
586

Keywords: microalgae; coastal products; HR-MAS NMR; metabolomics; biotechnology; bioactivity

587

1. Introduction

588
589
590
591
592
593

Oceans cover 70% of the planet's surface and contain about 97% of its water [1]. Marine and coastal environments cover a diverse spectrum of habitats, from shallow coral reefs to deep hydrothermal vents, and are home to an enormous diversity of species, from micro- to macro-organisms. This species diversity is translated into unique metabolic abilities to ensure survival in harsh marine conditions [2]. Compared to terrestrial environments, marine and coastal environments favor the production of natural products, as approximately 28,500 marine natural products were identified by the end of 2016, many with a high degree of structural novelty [3].

594
595
596
597
598
599
600
601
602
603
604
605
606
607
608
609
610
611
612
613
614
615

Citation: Caprara, C.S.C.; Mathia, T.K.; Santos, M.F.C.; D’Oca, M.G.; D’Oca, C.R.M.; Roselet, F.; Abreu, P.C.; Ramos, D.F. Application of ^1H HR-MAS NMR based metabolite fingerprinting of marine microalgae. *Metabolites* **2023**, *12*, x. <https://doi.org/10.3390/xxxxx>. Academic Editors: Fan Zhang, Gan, Received: 05 January 2023; Revised: 22 January 2023; Accepted: 24 January 2023; Published: date

Microalgae are unicellular organisms that convert carbon dioxide, light, water, and macro- and micronutrients into biomass, mainly carbohydrates, lipids, proteins, and pigments. Recent research estimated a diversity of 72,500 species of algae, of which 39% are yet to be described [4]. Microalgae live in close relation with bacteria and predators; therefore, microalgae have developed several chemical defense mechanisms [3]. They are adapted to a wide range of environmental conditions, which influence the production of metabolites [5], which are a potential source of marine natural products [6].

Potential advantages of using microalgae as a raw material for various purposes in biotechnology include its ability to synthesize and accumulate large amounts of neutral lipids. These lipids are composed of a large percentage of polyunsaturated fatty acids that are important for the diet of other aquatic organisms and for human health [7]. Furthermore, fatty acids have great commercial potential when incorporated into food, animal feed, cosmetics, and pharmaceutical products [8]. Products from marine organisms have shown many interesting activities, such as antimicrobial, cytotoxic, anticancer, antidiabetic, antifungal,



Copyright: © 2023 by the author. Licensee MDPI, Basel, Switzerland. This article is an open access article distributed under the terms of the Creative Commons Attribution (CC BY) license (<https://creativecommons.org/licenses/by/4.0/>).

616 anticoagulant, anti-inflammatory, and other pharmacological activities [9–11].

617 Interest in the biotechnological potential of microalgae has increased due to their high
618 production rates and their production of several valuable substances [12]. The cultivation of
619 microalgae has gained great momentum among researchers in recent decades due to their ability
620 to produce valuable metabolites, remarkable photosynthetic efficiency, and versatile nature [13].
621 In Brazil, the government has promoted a national strategy to encourage and strengthen in vitro
622 studies that validate the use of metabolites produced by microalgae and other marine organisms
623 in different aquaculture systems. The biomass produced will be used as a raw material for the
624 production of many biomolecules used in the food and pharmaceutical industries [14]. In this
625 scenario, we highlight *Nannochloropsis oceanica*, a unicellular microalga that belongs to the class
626 Eustigmatophyceae that has high biotechnological potential due to its massive lipid production
627 [15–18] and the diatoms of the genus *Chaetoceros* and *Conticribra*, which are among the most
628 cultivated diatoms for larviculture [19]. Diatoms belong to a large group of microalgae and are
629 among the most abundant classes in marine environments [20]. The microalgae *Chaetoceros*
630 *muelleri* is used due to its fatty acid profile, and the diatom *Conticribra (Thalassiosira) weissflogii* is
631 an euryhaline species [21] and has high carbon fixation rates, as well as excellent photosynthetic
632 efficiency. Both have been used as a model in physiological studies of photosynthesis [22,23]. The
633 lipid content of *C. weissflogii* was analyzed, mainly as a source of fatty acids for copepods [24].

634 The methodologies commonly used to study the chemical profile of microalgae are
635 laborious and require extraction with organic solvents. An alternative that has been used to
636 directly investigate the chemical composition of microalgae preserving the integrity of the
637 compounds is the High-resolution magic-angle spinning nuclear magnetic resonance
638 spectroscopy (HR-MAS NMR) [25–27]. The HR-MAS NMR has been used for investigations
639 based on the fingerprints or metabolomic profiles of biofluids [27], herbal medicines [28,29], foods
640 [30], and microalgae [31]. This technique allows the analysis of semi-solid samples that are
641 characterized by inhomogeneity and restricted molecular motion with spectral resolution similar
642 to the solution-state NMR [25,26]. This happens due to the molecular mobility in the swollen
643 samples, which is associated with fast spinning around of the so-called “magic angle” ($\phi = 54.74^\circ$).
644 As a result, line broadening is drastically reduced due to dipole coupling and chemical shift
645 anisotropy (CSA) [26]. The main advantage of the HR-MAS NMR is that it allows the
646 identification of the metabolic profile under conditions similar to the natural chemical
647 environment of the compounds with the same spectral resolution of NMR solution.

648 Several studies have demonstrated the abundance of primary metabolites produced by
649 microalgae; these metabolites include lipids, fatty acids, amino acids, and some sugars. However,
650 there are few studies that investigate the complex characterization of marine microalgae,
651 especially through more robust tools, and that enable fast, easy, non-destructive, and unbiased
652 screening such as ^1H NMR-based metabolomics [32–35].

653 Carotenoids, polyphenols, and polyunsaturated fatty acids (PUFAs) have gained
654 prominence among the bioactive compounds produced by microalgae [36–38], which have been
655 widely proposed for biotechnological use in the area of food, fertilizers, bioenergy, cosmetics,
656 pharmaceuticals, and industries in general [39].

657 In this way, the aim of the present study was to evaluate the spectral profiles of
658 microalgae *N. oceanica*, *C. muelleri*, and *C. weissflogii* microalgae in polar and non-polar solvents
659 by ^1H HR-MAS NMR to provide a more comprehensive investigation of these microalgae that
660 can contribute to the targeting of applications in several areas.

661 2. Materials and Methods

662 2.1. Microalgae Cultivation

663 The microalgae used in this study, namely *Nannochloropsis oceanica* Suda and Miyashita
664 2002 (Eustigmatophyceae), *Chaetoceros muelleri* Lemmermann 1898 (Mediophyceae), and
665 *Conticribra weissflogii* (Grunow) Stachura-Suchoples and D.M. Williams 2009 (Mediophyceae),
666 were obtained from the collection of the Laboratory of Microalgae Production from the Institute
667 of Oceanography, Federal University of Rio Grande (FURG/Brazil). The microalgae were
668 cultivated in natural seawater (salinity 28), which was measured using a hand-held salinity

refractometer (ATAGO, Bellevue, WA, USA). The seawater was first filtered by a sand filter. Next, it was further filtered through a 1.0 μm polypropylene filter cartridge, disinfected with sodium hypochlorite 12% (NaClO , 0.15 mL L $^{-1}$) for 24 h, and then neutralized with ascorbic acid ($\text{C}_6\text{H}_8\text{O}_6$, 30 mg L $^{-1}$). Batch culture technique was employed, using Guillard's medium [32], composed of sodium nitrate (NaNO_3 , 75 mg L $^{-1}$), sodium phosphate ($\text{NaH}_2\text{PO}_4 \cdot \text{H}_2\text{O}$, 5 mg L $^{-1}$), EDTA ($\text{C}_{10}\text{H}_{14}\text{N}_2\text{O}_8\text{Na}_2 \cdot 2\text{H}_2\text{O}$, 4.36 mg L $^{-1}$), ferric chloride ($\text{FeCl}_3 \cdot 6\text{H}_2\text{O}$, 3.15 mg L $^{-1}$), cupric sulfate ($\text{CuSO}_4 \cdot 5\text{H}_2\text{O}$, 0.01 mg L $^{-1}$), zinc sulfate ($\text{ZnSO}_4 \cdot 7\text{H}_2\text{O}$, 0.02 mg L $^{-1}$), cobalt chloride ($\text{CoCl}_2 \cdot 6\text{H}_2\text{O}$, 0.01 mg L $^{-1}$), manganese chloride ($\text{MnCl}_2 \cdot 4\text{H}_2\text{O}$, 0.18 mg L $^{-1}$), sodium molybdate ($\text{Na}_2\text{MoO}_4 \cdot 2\text{H}_2\text{O}$, 0.006 mg L $^{-1}$), thiamine ($\text{C}_{12}\text{H}_{17}\text{ClN}_4\text{OS} \cdot \text{HCl}$, 0.1 mg L $^{-1}$), cyanocobalamin ($\text{C}_{63}\text{H}_{88}\text{CoN}_{14}\text{O}_{14}\text{P}$, 0.0005 mg L $^{-1}$), and biotin ($\text{C}_{10}\text{H}_{16}\text{N}_2\text{O}_3\text{S}$, 0.0005 mg L $^{-1}$). Diatoms were supplemented with sodium silicate ($\text{Na}_2\text{SiO}_3 \cdot 9\text{H}_2\text{O}$, 30 mg L $^{-1}$). All chemicals were analytical grade (Dinâmica, Indaiatuba, São Paulo, Brazil). The microalgae were cultured in a 330 L bubble column acrylic photobioreactor (0.5 m diameter, 1.5 m height), and kept indoors under controlled conditions (23 °C, 150 $\mu\text{mol m}^{-2} \text{s}^{-1}$, and a light period of 16h L: 8h D). The culture growth was monitored daily by counting the cell abundance using an improved Neubauer hemocytometer (Marienfeld, Lauda-Königshofen, Baden-Württemberg, Germany), and cultivation was maintained for 12 days until the stationary phase was reached.

2.2. Biomass Harvesting

The microalgae were harvested by flocculation using Flopam FO 4800 SH, an organic synthetic polyacrylamide-based polymer [34]. The flocculant was prepared by adding 3.3 g of polymer to 3.3 L of deionized water and by mixing at 300 rpm until dissolution (ca. 1 h). Then, the flocculant solution was poured into the photobioreactor. Concurrently, the microalgae suspension was mixed intensively (100 rpm) for 5 min to allow uniform flocculant dispersal, followed by gentler mixing (20 rpm) for 15 min to allow floc formation. The flocculated biomass settled within 10 min and was collected after the supernatant was siphoned. The biomass was further dewatered by centrifugation (2,527 g) at 4 °C for 5 min, and then dried at 60 °C for 24 h.

2.3. Sample Preparation for ^1H HR-MAS NMR

An amount of 10 mg of dried marine microalgae was inserted into the zirconia rotor (50 μL), then 40 μL of deuterated solvent was added, homogenized, and packed. The solvents used were chloroform (CDCl_3) and methanol (CD_3OD), both at 0.05% of TMS, and water (D_2O) at 0.01% of TMSP.

2.4. Acquisition of ^1H HR-MAS NMR Spectra

The ^1H HR-MAS NMR spectra were acquired on a Bruker AVANCE 400 NMR spectrometer (Bruker, Karlsruhe, Germany), which was operated at 9.4 T, with observation of the ^1H core at 400.13 MHz, and which was equipped with a quadrinuclear probe ($^1\text{H}/^{13}\text{C}/^{15}\text{N}/^2\text{H}$) at a high resolution with 4mm magic angle ($\theta = 54.74^\circ$) rotation and field gradient in the magic angle direction. The ^1H HR-MAS NMR spectra were acquired with the zgpr pulse sequence, a recycle delay (D1) of 1.0 s, and 64 transients and 64k points (TD) distributed in a spectral window of 8012.820 Hz, resulting in time acquisition (AQ) of 4.01 s and a temperature of 298 K. During acquisition, the samples were rotated at a speed of 5 KHz around the magic angle.

The 1D and 2D NMR spectra were obtained at 298 K in a AVANCE III NMR spectrometer (Bruker, Karlsruhe, Germany) which operated at 14.7 T (^1H at 600.13 MHz and ^{13}C at 150.92 MHz) and was equipped with a TCI CryoProbe Prodigy 5 inverse detection probe with a z-gradient. Tuning (matching and tuning) for ^1H and ^{13}C and adjustment of the homogeneity of the magnetic field spatially (shimming) were performed for each analysis.

2.5. Sample Preparation and Acquisition of 1D and 2D NMR Spectra

To support NMR chemical shift assignments, experiments of 1D and 2D NMR in solution with *N. oceanica*, *C. muelleri*, and *C. weissflogii* were also performed. For this purpose, 100.0 ± 1.0 mg of each sample was submitted to extraction directly in 1 mL of CDCl_3 , D_2O , and

CD₃OD sonicated and subsequently centrifuged at 12,000 rpm for 10 min. After this procedure, 600 μ L of the extracts were added to 5 mm tubes for further analyses. Direct and long-range ^1H - ^{13}C NMR correlations were acquired on a Bruker Avance III 600 NMR spectrometer operating at 14.1 T and observing ^1H and ^{13}C at 600.13 and 150.92 MHz, respectively. The spectrometer was equipped with a 5 mm inverse detection four-channel probe (^1H , ^{13}C , ^{15}N and ^{31}P) with z-gradient. One-bond and long-range ^1H - ^{13}C correlations from HSQC and HMBC NMR experiments were optimized for average coupling constants $^1\text{J}_{(\text{H},\text{C})}$ and $^{LR}\text{J}_{(\text{H},\text{C})}$ of 140 and 8 Hz, respectively.

3. Results

Initially, the metabolite fingerprinting of the marine microalgae *N. oceanica*, *C. muelleri*, and *C. weissflogii* were explored by ^1H HR-MAS NMR. Due to restricted and low molecular motion conditions of semi-solid samples such as microalgae, several anisotropic trends such dipolar interactions, magnetic susceptibility, and chemical shift anisotropy affect T2 relaxation, producing a line-broadening of signals, low signal-to-noise ratio, and low resolution in the NMR spectra. The high spinning rates of the samples, which occur at a magical angle ($\theta = 54.74^\circ$), minimize the line-broadening effects coming from dipolar interactions. Additionally, the HR-MAS technique is applied in swollen samples, employing suitable NMR solvents, which provide sufficient molecular motions in order to improve spectral resolution. In this sense, to have a more comprehensive view of the mobility of microalgal compounds, ^1H HR-MAS NMR spectra were recorded directly from samples by employing 40 μ L of chloroform, methanol, or water as solvents (Figures 1-3) without sample pretreatment steps and then preventing changes in the chemical compositions during extraction and isolation procedures.

According to the ^1H HR-MAS NMR spectra of marine microalgae *C. muelleri*, *C. weissflogii*, and *N. oceanica* analyzed in deuterated chloroform (Figure 1), it was possible to observe that the three species of microalgae presented a similar chemical profile because they are constituted of mono- or polyunsaturated fatty acids. From the ampliation of the region between δ_{H} 5.40–0.50, characteristic signals of vinylic hydrogens were observed at δ_{H} 5.40–5.30 (*m*), bis-allylic at δ_{H} 2.81 (*m*), α -C=O in δ_{H} 2.34 *t* ($J = 7.5$ Hz), allylic at δ_{H} 2.06 (*m*), β -C=O in δ_{H} 1.62 (*m*), methylene at δ_{H} 1.35–1.25(*m*), and methyls at δ_{H} 0.87 (*m*). Only for the microalgae *N. oceanica*, a triplet at δ_{H} 0.98 ($J = 7.0$ Hz) relative to methyl hydrogens of type ω -3 was observed.

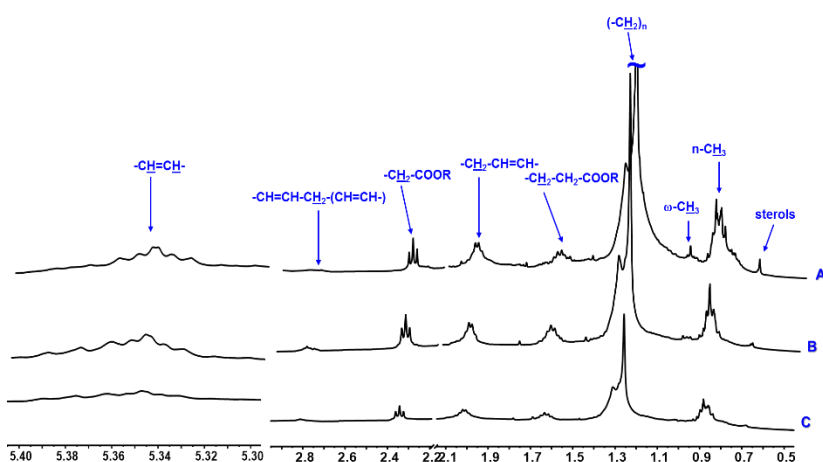
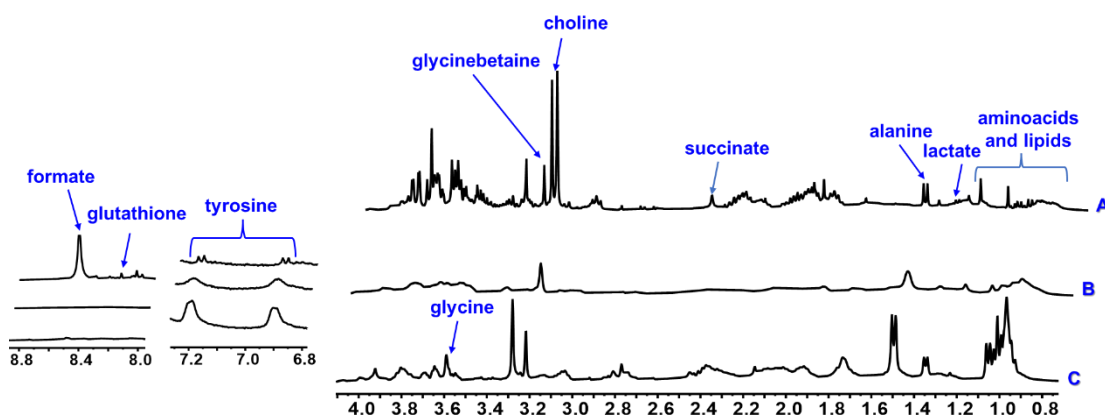


Figure 1. ^1H HR-MAS NMR spectra (400 MHz, CDCl₃) of the microalgae *N. oceanica* (A), *C. muelleri* (B), and *C. weissflogii* (C). In blue, types of hydrogens of polyunsaturated fatty acids are indicated.

The spectral profile acquired directly from dried marine microalgae samples using deuterated water (or D₂O) as the solvent seemed to be more complex, with several signals overlapped; thus, it was difficult to clearly identify the signals from the chemical compounds (Figure 2). The entire signal assignments of *C. muelleri*, *C. weissflogii*, and *N. oceanica* were confirmed based on 2D NMR experiments, which were performed in solution state (Figures S1–S13), as well as previously reported data [35]. From these spectra, it was possible to identify eight chemical compounds,

756 including amino acids and organic acids. Regarding amino acids, a doublet at δ_H 1.47 ($J=7.2$ Hz)
757 was observed for the methyl hydrogen of alanine for the microalgae *N. oceanica* and *C. weissflogii*.
758 On the other hand, for *C. muelleri*, a broad singlet at δ_H 1.49 was observed due to the lower
759 spectral resolution for this microalga. The three microalgae presented a singlet at δ_H 3.59 relative
760 to the methine hydrogen of glycine.

761 In the three microalgae, typical relative signals of hydrogens from the para-substituted
762 aromatic ring of tyrosine were observed. However, for *N. oceanica*, these signals presented with
763 higher spectral resolution because a two doublet was observed at δ_H 6.89 ($J=8.1$ Hz) and 7.19
764 ($J=8.1$ Hz). Furthermore, it was also observed that only *C. weissflogii* presented a singlet at δ_H 8.23
765 with respect to the N-H hydrogen of the tripeptide cysteine amino acid, glutathione.
766 Furthermore, organic acids have also been identified. A doublet at δ_H 1.33 ($J=6.7$ Hz) was
767 observed for the methyl lactate hydrogens for the three microalgae, and a singlet was observed
768 at δ_H 2.40 for the succinate methylene hydrogens only for Figure 2. A singlet at δ_H 3.20 with
769 respect to the methyl hydrogens of the choline was observed for the three microalgae in question.
770 A signal at δ_H 8.47 (s) was also observed relative to the methinic hydrogen of the formate only
771 for *N. oceanica*. The attributions of these metabolites in comparison with the literature [35] are
772 presented in Table 1.



773

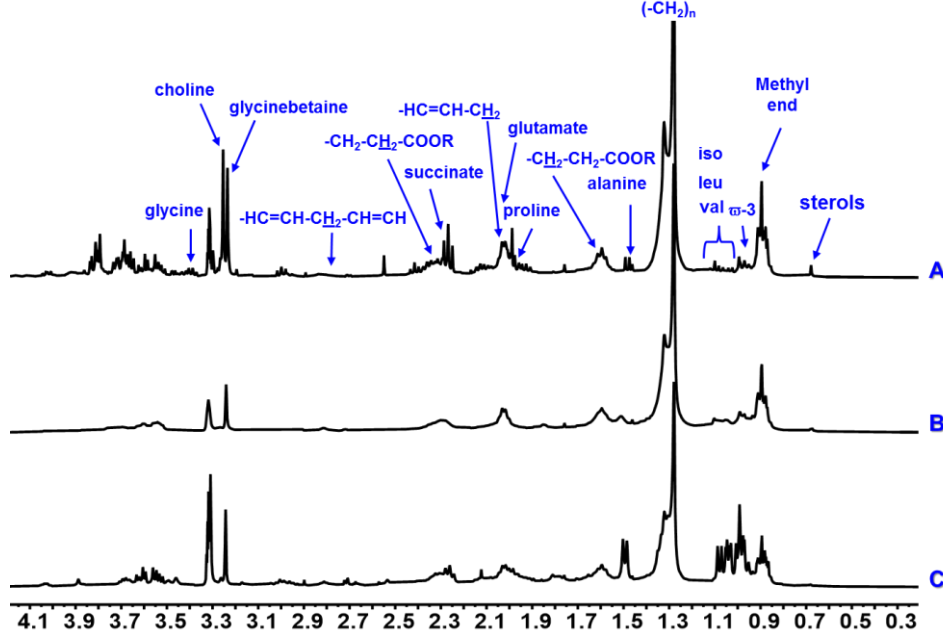
774 **Figure 2.** 1H HR-MAS NMR spectra (400 MHz, D_2O) of the microalgae *N. oceanica* (A), *C.*
775 *muelleri* (B), and *C. weissflogii* (C). In blue, the metabolites identified are indicated.

776 From the spectra acquired employing methanol, it was possible to identify a greater
777 number of compounds from different classes, indicating that methanol promoted greater
778 molecular mobility. In addition, it was observed that with this solvent, the spectral profiles
779 presented a better spectral resolution. Thus, signals were observed in the regions of aliphatic
780 hydrogens, amino acids, sugars, and aromatics (Figure 3). The attributions of these metabolites
781 by 1D and 2D NMR and in comparison with the literature [35,40,41] are presented in Table 1.

Figure 3. ^1H HR-MAS NMR spectra (400 MHz, MeOD) of the microalgae *N. oceanica* (A), *C. muelleri* (B) and *C. weissflogii* (C). In blue, the metabolites or types of hydrogens identified are indicated.

Table 1. Assignment of main resonances of marine microalgae by ^1H HR-MAS NMR (400 MHz).

Class	Compound	δ_{H} mult. (J in Hz)	CDCl ₃				D ₂ O				CD ₃ OD			
			N.	O.	C.	M.	C.	N.	C.	W.	O.	M.	C.	W.
Amino Acids	Isoleucine	0.95 t (7.0), 1,02 d (7.0)	-	-	-	-	x	x	x	x	x	x	x	x
	Leucine	0.99 m	-	-	-	-	x	x	x	x	x	x	x	x
	Valine	1.02 d (7.0), 1,07 d (7.0)	-	-	-	-	x	x	x	x	x	x	x	x
	Alanine	1.48 d (7.0)	-	-	-	-	x	x	x	x	x	x	x	x
	Proline	1.97-2.07 m	-	-	-	-	-	-	-	x	x	x	x	x
	Glutamate	2.08 m, 2.14 m, 2.35 m	-	-	-	-	-	-	-	x	x	x	x	x
	Choline	3.20 s	-	-	-	-	x	x	x	x	x	x	x	x
	Glycinebetaine	3.26 s	-	-	-	-	x	x	x	x	x	x	x	x
	Glycine	3.59 s	-	-	-	-	x	x	x	x	x	x	x	x
	Phenylalanine	7.24 m, 7.30 m, 7.34 m	-	-	-	-	x	x	x	x	-	-	x	-
	Histidine	7.24 m, 8.13 s	-	-	-	-	-	-	-	x	-	-	x	-
	Tyrosine	6.89 d (8.1), 7.19 d (8.1)	-	-	-	-	x	x	x	x	x	x	x	x
Organic acids	Glutatione	8.23 s	-	-	-	-	x	x	x	-	-	-	-	-
	Lactate	1.33 d (6.7)	-	-	-	-	x	x	x	-	-	-	-	-
	Succinate	2.30 s	-	-	-	-	x	-	x	x	x	x	x	x
	Formate	8.47 s	-	-	-	-	x	-	-	x	-	-	-	-
Monounsaturate fatty acids	Sterols	0.73 m	x	x	x	-	-	-	x	x	x	x	x	x
	Methylic	0.89 m	x	x	x	-	-	-	x	x	x	x	x	x
	Methylenic	1.35-1.25 m	x	x	x	-	-	-	x	x	x	x	x	x
	R	1.59 m	x	x	x	-	-	-	x	x	x	x	x	x



	$-\text{CH}_2-\text{CH}_2-\text{COO}$ R	2.34 m	x	x	x	-	-	-	x	x	x
PUFAs	Methylic ω -3	0.98 t (7.0)	x	-	-	-	-	-	x	-	-
	$-\text{CH}_2-\text{CH}_2-\text{COO}$ R	1.62 m	x	x	x	-	-	-	x	x	x
	Allylic	2.06 m	x	x	x	-	-	-	x	x	x
	$-\text{CH}_2-\text{CH}_2-\text{COO}$ R	2.34 m	x	x	x	-	-	-	x	x	x
	bis-allylic	2.81 m	x	x	x	-	-	-	x	x	x
	Vinylic	5.40-5.30 m	x	x	x	-	-	-	x	x	x

796

797 N.O—*N. oceanica*; C.M—*C. muelleri*; C. W—*C. weissflogii*. (δ) Chemical shift in ppm. x – Indicates the presence
 798 of the metabolite.

799 4. Discussion

800 In this study, the spectra revealed the presence of different classes of metabolites
 801 including amino acids and mono- and polyunsaturated fatty acids and organic acids. In addition,
 802 13 amino acids were identified in at least one of the samples evaluated using water or methanol
 803 as solvents in spectral regions compatible with the description in the literature, ranging 0.50 –
 804 8.50 ppm [35,42]. The choice of solvent used to swell the samples showed great importance for
 805 identifying the compounds present in the microalgae matrix. Spectra recorded with the addition
 806 of methanol and water, for example, were able to increase molecular mobility and, thus, result in
 807 more defined and resolved signals that identified more compounds than chloroform, with amino
 808 acids and organic acids emerging in the spectra. However, monounsaturated fatty acids and
 809 PUFAs were identified more frequently with chloroform.

810 Some compounds seem to be characteristic markers according to the species of
 811 microalgae analyzed, with *N. oceanica* showing the greatest diversity of compounds, followed by
 812 *C. weissflogii* and *C. muelleri*. We emphasize that, unlike other species of the genus
 813 *Nannochloropsis*, *N. oceanica* has been described as having mostly lipids and proteins, which
 814 represent approximately half of the dry weight of the biomass, according to Zanella and Vianello
 815 (2020). This genus of microalgae has high photosynthetic efficiency and can convert carbon
 816 dioxide to storage lipids mainly in the form of triacylglycerols and to the ω -3 long-chain
 817 polyunsaturated fatty acid eicosapentaenoic acid (EPA) [17]. Interestingly, *N. oceanica* was the
 818 only coastal species evaluated that presented, at 8.47s, a characteristic peak of formate. Inhibition
 819 of the folate biosynthetic pathway, which may have formate as a product, has been proposed as
 820 a promising target for the development of several antimicrobial compounds with cytotoxic
 821 activity against tumor cells, for example [43–45]. In addition, formate can act as a by-product of
 822 anaerobic fermentation of some bacterial species and interfere, as a secondary metabolite, in
 823 different pathophysiological conditions.

824 With regard to fatty acids, which are already widely recognized as important metabolites
 825 present and biotechnologically important in microalgae of the genus *Nannochloropsis*, and EPA
 826 and PUFAS [37,42], which are the major fatty acids in *N. oceanica*, only this microalgae presented
 827 omega-3 fatty acids (ω -3), and this metabolite is referenced by many authors as beneficial to
 828 human and animal health, as well as in the pharmaceutical, food, environmental, and cosmetic
 829 industries [17,42].

830 On the other hand, recent studies have proposed that α -linolenic acid (ALA), EPA, and
 831 docosahexaenoic acid (DHA) are major bioactive compounds in different species of the genus
 832 *Chaetoceros* [46].

833 Surprisingly, among the evaluated polyunsaturated fatty acids in the metabolomics
 834 analyses for *C. muelleri*, only methylic ω -3 (0.98 t) was not identified, contrary to the findings of
 835 Ramos et al (2022), which identified potential antibacterial activity in extracts of different
 836 polarities which contained this metabolite through ^1H Nuclear Magnetic Resonance (NMR)
 837 analysis.

To the best of our knowledge, this is the first study that characterizes metabolites through assays with ^1H HR-MAS NMR of *C. weissflogii*, which is a model species for environmental studies and in the development of energy and feed supplements for animals [47,48]. Since before its reclassification (previously known as *Thalassiosira weissflogii*) [48,49], this species has demonstrated important cytotoxic and immunomodulatory bioactivity related to the presence of polysaccharides, as well as the important production of metabolites that are toxic against different microorganisms; for example, it interferes with *quorum sensing* and the adhesion and formation of bacterial biofilms [47,50,51].

Therefore, metabolomics studies of species belonging to coastal ecosystems—such as microalgae, which suffer intensely from abiotic factors such as constant changes due to seasonal heat input and thermal stratification, as well as ecosystem variations—are increasingly necessary. Such studies are necessary in order to understand specific responses of organisms to abiotic stressors and the organism–environment interactions and between the communities that constitute this niche [52].

In this sense and in corroboration with the objectives of the Brazilian Biotecmar [14] strategy, innovative, technological strategies are necessary to favor marine biotechnology as a whole. These strategies would aid in the understanding of the impacts of each individual that comprises this ecosystem on the biosphere, the monitoring of the impacts of environmental disturbances, and the use of bioactive metabolites for the development of therapeutic products in favor of sustainable development and the maintenance of One Health.

5. Conclusions

The fingerprinting approach of coastal microalgae by HR-MAS NMR proved to be an interesting tool to identify metabolites with minimal sample preparation that may contribute to future investigations of unpublished compounds or little explored compounds, which can contribute to the development of biotechnological products. Marine microalgae, such as the diatom *Conticribra weissflogii*, the major chemical composition of which has been described for the first time in this study, have highlighted as a fundamental element in the food chains of aquatic ecosystems, in addition to its use in the production of food and new drugs. In addition, our study allowed us to identify different metabolite profiles among the three evaluated species, evidencing the possibility of these marine microalgae to act as raw materials for bioactive compounds applied to *One Health*, the food industry, animal production, and cosmetics. Lastly, the results demonstrate that methanol was the best solvent; however, it must be noted that the choice in the solvent depends on the type of compound ones wants to extract.

Supplementary Materials: The following supporting information can be downloaded at: www.mdpi.com/xxx/s1, Figure S1. ^1H - ^{13}C one-bond correlation map from multiplicity edited HSQC NMR experiment acquired from *Conticribra weissflogii* (^1H and ^{13}C , 600 and 150 MHz, D_2O) – regions A, B, and C; Figure S2. Ampliation from ^1H - ^{13}C one-bond correlation map from multiplicity edited HSQC NMR experiment acquired from *Conticribra weissflogii* (^1H and ^{13}C , 600 and 150 MHz, D_2O) – region A; Figure S3. Ampliation from ^1H - ^{13}C one-bond correlation map from multiplicity edited HSQC NMR experiment acquired from *Conticribra weissflogii* (^1H and ^{13}C , 600 and 150 MHz, D_2O) – region B; Figure S4. Ampliation from ^1H - ^{13}C one-bond correlation map from multiplicity edited HSQC NMR experiment acquired from *Conticribra weissflogii* (^1H and ^{13}C , 600 and 150 MHz, D_2O) – region C; Figure S5. ^1H - ^{13}C one-bond correlation map from multiplicity edited HSQC NMR experiment acquired from *Chaetoceros muelleri* (^1H and ^{13}C , 600.13 and 150.92 MHz, CD_3OD) – regions A, B, and C; Figure S6. Ampliation from ^1H - ^{13}C one-bond correlation map from multiplicity edited HSQC NMR experiment acquired from *Chaetoceros muelleri* (^1H and ^{13}C , 600.13 and 150.92 MHz, CD_3OD) – region A; Figure S7. Ampliation from ^1H - ^{13}C one-bond correlation map from multiplicity edited HSQC NMR experiment acquired from *Chaetoceros muelleri* (^1H and ^{13}C , 600.13 and 150.92 MHz, CD_3OD) – region B; Figure S8. Ampliation from ^1H - ^{13}C one-bond correlation map from multiplicity edited HSQC NMR experiment acquired from *Chaetoceros muelleri* (^1H and ^{13}C , 600.13 and 150.92 MHz, CD_3OD) – region C; Figure S9. ^1H - ^{13}C long-distance correlation map HMBC NMR experiment acquired from *Chaetoceros muelleri* (^1H and ^{13}C , 600.13 and 150.92 MHz, CD_3OD); Figure S10. ^1H - ^{13}C one-bond correlation map from multiplicity edited HSQC NMR experiment acquired from *Nannochloropsis oceanica* (^1H and ^{13}C , 600.13 and 150.92 MHz, CD_3OD) – regions A, B, and C; Figure S11. Ampliation from ^1H - ^{13}C one-bond correlation map from multiplicity edited HSQC NMR experiment acquired from *Nannochloropsis oceanica*.

892 (¹H and ¹³C, 600.13 and 150.92 MHz, CD₃OD) – region A; Figure S12. Ampliation from ¹H-¹³C one-bond
893 correlation map from multiplicity edited HSQC NMR experiment acquired from *Nannochloropsis oceanica*
894 (¹H and ¹³C, 600.13 and 150.92 MHz, CD₃OD) – region B; Figure S13. Ampliation from ¹H-¹³C one-bond
895 correlation map from multiplicity edited HSQC NMR experiment acquired from *Nannochloropsis oceanica*
896 (¹H and ¹³C, 600.13 and 150.92 MHz, CD₃OD) – region C.

897

898 **Author Contributions:** Conceptualization, C.R. M. D. and D. F. R.; methodology, C. S. C. C., T. K. M., and
899 M. F. C. S.; formal analysis, M. G. M. D.; investigation, C. S. C. C., M. F. C. , and F. R.; resources, D. F. R.
900 and P. C. A.; data curation, M. G. M. D.; writing—original draft preparation, C. S. C. C., and M.F. C. S. ;
901 writing—review and editing, C. S. C. C., M. F. C. S., M. G. M. D., C. R. M. D., and F. R.; supervision and
902 project administration, C. R. M. D., D. F. R., and P. C. A.; funding acquisition, D. F. R.. All authors have read
903 and agreed to the published version of the manuscript.

904 **Funding:** This research was funded by Conselho Nacional de Desenvolvimento Científico e Tecnológico
905 (CNPq), grant number 428243/2018-5 and Research Productivity, Grant number 305921/2019-3.

906 **Institutional Review Board Statement:** Not applicable.

907 **Informed Consent Statement:** Not applicable.

908 **Data Availability Statement:** The data presented in this study are available in Figures 1, 2, and 3, Table 1,
909 and Figures S1–S4 in the Supplementary Material.

910 **Acknowledgments:** This work is dedicated to the memory of our dear colleague and mentor, Professor
911 Paulo Cesar Abreu, who passed away on July 19, 2022. During his career, he made a notable contribution to
912 research on microalgae, biofuels, and metabolites of commercial interest. Furthermore, the authors thank
913 the Coordenação de Aperfeiçoamento de Pessoal de Nível Superior (CAPES), Conselho Nacional de
914 Desenvolvimento Científico e Tecnológico (CNPq), Rede Brasileira de Pesquisa em Tuberculose (REDE-TB),
915 and Fundação de Amparo à Pesquisa do Estado do Rio Grande do Sul (FAPERGS).

916

917 **Conflicts of Interest:** The authors declare no conflicts of interest.

918 **References**

- 919 1. Altmann, K.H. Drugs from the oceans: Marine natural products as leads for drug discovery. *Chimia* **2017**, *71*,
920 646–651. <https://doi.org/10.2533/chimia.2017.646>.
- 921 2. Martins, A.; Vieira, H.; Gaspar, H.; Santos, S. Marketed marine natural products in the pharmaceutical and
922 cosmeceutical industries: Tips for success. *Mar. Drugs* **2014**, *12*, 1066–1101.
<https://doi.org/10.3390/MD12021066>.
- 923 3. Blunt, J.W.; Carroll, A.R.; Copp, B.R.; Davis, R.A.; Keyzers, R.A.; Prinsep, M.R. Marine natural products. *Nat. Prod.
Rep.* **2018**, *34*, 235–294. <https://doi.org/10.1039/c7np00052a>.
- 924 4. Guiry, M.D. How many species of algae are there? *J. Phycol.* **2012**, *48*, 1057–1063.
<https://doi.org/10.1111/j.1529-8817.2012.01222.x>.
- 925 5. Hopes, A.; Mock, T. Evolution of Microalgae and Their Adaptations in Different Marine Ecosystems. In *eLS* (pp.
926 1–9). Wiley. **2015**. <https://doi.org/10.1002/9780470015902.a0023744>.
- 927 6. Lauritano, C.; Ferrante, M.I.; Rogato, A. Marine Natural Products from Microalgae: An -Omics Overview. *Mar.
Drugs* **2019**, *17*, 269. <https://doi.org/10.3390/MD17050269>.
- 928 7. Matos, Â.P. The Impact of Microalgae in Food Science and Technology. *JAACS J. Am. Oil Chem. Soc.* **2017**, *94*,
929 1333–1350. <https://doi.org/10.1007/s11746-017-3050-7>.
- 930 8. Borowitzka, M.A. High-value products from microalgae-their development and commercialization. *J. Appl.
Phycol.* **2013**, *25*, 743–756. <https://doi.org/10.1007/s10811-013-9983-9>.
- 931 9. Gul, W.; Hamann, M.T. Indole alkaloid marine natural products: An established source of cancer drug leads with
932 considerable promise for the control of parasitic, neurological and other diseases. *Life Sci.* **2005**, *78*, 442–453.
<https://doi.org/10.1016/j.lfs.2005.09.007>.
- 933 10. Habbu, P.; Warad, V.; Shastri, R.; Madagundi, S.; Kulkarni, V.H. Antimicrobial metabolites from marine
934 microorganisms. *Chin. J. Nat. Med.* **2016**, *14*, 101–116. [https://doi.org/10.1016/S1875-5364\(16\)60003-1](https://doi.org/10.1016/S1875-5364(16)60003-1).
- 935 11. Mayer, A.M.S.; Rodríguez, A.D.; Taglialatela-Scafati, O.; Fusetani, N. Marine pharmacology in 2009–2011:
936 Marine compounds with antibacterial, antidiabetic, antifungal, anti-inflammatory, antiprotozoal,
937 antituberculosis, and antiviral activities; affecting the immune and nervous systems, and other miscellaneous
938 mechanisms of action. *Mar. Drugs* **2013**, *11*, 2510–2573. <https://doi.org/10.3390/MD11072510>.
- 939 12. Roselet, F.; Vandamme, D.; Muylaert, K.; Abreu, P.C. Harvesting of microalgae for biomass production. In
940 *Microalgae Biotechnology for Development of Biofuel and Wastewater Treatment*; Springer, Singapore. **2019**.
https://doi.org/10.1007/978-981-13-2264-8_10.

- 948 13. de Freitas Coêlho, D.; Tundisi, L.L.; Cerqueira, K.S.; da Silva Rodrigues, J.R.; Mazzola, P.G.; Tambourg, E.B.; de
949 Souza, R.R. Microalgae: Cultivation aspects and bioactive compounds. *Braz. Arch. Biol. Technol.* **2019**, *62*,
950 e19180343. <https://doi.org/10.1590/1678-4324-2019180343>.
- 951 14. Thompson, F.; Krüger, R.; Thompson, C.C.; Berlinck, R.G.S.; Coutinho, R.; Landell, M.F.; Pavão, M.; Mourão,
952 P.A.S.; Salles, A.; Negri, N.; et al. Marine Biotechnology in Brazil: Recent Developments and Its Potential for
953 Innovation. *Front. Mar. Sci.* **2018**, *5*, 236. <https://doi.org/10.3389/fmars.2018.00236>.
- 954 15. Radakovits, R.; Jinkerson, R.E.; Fuerstenberg, S.I.; Tae, H.; Settlage, R.E.; Boore, J.L.; Posewitz, M.C. Draft genome
955 sequence and genetic transformation of the oleaginous alga *Nannochloropsis gaditana*. *Nat. Commun.* **2012**, *3*,
956 686. <https://doi.org/10.1038/ncomms1688>.
- 957 16. Al-Hoqani, U.; Young, R.; Purton, S. The biotechnological potential of *Nannochloropsis*. *Perspect. Phycol.* **2017**,
958 *4*, 1–15. <https://doi.org/10.1127/pip/2016/0065>.
- 959 17. Ma, X.N.; Chen, T.P.; Yang, B.; Liu, J.; Chen, F. Lipid production from *Nannochloropsis*. *Mar. Drugs* **2016**, *14*, 61.
960 <https://doi.org/10.3390/md14040061>.
- 961 18. Ben-Sheleg, A.; Khozin-Godberg, I.; Yaakov, B.; Vonshak, A. Characterization of *nannochloropsis oceanica* rose
962 bengal mutants sheds light on acclimation mechanisms to high light when grown in low temperature. *Plant Cell
963 Physiol.* **2021**, *62*, 1478–1493. <https://doi.org/10.1093/pcp/pcab094>.
- 964 19. Guedes, A.C.; Malcata, F. Nutritional Value and Uses of Microalgae in Aquaculture. In *Aquaculture*; IntechOpen:
965 London, UK, 2012. <https://doi.org/10.5772/30576>.
- 966 20. Serôdio, J.; Lavaud, J. Diatoms and Their Ecological Importance. In *Life Below Water. Encyclopedia of the UN
967 Sustainable Development Goals*; Leal Filho, W., Azul, A.M., Brandli, L., Lange Salvia, A., Wall, T., Eds.; Springer:
968 Cham, Switzerland, 2020. Available online: https://doi.org/10.1007/978-3-319-71064-8_12-1.
- 969 21. Radchenko, I.G.; Il'yash, L.V. Growth and photosynthetic activity of diatom *Thalassiosira weissflogii* at
970 decreasing salinity. *Biol. Bull.* **2006**, *33*, 242–247. <https://doi.org/10.1134/S106235900603006X>.
- 971 22. Halac, S.R.; Villafañe, V.E.; Helbling, E.W. Temperature benefits the photosynthetic performance of the diatoms
972 *Chaetoceros gracilis* and *Thalassiosira weissflogii* when exposed to UVR. *J. Photochem. Photobiol. B Biol.* **2010**,
973 *101*, 196–205. <https://doi.org/10.1016/j.jphotobiol.2010.07.003>.
- 974 23. Antal, T.K.; Osipov, V.; Matorin, D.N.; Rubin, A.B. Membrane potential is involved in regulation of photosynthetic
975 reactions in the marine diatom *Thalassiosira weissflogii*. *J. Photochem. Photobiol. B Biol.* **2011**, *102*, 169–173.
976 <https://doi.org/10.1016/j.jphotobiol.2010.11.005>.
- 977 24. Klein Breteler, W.C.M.; Schogt, N.; Rampen, S. Effect of diatom nutrient limitation on copepod development:
978 Role of essential lipids. *Mar. Ecol. Prog. Ser.* **2005**, *291*, 125–133. <https://doi.org/10.3354/meps291125>.
- 979 25. Farooq, H.; Courtier-Murias, D.; Soong, R.; Bermel, W.; Kingery, W.M.; Simpson, A.J. HR-MAS NMR
980 Spectroscopy: A Practical Guide for Natural Samples. *Curr. Org. Chem.* **2013**, *17*, 3013–3031.
- 981 26. Keifer, P.A.; Baltusis, L.; Rice, D.M.; Tymiaik, A.A.; Shoolery, J.N. A comparison of NMR spectra obtained for solid-
982 phase-synthesis resins using conventional high-resolution, magic-angle-spinning, and high-resolution magic-
983 angle-spinning probes. *J. Magn. Reson. Ser. A* **1996**, *119*, 65–75. <https://doi.org/10.1006/jmra.1996.0052>.
- 984 27. Lindon, J.C.; Beckonert, O.P.; Holmes, E.; Nicholson, J.K. High-resolution magic angle spinning NMR
985 spectroscopy: Application to biomedical studies. *Prog. Nucl. Magn. Reson. Spectrosc.* **2009**, *55*, 79–100.
986 <https://doi.org/10.1016/j.pnmrs.2008.11.004>.
- 987 28. Dutra, L.M.; da Conceição Santos, A.D.; Lourenço, A.V.F.; Nagata, N.; Heiden, G.; Campos, F.R.; Barison, A. 1H
988 HR-MAS NMR and chemometric methods for discrimination and classification of *Baccharis* (Asteraceae): A
989 proposal for quality control of *Baccharis trimera*. *J. Pharm. Biomed. Anal.* **2020**, *184*, 113200.
990 <https://doi.org/10.1016/j.jpba.2020.113200>.
- 991 29. Ali, S.; Rech, K.S.; Badshah, G.; Soares, F.L.F.; Barison, A. 1H HR-MAS NMR-Based Metabolomic Fingerprinting to
992 Distinguish Morphological Similarities and Metabolic Profiles of *Maytenus ilicifolia*, a Brazilian Medicinal Plant.
993 *J. Nat. Prod.* **2021**, *84*, 1707–1714. <https://doi.org/10.1021/acs.jnatprod.0c01094>.
- 994 30. da Conceição Santos, A.D.; Fonseca, F.A.; Dutra, L.M.; de Fátima Costa Santos, M.; Menezes, L.R.A.; Campos,
995 F.R.; Nagata, N.; Ayub, R.; Barison, A. 1H HR-MAS NMR-based metabolomics study of different persimmon
996 cultivars (*Diospyros kaki*) during fruit development. *Food Chem.* **2018**, *239*, 511–519.
997 <https://doi.org/10.1016/j.foodchem.2017.06.133>.
- 998 31. Chauton, M.S.; Størseth, T.R.; Krane, J. High-resolution magic angle spinning NMR analysis of whole cells of
999 *Chaetoceros muelleri* (Bacillariophyceae) and comparison with 13C-NMR and distortionless enhancement by
1000 polarization transfer 13C-NMR analysis of lipophilic extracts. *J. Phycol.* **2004**, *40*, 611–618.
1001 <https://doi.org/10.1111/j.1529-8817.2004.03134.x>.
- 1002 32. Couto, C.; Hernández, C.P.; Alves Sobrinho, R.C.M.; Mendes, C.R.B.; Roselet, F.; Abreu, P.C. Optimization of a
1003 low-cost fertilizer-based medium for large-scale cultivation of the coastal diatom *Conticribra weissflogii* using
1004 response surface methodology and its effects on biomass composition. *J. Appl. Phycol.* **2021**, *33*, 2767–2781.
1005 <https://doi.org/10.1007/s10811-021-02519-8>.
- 1006 33. Kubelka, B.G.; Roselet, F.; Pinto, W.T.; Abreu, P.C. The action of small bubbles in increasing light exposure and
1007 production of the marine microalga *Nannochloropsis oceanica* in massive culture systems. *Algal Res.* **2018**, *35*,
1008 569–576. <https://doi.org/10.1016/j.algal.2018.09.030>.
- 1009 34. Roselet, F.; Vandamme, D.; Roselet, M.; Muylaert, K.; Abreu, P.C. Effects of pH, Salinity, Biomass Concentration,
1010 and Algal Organic Matter on Flocculant Efficiency of Synthetic Versus Natural Polymers for Harvesting
1011 Microalgae Biomass. *Bioenergy Res.* **2017**, *10*, 427–437. <https://doi.org/10.1007/s12155-016-9806-3>.
- 1012 35. Martínez-Bisbal, M.C.; Carbó Mestre, N.; Martínez-Máñez, R.; Bauzá, J.; Alcañiz Fillol, M. Microalgae
1013 degradation follow up by voltammetric electronic tongue, impedance spectroscopy and NMR spectroscopy.
1014 *Sens. Actuators B Chem.* **2019**, *281*, 44–52. <https://doi.org/10.1016/j.snb.2018.10.069>.

- 1015 36. Sathasivam, R.; Radhakrishnan, R.; Hashem, A.; Abd_Allah, E.F. Microalgae metabolites: A rich source for food
1016 and medicine. *Saudi J. Biol. Sci.* **2019**, *26*, 709–722. <https://doi.org/10.1016/j.sjbs.2017.11.003>.
- 1017 37. Zanella, L.; Vianello, F. Microalgae of the genus *Nannochloropsis*: Chemical composition and functional
1018 implications for human nutrition. *J. Funct. Foods* **2020**, *68*, 103919. <https://doi.org/10.1016/j.jff.2020.103919>.
- 1019 38. Hughes, A.H.; Magot, F.; Tawfike, A.F.; Rad-Menéndez, C.; Thomas, N.; Young, L.C.; Stucchi, L.; Caretonni, D.;
1020 Stanley, M.S.; Edrada-Ebel, R.; et al. Exploring the chemical space of macro-and micro-algae using comparative
1021 metabolomics. *Microorganisms* **2021**, *9*, 311. <https://doi.org/10.3390/microorganisms9020311>.
- 1022 39. Park, Y.H.; Han, S.-I.; Oh, B.; Kim, H.S.; Jeon, M.S.; Kim, S.; Choi, Y.-E. Microalgal secondary metabolite
1023 productions as a component of biorefinery: A review. *Biooresour. Technol.* **2022**, *344 Pt A*, 126206.
1024 <https://doi.org/10.1016/j.biortech.2021.126206>.
- 1025 40. Abreu, A.C.; Molina-Miras, A.; Aguilera-Saéz, L.M.; López-Rosales, L.; Cerón-García, M.D.C.; Sánchez-Mirón, A.;
1026 Olmo-García, L.; Carrasco-Pancorbo, A.; García-Camacho, F.; Molina-Grima, E.; et al. Production of Amphidinols
1027 and Other Bioproducts of Interest by the Marine Microalga *Amphidinium carterae* Unraveled by Nuclear
1028 Magnetic Resonance Metabolomics Approach Coupled to Multivariate Data Analysis. *J. Agric. Food Chem.* **2019**,
1029 *67*, 9667–9682. <https://doi.org/10.1021/acs.jafc.9b02821>.
- 1030 41. Ma, N.L.; Aziz, A.; Teh, K.Y.; Lam, S.S.; Cha, T.S. Metabolites Re-programming and Physiological Changes Induced
1031 in *Scenedesmus regularis* under Nitrate Treatment. *Sci. Rep.* **2018**, *8*, 9746. <https://doi.org/10.1038/s41598-018-27894-0>.
- 1033 42. Azizan, A.; Bustamam, M.S.A.; Maulidiani, M.; Shaari, K.; Ismail, I.S.; Nagao, N.; Abas, F. Metabolite profiling of
1034 the microalgal diatom *chaetoceros calcitrans* and correlation with antioxidant and nitric oxide inhibitory
1035 Activities via 1H NMR-Based Metabolomics. *Mar. Drugs* **2018**, *16*, 154. <https://doi.org/10.3390/MD16050154>.
- 1036 43. Crable, B.R.; Plugge, C.M.; McInerney, M.J.; Stams, A.J.M. Formate formation and formate conversion in
1037 biological fuels production. *Enzym. Res.* **2011**, *2011*, 532536. <https://doi.org/10.4061/2011/532536>.
- 1038 44. Pietzke, M.; Meiser, J.; Vazquez, A. Formate metabolism in health and disease. *Mol. Metab.* **2020**, *33*, 23–37.
1039 <https://doi.org/10.1016/j.molmet.2019.05.012>.
- 1040 45. Eadsforth, T.C.; Gardiner, M.; Maluf, F.V.; McElroy, S.; James, D.; Frearson, J.; Gray, D.; Hunter, W.N. Assessment
1041 of *Pseudomonas aeruginosa* N⁵,N¹⁰-methylenetetrahydrofolate dehydrogenase-cyclohydrolase as a potential
1042 antibacterial drug target. *PLoS ONE* **2012**, *7*, e35973. <https://doi.org/10.1371/journal.pone.0035973>.
- 1043 46. Ramos, D.F.; Bartolomeu Halicki, P.C.; da Silva Carielles Caprara, C.; Borges, P.; da D’Oca, C.R.M.; de Santos,
1044 M.F.C.; D’Oca, M.G.M.; Roselet, F.; Almeida da Silva, P.E.; Abreu, P.C. Chemical Profile and Antimicrobial Activity
1045 of the Marine Diatom *Chaetoceros muelleri*. *Chem. Biodivers.* **2022**, *19*, e202100846.
1046 <https://doi.org/10.1002/cbdv.202100846>.
- 1047 47. Sonnenschein, E.C.; Syit, D.A.; Grossart, H.P.; Ullrich, M.S. Chemotaxis of Marinobacter adhaerens and its impact
1048 on attachmentto the diatom *Thalassiosira weissflogii*. *Appl. Environ. Microbiol.* **2012**, *78*, 6900–6907.
1049 <https://doi.org/10.1128/AEM.01790-12>.
- 1050 48. Li, L.; Wang, H.; Wang, S.; Xu, Y.; Liang, H.; Liu, H.; Sonnenschein, E.C. The Draft Genome of the Centric Diatom
1051 *Conticribra weissflogii* (Coscinodiscophyceae, Ochrophyta). *Protist* **2021**, *172*, 125845.
1052 <https://doi.org/10.1016/j.protis.2021.125845>.
- 1053 49. Stachura-Suchopoles, K.; Williams, D.M. Description of *Conticribra tricircularis*, a new genus and species of
1054 Thalassiosirales, with a discussion on its relationship to other continuous cribra species of *Thalassiosira* Cleve
1055 (Bacillariophyta) and its freshwater origin. *Eur. J. Phycol.* **2009**, *44*, 477–486.
1056 <https://doi.org/10.1080/09670260903225431>.
- 1057 50. Ribalet, F.; Intertaglia, L.; Lebaron, P.; Casotti, R. Differential effect of three polyunsaturated aldehydes on
1058 marine bacterial isolates. *Aquat. Toxicol.* **2008**, *86*, 249–255. <https://doi.org/10.1016/j.aquatox.2007.11.005>.
- 1059 51. Rizzi, J.; Moro, T.R.; Winnischhofer, S.M.B.; Colusse, G.A.; Tamiello, C.S.; Trombetta-Lima, M.; Noletto, G.R.; Dolga,
1060 A.M.; Duarte, M.E.R.; Noseda, M.D. Chemical structure and biological activity of the (1 → 3)-linked β-D-glucan
1061 isolated from marine diatom *Conticribra weissflogii*. *Int. J. Biol. Macromol.* **2022**, *224*, 584–593.
1062 <https://doi.org/10.1016/j.ijbiomac.2022.10.147>.
- 1063 52. Barrera-Alba, J.J.; Abreu, P.C.; Tenenbaum, D.R. Seasonal and inter-annual variability in phytoplankton over a
1064 22-year period in a tropical coastal region in the southwestern Atlantic Ocean. *Cont. Shelf Res.* **2019**, *176*, 51–
1065 63. <https://doi.org/10.1016/j.csr.2019.02.011>.

1066 **Disclaimer/Publisher’s Note:** The statements, opinions and data contained in all publications are solely
1067 those of the individual author(s) and contributor(s) and not of MDPI and/or the editor(s). MDPI and/or the
1068 editor(s) disclaim responsibility for any injury to people or property resulting from any ideas, methods,
1069 instructions or products referred to in the content.

1070

1071

1072

1073

1074 **Capítulo II**

1075 O manuscrito será adequado as sugestões da banca, formatado e traduzido para
1076 a língua inglesa, para ser submetido na revista Biofouling (Fatos de
1077 Impacto:3,797) .

1078 **Avaliação da biotividade de diferentes extratos da diatomácea *Conticribra*
1079 *weissflogii* frente a cepas de *Acinetobacter baumannii***

1080 **Carolina da Silva Canelles Caprara¹, Marcelo G. M. D’Oca², Caroline Da R. M. D’Oca²,**
1081 **Fabio Roselet³, Paulo Cesar Abreu^{3t} and Daniela Fernandes Ramos^{1,*}**

1082 ¹ Laboratório de Desenvolvimento de Novos Fármacos (LADEFA), Universidade
1083 Federal do Rio Grande (FURG), Rio Grande, Rio Grande do Sul 96200-400,
1084 Brazil; carolina.caprara@anhanguera.com (C.S.C.C.); daniferamos@gmail.com
1085 (D.F.R.)

1086 ² NMR Laboratory, NMR Center, Departamento de Química, Universidade
1087 Federal do Paraná, Curitiba 81530-900, PR, Brazil; tatimathias2103@gmail.com
1088 (T.K.M.); mfcs.rmn@gmail.com (M.F.C.S.); marcelodoca@ufpr.br (M.G.M.D.);
1089 carolinenedoca@ufpr.br (C.R.M.D.)

1090 ³ Laboratório de Produção de Microalgas (LPM), Instituto de Oceanografia,
1091 Universidade Federal do Rio Grande (FURG) - Rio Grande, Rio Grande do Sul
1092 96210-030, Brazil; fabio.roselet@furg.br (F.R.); docpca@furg.br (P.C.A.)

1093 * Correspondence: daniferamos@gmail.com; Tel.: + 55 53 3237-4634; Núcleo de Desenvolvimento de Novos
1094 Fármacos - NUDEFA, Rua General Osório, s/nº, Campus Saúde, 2º andar. Rio Grande, Rio Grande do Sul - Brazil. CEP:
1095 96.200-400;

1096 **INTRODUÇÃO**

1097 *Acinetobacter baumannii*, um cocobacilo gram-negativo não fermentador,
1098 já foi considerado um patógeno de baixa patogenicidade e atualmente é
1099 reconhecido como um patógeno oportunista, responsável pelas principais
1100 causas de infecções hospitalares e adquiridas na comunidade (GOPAL et al.
1101 2014; KRZYŚCIAK et al. 2017; PELEG et al. 2008)

1102 A maioria das infecções por *A. baumannii* ocorre em pacientes em estado
1103 grave na unidade de terapia intensiva (UTI) representando até 35% das
1104 infecções em UTIs em todo o mundo (FOURNIER et al. 2006; LEE et al. 2017;
1105 SKARIYACHAN et al., 2019). A capacidade de formação de biofilme por *A.*
1106 *baumannii* é considerado um dos principais fatores de virulência
1107 (THUMMEEPAK et al. 2016) e pode ocorrer em superfícies, dispositivos
1108 hospitalares, entrando em contato com pacientes suscetíveis e causando surtos
1109 de pneumonia associada à ventilação mecânica, meningite, bactеремия,
1110 infecções do trato urinário e epitelial. Conforme Halicki et al., essas infecções
1111 são de difícil tratamento e como resultado podemos ter o surgimento de cepas
1112 multirresistentes (MDR) (FOURNIER; RICHET, 2006; HALICKI et al. 2020;
1113 KYRIAKIDIS et al. 2021; LEE et al. 2017b)

1116 De fato, a OMS identificou a resistência antimicrobiana como um dos três
1117 problemas mais importantes enfrentados pela saúde humana (HOWARD et al.
1118 2012; TACCONELLI et al. 2018). Em 2017, foi divulgada pela OMS uma lista
1119 prioritária de patógenos que ameaçam a saúde humana e *A. baumannii* foi
1120 classificado como um dos principais patógenos críticos para pesquisa e
1121 desenvolvimento de novos antimicrobianos o que o torna uma ameaça global em
1122 ambientes de saúde (LEE et al. 2017; TACCONELLI et al. 2018)

1123 Os produtos naturais representam uma fonte de mais de um milhão de
1124 compostos químicos que serviram de protótipos para novos medicamentos. O
1125 ambiente marinho, que responde por aproximadamente metade da
1126 biodiversidade global, contém uma rica fonte de metabólitos estruturalmente
1127 diversos e biologicamente ativos (HABBU et al. 2016). Produtos de organismos
1128 marinhos apresentam diversas propriedades bioativas interessantes, como
1129 antimicrobiana, citotóxica, anticancerígena, antidiabética, antifúngica,
1130 anticoagulante, anti-inflamatória dentre outras atividades
1131 farmacológicas(CARVALHO; PEREIRA, 2014; GUL et al. 2005; HABBU et al.
1132 2016; HAMIDI et al. 2016; KARAMAN et al. 2003; LAURITANO et al. 2018;
1133 MAYER; HAMANN, 2005; QI et al. 2016)

1134 As microalgas são organismos autotróficos unicelulares que transformam
1135 dióxido de carbono, hidrogênio e nitrogênio em carboidratos, lipídios e proteínas
1136 (OLAIZOLA, 2003; SAVAGE, 2011). Elas são a base das cadeias alimentares
1137 aquáticas e colonizaram quase todos os ecossistemas, desde ambientes
1138 temperados até extremos, como ambientes frios/quentes, e fontes hidrotermais
1139 (MANSOUR et al. 2005). As microalgas estão adaptadas para viver em
1140 ambientes muito diferentes e apresentam uma enorme diversidade bioquímica e
1141 genética, representando assim uma excelente fonte de novos produtos naturais
1142 com possíveis aplicações em diversos setores biotecnológicos (OLAIZOLA,
1143 2003; RABIEE et al. 2021).

1144 Uma das potenciais vantagens do uso de microalgas como matéria-prima
1145 para diversos fins em biotecnologia incluem sua capacidade de sintetizar e
1146 acumular grandes quantidades de lipídeos (MANSOUR et al., 2005). Entre as
1147 diatomáceas de interesse biotecnológico podemos destacar a diatomácea
1148 *Conticribra weissflogii* (*Thalassiosira weissflogii*), uma espécie eurhalina que
1149 possui altas taxas de fixação de carbono, e eficiência fotossintética (BORGES et
1150 al., 2011, 2007; RADCHENKO; IL'YASH, 2006). *C. weissflogii* se sobressai por
1151 apresentar altas taxas de crescimento e alta capacidade de acúmulo de lipídeos
1152 (COUTO et al., 2021; GARCÍA et al., 2012). Esses lipídeos são compostos por
1153 uma grande porcentagem de ácidos graxos poliinsaturados que são importantes
1154 para a dieta de outros organismos aquáticos e para a saúde humana, possuem
1155 assim grande potencial comercial, podendo ser incorporados em medicamentos,
1156 cosméticos e alimentos, (BOROWITZKA, 2013; COUTO et al. 2021; MANSOUR
1157 et al. 2005)

1158 Portanto, tendo em vista a falta de alternativas terapêuticas no combate
1159 às cepas resistentes, e considerando a necessidade urgente de desenvolver
1160 novos compostos bioativos frente aos patógenos prioritários, este estudo visa
1161 contribuir para a identificação de novos compostos candidatos ao tratamento de
1162 infecções causadas por *A. baumannii*.

1163

1164 METODOLOGIA

1165 Cultivo da microalga

1166

1167 A cepa da microalga foi proveniente do Laboratório de Produção de
1168 Microalgas, do Instituto de Oceanografia (IO - FURG), e cadastrada com o código
1169 THAL WEIS-1. Basicamente, o cultivo foi realizado usando água salgada natural,
1170 bombeada a 200 m da Praia do Cassino, em frente à Estação Marinha de
1171 Aquacultura (EMA). Esta água é tratada, primeiro por filtração em filtro de areia
1172 e, depois, em filtro de cartucho de polipropileno com poro de 1 µm. Após filtração,
1173 a esterilização foi realizada com hipoclorito de sódio 12% (NaClO, 0,15 mL⁻¹)
1174 por 24h e neutralizada com ácido ascórbico (C₆H₈O₆, 30 mg. L⁻¹).

1175

1176 Os cultivos foram realizados em escala laboratorial e a microalga
1177 *Conticribra wessflogii* foi cultivada em meio f/2 composto por nitrato de sódio
1178 (NaNO₃, 75 mg/L), fosfato de sódio (NaH₂PO₄ * H₂O, 5 mg/L), metassilicato de
1179 sódio (Na₂SiO₃ * 9H₂O, 30 mg/L), cloreto férrico (FeCl₃ * 6H₂O, 3,5 mg/L), sulfato
1180 de cobre (CuSO₄ * 5H₂O, 0,0098 mg/L), sulfato de zinco (ZnSO₄ * 7H₂O, 0,022
1181 mg/L), cloreto de cobalto (CoCl₂ * 6H₂O, 0,01 mg/L), cloreto de manganês (MnCl₂
1182 * 4H₂O, 0,18 mg/L), molibdato de sódio (Na₂MoO₄ * 2H₂O, 0,0063 mg/L), EDTA
1183 (C₁₀H₁₄N₂Na₂O₈ * 2H₂O, 4,36 mg/L), Tiamina (C₁₂H₁₇CIN₄OS * HCl, 0,1 mg/L),
1184 biotina (C₁₀H₁₆N₂O₃S, 0,0005 mg/L) e cianocobalamina (C₆₃H₈₈CoN₁₄O₁₄P,
1185 0,0005 mg/L). O pH do meio foi ajustado para 8. O cultivo foi realizado em
1186 carboys plásticos de 20 L, em laboratório com condições controladas,
1187 temperatura de 23° C, salinidade 28, com intensidade luminosa de 1000 µmol
1188 fôtons m⁻² s⁻¹, fotoperíodo de 12/12h e aeração constante. O cultivo foi
1189 monitorado diariamente, diretamente, por contagem celular (células/mL) em
1190 câmara de Neubauer. Ou, indiretamente por medição da densidade ótica no
1191 comprimento de onda de 750 nm em espectrofotômetro e, em seguida,
1192 convertida em densidade celular por regressão linear. Após 7 dias, no final da
1193 curva de crescimento ela foi coletada por centrifugação. E, após a concentração
1194 a biomassa foi seca em estufa à 60°C.

1195 Produção dos extratos e determinação do rendimento

1196

1197 Os extratos foram preparados conforme AZIZAN et al. (2018) e BORGES
1198 et al. (2016). Resumidamente, cada biomassa (1g) foi dissolvida em 15 ml de
1199 cada solvente (CH₃CO₂Et, C₆H₁₄, CH₃OH, CH₂Cl₂, (CH₃)₂CO, CHCl₃) e após,

1200 colocados em banho de ultrassom (ElmaSonic®) por 20 minutos (40Hz), com
1201 intervalo de 20 minutos entre elas (2x) à temperatura ambiente. Após a extração,
1202 foram centrifugados por 2min a 3000 rpm e filtrados em papel de filtro (Whatman
1203 nº1), o solvente foi evaporado em rotaevaporador (R210 Buchi®) utilizando
1204 temperaturas entre 40 e 60°C. Por fim todos os resíduos de solvente foram
1205 evaporados por 24h usando um dessecador com sílica acoplado a uma bomba
1206 de vácuo. O rendimento foi determinado pelas diferenças de peso seco antes e
1207 depois do processo (expresso em %). Os extratos foram armazenados a -20°C
1208 até a realização dos ensaios posteriores. Para avaliar a atividade antimicrobiana,
1209 os extratos foram suspensos em dimetilsulfóxido (DMSO) para obtenção de
1210 concentrações entre 20 e 50 mg/mL e armazenados a 4°C.

1211

1212 Espectroscopia de Ressonância Magnética Nuclear de Hidrogênio (RMN 1213 ^1H)

1214 Para realizar a análise de RMN ^1H de *C. weissflogii*, as amostras foram
1215 preparadas por dissolução de 10 mg de extratos secos em 500 μL de CDCl_3
1216 (0.05% TMS) e transferidas para tubo de RMN de 5 mm. As análises de ^1H NMR
1217 foram realizadas no espectrômetro Bruker AVANCE 400 NMR, operando a 9,4
1218 T, observando o núcleo ^1H a 400,13 MHz. A aquisição dos espectros foi realizada
1219 com sequência de pulso 30, 16 ou 64 zg varreduras dependendo da presença
1220 de baixa intensidade de sinal nas amostras, atraso de reciclagem de 1,0 s (D1),
1221 64k pontos (TD) distribuídos em uma janela espectral de 8012,820 Hz,
1222 resultando em tempo de aquisição (AQ) de 4,09 a uma temperatura de 298 K.

1223

Avaliação da Atividade Biológica

Seleção dos Isolados

1225 Os 5 isolados de *A. baumannii* estudadas, com diferentes perfis de
1226 sensibilidade, foram provenientes do banco de cepas do Núcleo de Pesquisa em
1227 Microbiologia Médica (NUPEMM) da Faculdade de Medicina da Universidade
1228 Federal de Rio Grande (FURG), além disso, a cepa de referência *A. baumannii*
1229 ATCC 19606 também foi incluída nos experimentos. A identificação das cepas
1230 foi realizada previamente pela técnica de Reação da Cadeia da Polimerase
1231 (PCR) através da amplificação do gene blaOXA-51-like, específico para *A.*
1232 *baumanni* conforme previamente descrito por Halicki *et al.* (2019).

1233

1234 Avaliação da atividade antimicrobiana

1235 Para avaliar a atividade antimicrobiana dos extratos, foram utilizadas
1236 cepas de *A. baumannii*, conforme recomendado pelo CLSI (2015) onde foi
1237 definida a concentração mínima capaz de inibir o crescimento microbiano (CMI).
1238 Resumidamente, 50 μL dos extratos foram adicionados ao caldo Muller Hilton
1239 (Himedia) e diluições seriadas dos extratos foram realizadas para atingir as
1240 concentrações finais que variaram de 0,006 a 0,8 mg/mL. Em seguida, foram
1241 adicionados 50 μL de um inóculo bacteriano preparado a partir de uma
1242 suspensão bacteriana preparada em solução de NaCl 0,85% e posteriormente

1243 diluída em Muller Hilton, obtendo-se a concentração descrita em CLSI (2015) -
1244 5×10^5 CFU/mL, por poço. A atividade antibacteriana foi determinada após
1245 incubação a 37° C por 24h usando resazurina (7-hidroxi-3H-fenoxazin-3-ona)
1246 como indicador de viabilidade celular. Meio sem suspensão bacteriana foi usado
1247 como controle negativo, como controle positivo foi usado meio com inóculo
1248 bacteriano e ceftazidima, ciprofloxacina e amicacina foram usadas como
1249 compostos de referência. Todos os experimentos foram realizados em triplicata.
1250 Como critério de eleição, foram selecionados os extratos bioativos para
1251 seguimento dos experimentos.

1252

1253 **Avaliação de Sinergismo por método de microdiluição em caldo:
1254 Checkerboard**

1255

1256 Para avaliar o efeito combinado do extrato com antimicrobianos foi
1257 utilizado o método de microdiluição em caldo utilizando resazurina como
1258 indicador de viabilidade celular, conforme Bellio (2021) com algumas
1259 modificações. Simplificadamente, foram realizadas combinações de diferentes
1260 concentrações dos extratos bioativos versus antibiótico, em microplacas de 96
1261 poços, e, esta combinação foi exposta a um inóculo bacteriano previamente
1262 preparado em Muller Hinton (5×10^5 CFU/mL/poço), após 24 horas de incubação
1263 em aerobiose (37°C), foi definida a menor concentração necessária dos dois
1264 compostos testes (antibióticos, extrato bruto) em combinação para inibir o
1265 crescimento do microrganismo, sendo esta definida como a concentração
1266 fracional inibitória (*Fractional Inhibitory Concentration* - FIC).

1267 Partindo destes resultados e da CMI de cada compostos isoladamente,
1268 foi calculado o índice de concentração inibitória fracionada (*Fractional Inhibitory
1269 Concentration Index* – FICI), cuja fórmula está descrita a seguir e permitiu a
1270 interpretação da ação combinada, segundo Odds (2003), classificando-a em
1271 quatro grupos: FICI ≤ 0.5, indica sinergismo entre os compostos; 0.5 < FICI ≤ 1,
1272 indica efeito aditivo entre os compostos, 1 < FICI ≤ 2, indica indiferença entre os
1273 compostos e, FICI > 2, indica antagonismo entre os compostos avaliados
1274 (ODDS, 2003).

1275 $FICI = FICA + FICB = FICI$, onde FICA = CMI do composto A em
1276 combinação / CMI do composto A sozinho e FICB = CMI do composto B em
1277 combinação / CMI do composto B sozinho.

1278

1279 **Atividade anti-biofilme**

1280

1281 A atividade anti-biofilme foi avaliada por ensaios de inibição e destruição
1282 de biofilme conforme Halicki, *et al.* (2019). Brevemente, para avaliar a
1283 interferência dos extratos na capacidade dos isolados formarem biofilmes
1284 bacterianos, cada isolado (1×10^6 CFU/mL) foi exposto a concentrações de
1285 extratos de *C. weissflogii* por 24 horas a 37°C e, após lavagens sucessivas (PBS
1286 1x), fixação dos biofilmes formados (metanol 100%) e, finalmente, coloração dos

mesmos utilizando cristal-violeta (0,4%), e, logo após eluição dos biofilmes, em etanol 100% foi realizada a leitura da densidade ótica (620nm) utilizando Thermo Plate TPReader BioTek™ Elx800™. A partir dos resultados obtidos com as leituras, foi avaliada a capacidade de cada isolado formar biofilme (após a exposição ao tratamento com extratos) em relação ao seu controle, sendo estes resultados expressos em porcentagem. Por outro lado, para avaliação da capacidade dos extratos em causar destruição dos biofilmes pré-formados, inicialmente foi induzida a formação do biofilme bacteriano de cada isolado, onde uma suspensão contendo 1×10^6 CFU/mL foi preparada em meio Muller Hinton enriquecido com glicose 0,2% e distribuída em placas de poliestireno de 96 poços, a qual foi submetida a incubação por 24h a 37°C em aerobiose. Após o período de incubação, diferentes concentrações do extrato foram adicionadas e as placas incubadas nas mesmas condições por 24h. Finalmente, as placas foram lavadas, os biofilmes fixados, corados e eluidos, conforme já descrito e as densidades óticas obtidas. Todos os experimentos foram conduzidos em triplicata.

Citotoxicidade e Determinação do Índice de seletividade

A citotoxicidade dos compostos foi avaliada em células aderidas da linhagem VERO, através de ensaios em placas de 96 poços(SNEWIN et al. 1999), utilizando resazurina como indicador de viabilidade celular.

Em uma microplaca de 96 poços, 200 µL de uma suspensão de células foram cultivados em meio *Dulbecco's Modified Eagle Medium* (DMEM, Sigma-Aldrich) suplementado com 10% de soro fetal bovino (Vitrocell Embriolife) e 1% de solução antibiótico + antifúngico (Sigma-Aldrich), e mantido por 24 horas a 37 ° C em uma atmosfera umidificada com 5% CO₂, em uma concentração de 3,4 x 10⁵ células / mL (SNEWIN et al. 1999). Após esse período, as células aderidas foram expostas a uma série de diluições para cada extrato, em meio DMEM, nas concentrações finais de 0,8 a 0,006 mg/mL, e a placa foi novamente incubada durante a noite. Em seguida, 30 µl de resazurina 0,01% foram adicionados e depois a fluorescência foi medida a 620nm (Pavan et al. 2010). A porcentagem de inibição dos tratamentos foi calculada de acordo com a seguinte fórmula: (100 – (Densidade óptica de células expostas / Densidade óptica de células não expostas) x 100) bem como a determinação de IC⁵⁰ (concentração de um composto capaz de manter a viabilidade de 50% das células). Além disso, o índice de seletividade (IS) dos compostos foi também calculado com base nos resultados de CMI e IC⁵⁰, onde IS = IC⁵⁰/CMI. Quanto maior o IS, menos tóxico o composto é para a célula. Valores iguais ou superiores a 10 são considerados promissores no desenvolvimento de um novo fármaco (ORME, 2001; SNEWIN et al. 1999).

Avaliação de Espécies Reativas de Oxigênio (ROS)

1331 Foi realizada a determinação da geração de espécies reativas de oxigênio
1332 (ROS “*Reactive Oxygen Species*”) das amostras (extratos) conforme a
1333 metodologia proposta por Amado, *et al.* (2009). Resumidamente em uma placa
1334 de 96 poços pipetou-se 10 µL de cada solução de amostra diluída, em DMSO,
1335 de forma a obter as seguintes concentrações no teste: 0,4, 0,2 e 0,1 mg/mL, em
1336 quatro réplicas independentes. Os brancos foram preparados transferindo o
1337 mesmo volume de solvente utilizado para dissolver a amostra (DMSO), com e
1338 sem ABAP (2,2'- azobis-(2-metilpropanoamidina) e com e sem H₂DCF (diacetato
1339 de 2',7'-dcloro-hidro-flurosceína). O tampão reação (127 µL), contendo 30 mM
1340 de HEPES (pH 7,2), 200 mM de KCl e 1 mM de MgCl₂ foi adicionado às
1341 amostras. Após, 7,5 µL de ABAP 10 mM foram adicionados a dois poços de cada
1342 amostra, enquanto o mesmo volume de água Milli-Q foi adicionado aos poços
1343 remanescentes. Imediatamente antes da leitura da placa foram adicionados 10
1344 µL de H₂DCF.

1345 O diacetato de 2',7'-dcloro-hidro-flurosceína (H₂DCF-DA Invitrogen, São
1346 Paulo, SP, Brasil), foi previamente clivado através de hidrólise alcalina por 30
1347 minutos, resultando no produto deacetilado H₂DCF. As microplacas foram lidas
1348 em um leitor de fluorescência programado para manter a temperatura em 37 °C
1349 a fim de induzir a termólise do ABAP. Após, o H₂DCF não fluorescente é oxidado
1350 pelos ROS ao composto fluorescente DCF, que é detectado nos comprimentos
1351 de onda 485 nm e 520 nm (excitação e emissão, respectivamente) por 60
1352 minutos.

1353 Os resultados foram expressos em porcentagem, sendo a produção de
1354 fluorescência total calculada de acordo com a seguintes equações:

1355
1356 **ABAP(%)** = (Δ Branco – Δ amostra)/ Δ Branco x 100 onde,
1357 **Δ Branco**= NF branco com ABAP – NF branco sem ABAP e,
1358 **Δ Amostra**= NF amostra com ABAP – NF branco sem ABAP e,
1359 **NF (fluorescência líquida)** = fluorescência com H₂DCF – fluorescência sem
1360 H₂DCF

1361
1362

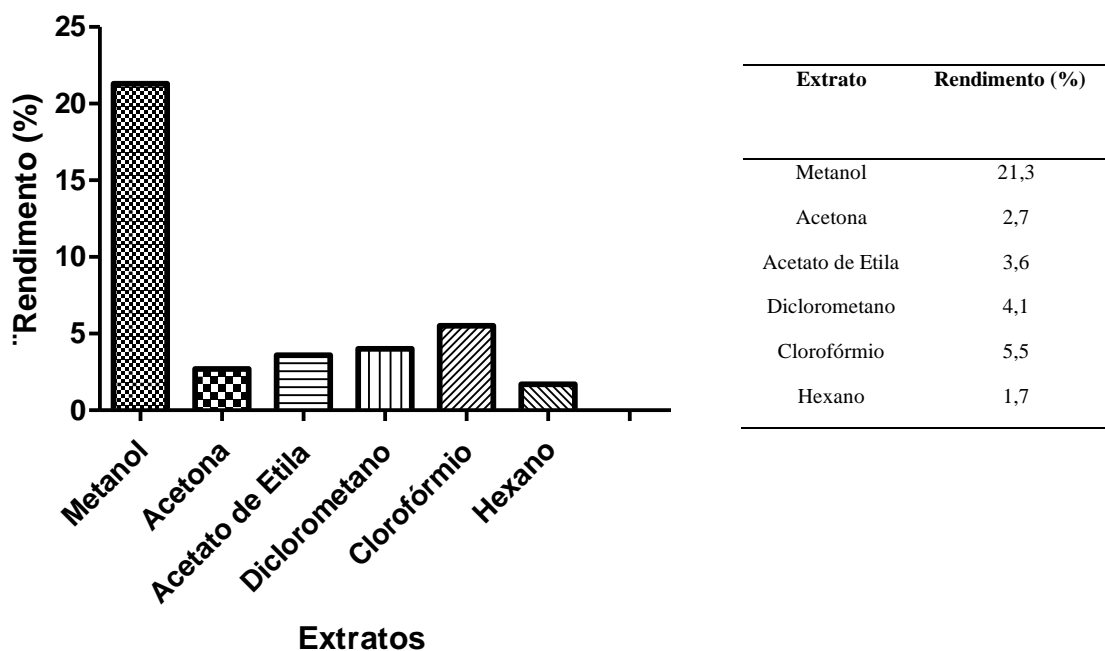
1363 Análise estatística

1364 Os dados foram processados segundo valores médios e desvio padrão,
1365 utilizando análise de variância (ANOVA) de uma via, seguido pelo teste de
1366 comparações múltiplas de Bonferroni, utilizados para análise estatística. Valores
1367 de p≤0.05 foram considerados estatisticamente significativos. Os gráficos e as
1368 análises estatísticas foram contruídos utilizando o software GraphPad Prism
1369 7.05.

1370 RESULTADOS

1371 Produção e Extração de microalgas

1372 Após a produção dos extratos com diferentes solventes, foi obtido o
1373 rendimento de cada extrato conforme a Figura 1. Neste estudo, o extrato em
1374 metanol (CH_3OH) obteve o maior rendimento seguido pelos extratos em
1375 clorofórmio (CHCl_3), diclorometano (CH_2Cl_2), acetato de etila (AcOEt) e acetona
1376 ($\text{CH}_3)_2\text{CO}$), o extrato em hexano apresentou o menor rendimento.



1377
1378
1379 **Figura 1.** Rendimento de cada extrato de *C.wessflogii* preparados através de
1380 ultrasonicação, conforme metodologia proposta por Borges *et al.* (2016) (expresso em
1381 %).

1382

1383 **Perfil dos metabólitos produzidos**

1384 A extração de metabólitos é uma etapa fundamental no fluxo de trabalho
1385 de um estudo metabolômico. Sendo fundamental a escolha dos solventes
1386 utilizados para a extração, pois o objetivo principal desta etapa é extrair o maior
1387 espectro possível de estruturas químicas dos metabólitos. O perfil dos
1388 compostos presentes nos diferentes extractos de *C.weissflogii*, utilizando
1389 diferentes solventes, foi posteriormente determinado por ^1H -RMN, conforme
1390 cromatogramas da Figura 2.

1391

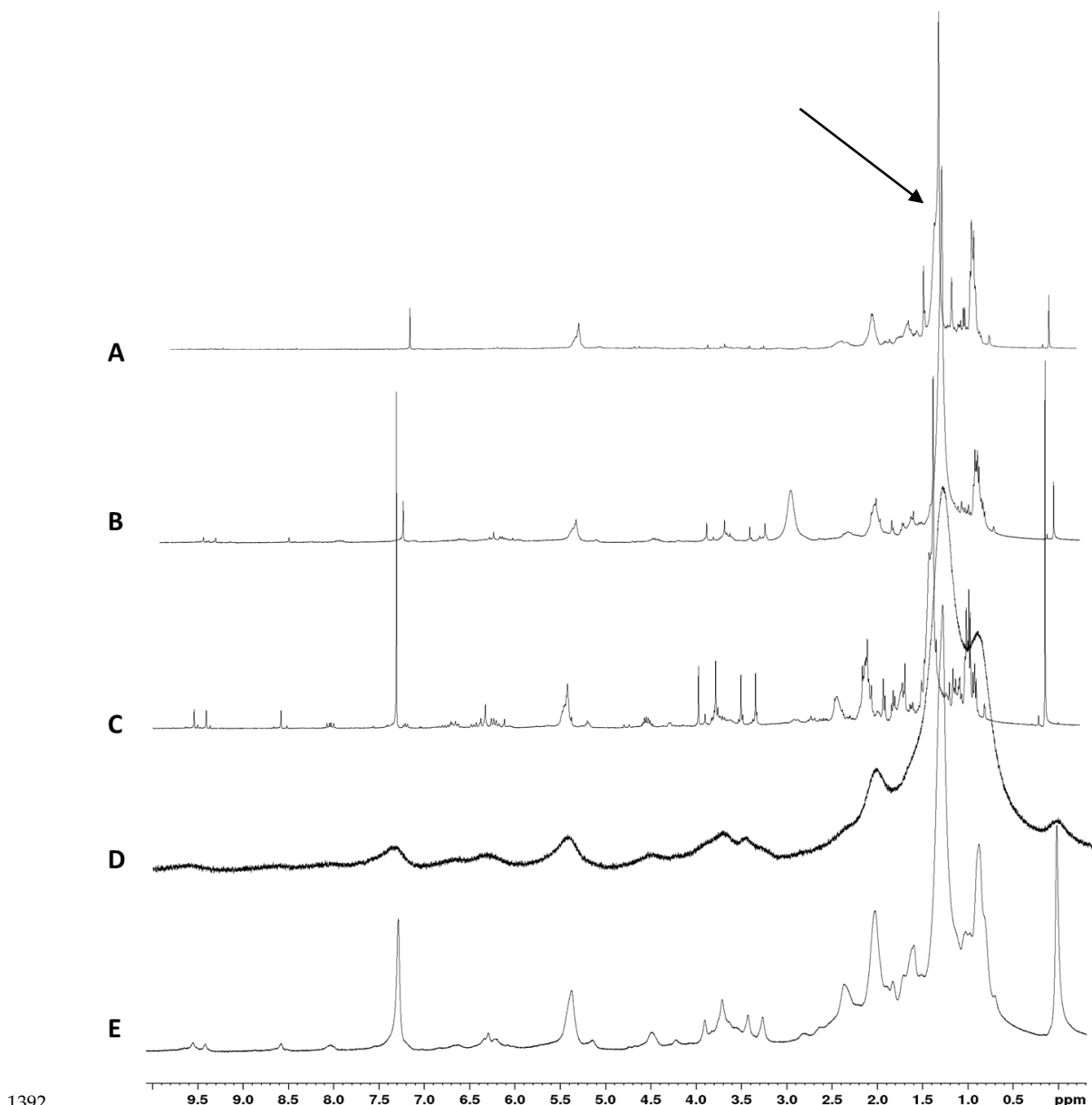


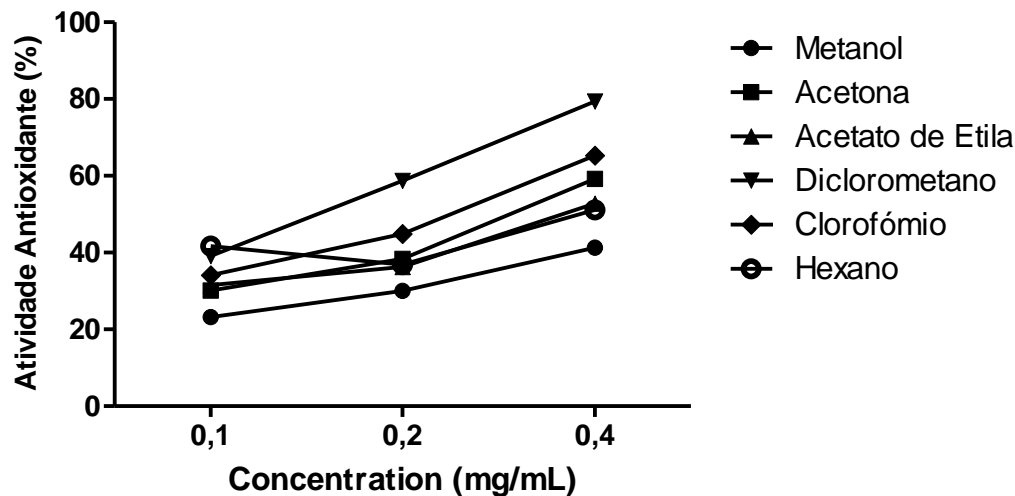
Figura 2. Espectro de ^1H RMN (400 MHz, CDCl_3) de extratos de *C. wessflogii*: (A) Hexano; (B) Clorofórmio; (C) Acetato de Etila; (D) Diclorometano; (E) Acetona.

De acordo com os espectros de $^1\text{HRMN}$ foi possível observar que os espectros apresentam um perfil semelhante. O extrato em hexano apresentou picos relativos a ácidos graxos (entre 0,9 e 2,3).

Avaliação de Espécies Reativas de Oxigênio (ROS)

Existe um grande interesse nas microalgas por apresentarem potencial antioxidante, além disso, o dano oxidativo poderia estar relacionado ao alto teor lipídico da microalga, o que pode estar relacionado à peroxidação lipídica, que tem sido um importante fenômeno de inibição celular bacteriana (SANSONE;

1405 BRUNET, 2019a). Desta forma, a capacidade antioxidant total de *C. weissflogii*
1406 foi avaliada pelo método proposto por Amado et al. (2009) e os resultados estão
1407 apresentados na figura 3.



1408
1409 **Figura 3.** Potencial antioxidant dos extratos de *C.weissflogii* (expressos em %)
1410 usando o método proposto por Amado et al. (2009).

1411 Os resultados encontrados sugerem que os extratos em hexano e em
1412 metanol foram os que apresentaram menor potencial antioxidant e que na
1413 concentração de 0,4mg/mL, o extrato em hexano foi capaz de neutralizar apenas
1414 51% dos radicais peroxilas, gerados pela termodecomposição do reagente
1415 ABAP, responsáveis pela formação de espécies reativas de oxigênio produzidas,
1416 em relação ao controle sem exposição ao extrato, enquanto extratos mais
1417 polares como o diclorometanico, por exemplo, neutralizaram até 79% dos
1418 radicais, evidenciando seu potencial antioxidant.

1419

1420 **Avaliação da Atividade Antimicrobiana**

1421 A concentração mínima inibitória (CMI) dos extratos produzidos pela
1422 microalga *C. weissflogii* frente a cepas de *A. baumannii* foi determinada através
1423 do método de microdiluição, de acordo com CLSI (2015), usando resazurina
1424 como indicador de viabilidade celular. A CMI foi considerada como a
1425 concentração mais baixa de um extrato capaz de inibir o crescimento bacteriano
1426 conforme apresentado na tabela 1

1427 **Tabela 1.** Atividade antimicrobiana, pela determinação da Concentração mínima
1428 inibitória – CMI, dos extratos de *C.weissflogii* frente a cepa padrão de *A.*
1429 *baumannii* ATCC 19606 através de ensaio de determinação da CMI (expressa
1430 em mg/mL). Extratos que não apresentaram atividades a 0,8 mg/mL foram
1431 considerados inativos.

1432

1433

1434

Extrato	CMI frente a <i>A. baumannii</i>
Água	Inativo
Metanol	Inativo
Acetona	Inativo
Acetato de Etila	Inativo
Diclorometano	Inativo
Clorofórmio	Inativo
Hexano	0,4

1435

1436 A Tabela 2 apresenta os resultados da CMI do extrato em hexano de *C.*
 1437 *weissflogii* frente a cinco isolados clínicos e para a cepa padrão ATCC 19606,
 1438 bem como o perfil de sensibilidade de cada isolado. Analisando os resultados,
 1439 podemos observar que o extrato em hexano apresentou melhor atividade frente
 1440 ao isolado clínico 1, com CMI de 0,2mg/mL, enquanto frente a cepa padrão e os
 1441 isolados clínicos 2 e 5 apresentaram CMI de 0,4 mg/mL. Interessantemente, o
 1442 isolado 5 que pode ser considerado multidroga resistente, uma vez que
 1443 apresenta resistência a três classes de antibióticos testadas, foi sensível a
 1444 atividade do extrato em hexano de *C. weissflogii*. Por outro lado, dois isolados (3
 1445 e 4) não foram susceptíveis a nenhuma das concentrações do extrato avaliada.

1446 **Tabela 2.** Concentração Mínima Inibitória e perfil de sensibilidade dos isolados
 1447 avaliados frente a três classes de antibióticos e ao extrato em hexano de *C.*
 1448 *weissflogii* (mg/mL)

Isolado Clínico	Extrato hexânico	Amicacina	Ceftazidima	Ciprofloxacina	Perfil de sensibilidade aos antibióticos
1	0,2	0,016	>0,032	>0,032	R
2	0,4	0,032	>0,032	>0,032	R
3	Inativo	0,032	>0,032	>0,032	R
4	Inativo	0,016	>0,032	0,008	R
5	0,4	0,064	>0,032	>0,032	MDR
ATCC	0,4	0,004	>0,032	0,0005	S

1449 Pontos de corte dos antibióticos em relação a sensibilidade (S) e resistência (R): são
 1450 considerados sensíveis isolados que expostos a amicacina apresentem CMI ≤ 0,016 e
 1451 resistentes, com CMI ≥ 0,064; para ceftazidima: sensível com CMI ≤ 0,008 e resistente com CMI
 1452 ≥ 0,032; e ciprofloxacina, sensível com CMI ≤ 0,001 e resistente com CMI ≥ 0,004. São
 1453 considerados microrganismos multidroga resistentes (MDR) aqueles resistentes a três ou mais
 1454 classes de antimicrobianos testados.

1455

1456 **Citotoxicidade e Determinação do Índice de Seletividade**

1457
1458 Foram avaliadas, as citotoxicidades dos extratos frente a células animais
1459 isoladas, sendo possível observar que a linhagem de fibroblastos manteve 50%
1460 da viabilidade quando exposto a diferentes concentrações dos diferentes
1461 extratos produzidos (entre 0,8 e 0,17 mg/mL), conforme apresentado na Tabela
1462 3. O extrato que apresentou maior toxicidade (menor IC⁵⁰) foi o em acetona, o
1463 qual, também, não apresentou atividade frente *A. baumannii*.

1464 **Tabela 3.** Concentração em que o extrato de *C. wessflogii* foi capaz de manter
1465 a viabilidade de 50% das células (IC⁵⁰) – fibroblastos (VERO) -, após 24 horas
1466 de incubação, expressas em mg/mL.

Extratos	IC ₅₀ frente a linhagem celular VERO
Metanol	>0,8
Acetona	0,17
Acetato de etila	>0,8
Diclorometano	0,66
Cloroformio	>0,8
Hexano	>0,8

1467

1468 A partir destes resultados foi avaliado o Índice de seletividade (IS),
1469 obtendo-se os resultados apresentados a seguir na tabela 4.

1470 **Tabela 4.** Índice de seletividade (IS) calculado através da razão entre
1471 concentração inibitória de cada extrato de *C. weissflogii* obtida pelo ensaio de
1472 citotoxicidade (IC₅₀) em células VERO e frente a cepa padrão de *A. baumannii*
1473 (CMI) (IC⁵⁰/CMI). ND: Não determinado, pela inatividade do extrato frente a
1474 espécie *A. baumannii*.

Extratos de <i>Conticriba weissflogii</i>	IS (IC ₅₀ / CMI)
Metanol	ND
Acetona	ND
Acetato de Etila	ND
Diclorometano	ND
Cloroformio	ND
Hexano	>2

1475

1476 Considerando que todos os extratos foram inativos frente a cepa ATCC
1477 utilizada nesse estudo, foi possível avaliar o índice de seletividade apenas para

1478 o extrato em hexano, o qual, parece estar dentro dos parâmetros aceitáveis
1479 como farmacologicamente seguros, segundo o proposto por (ORME, 2001).

1480 Desta forma, os ensaios que se seguem foram realizados apenas com o
1481 extrato em hexano, garantindo a atividade antimicrobiana e mantendo a
1482 viabilidade celular, o que favorece seu uso tanto como potencial candidato a
1483 fármaco, para administração oral ou de uso tópico, para o tratamento das
1484 infecções causadas por *A. baumannii* mas também como biocida para o
1485 tratamento de superfícies hospitalares potencialmente contaminadas.

1486

1487 **Avaliação de Sinergismo por método de microdiluição em caldo:
1488 checkerboard**

1489 Considerando a atividade antimicrobiana encontrada para isolados
1490 clínicos resistentes aos principais fármacos utilizados na terapia de infecções
1491 causadas por *A. baumannii*, decidiu-se avaliar sua interação com dois desses
1492 importantes fármacos utilizando a técnica de *checkerboard*. A tabela 5 apresenta
1493 os resultados, demonstrando que não houve associação sinérgica entre o extrato
1494 em hexano e amicacina ou ciprofloxacina, porém, concentrações
1495 consideravelmente menores de extrato (0,05mg/mL) mantem a atividade da
1496 ciprofloxacina frente a cepa padrão de *A. baumannii*, demonstrando a falta de
1497 antagonismo e, consequentemente, a possibilidade de utilizar o extrato em uma
1498 terapia combinada sem prejuízo para os fármacos já disponíveis para o
1499 tratamento.

1500

1501 **Tabela 5.** Concentração mínima inibitória (CMI) e do índice de concentração
1502 inibitória fractionada (FICI) do extrato em hexano de *Conticribra weissflogii*
1503 associado a ciprofloxacina e amicacina frente *Acinetobacter baumannii* ATCC
1504 19606.

Composto	CMI (mg/mL)	CIP		AMI	
		CMI CW combinado/ CIP combinado (mg/mL)		FICI ^a (interação)	CMI CW combinado/ AMI combinado (mg/mL)
		CW	hexano		
CW hexano	0,4				
CIP	0,0005	0,05/0,0005		1,125(I)	0,4/0,004
AMI	0,004				2 (I)

1505 ^a índice de concentração inibitória fractionada. FICI ≤ 0.5: sinergismo (S); 0.5 < FICI ≤ 4:
1506 indiferença (I); FICI >4: antagonismo. CW: Extrato hexano de *Conticribra weissflogii*; CIP:
1507 ciprofloxacina; AMI: amicacina; CMI: concentração minima inibitória.

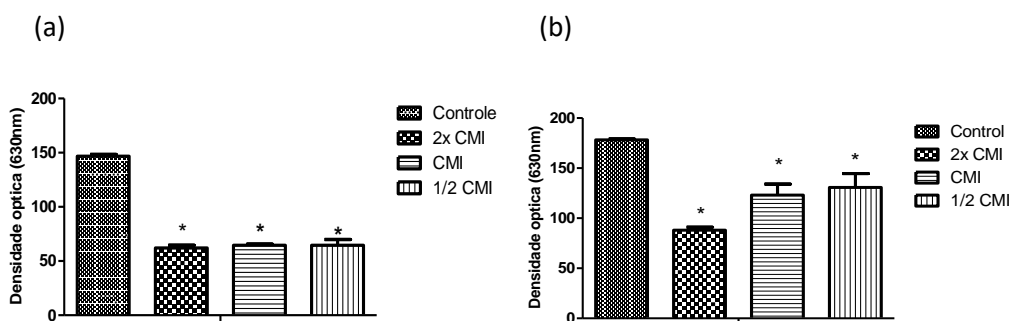
1508 **Atividade anti-biofilme**

1509 Considerando o potencial que *A. baumannii* tem em formar biofilmes
1510 microbianos, e que isso tem influenciado diretamente no seu *status* enquanto
1511 microrganismos resistentes, bem como, têm classificado essa bactéria como de
1512 difícil erradicação no ambiente hospitalar, esse estudo avaliou a atividade que o
1513 extrato em hexano poderia exercer na formação dessa estrutura polissacarídica,
1514 bem como, na destruição de estruturas pré-formadas, cujos resultados estão
1515 apresentados na Figura 4.

1516

1517

1518



1519

1520 **Figura 4.** Resultados obtidos nos ensaios utilizando diferentes concentrações do extrato
1521 em hexano de *Conticribra weissflogii* na inibição da formação de biofilme (a) e na
1522 destruição de biofilmes pré-formados (b) de *Acinetobacter baumannii*. * representa os
1523 grupos com significância utilizando ANOVA de uma via com Bonferroni como pós-teste
1524 ($p<0,05$), todos avaliados em relação ao controle.

1525 Considerando que a cepa padrão de *A. baumannii* é forte produtora de
1526 biofilme, todos as concentrações avaliadas (0,2, 0,4 e 0,8 mg/mL) foram capazes
1527 de reduzir significativamente, em até 57%, a formação de biofilme após 24hs de
1528 exposição ($p< 0,0001$). Somado a isso, as mesmas concentrações foram
1529 capazes de destruir o biofilme bacteriano em até 50% ($p< 0,0008$), quando
1530 comparado ao controle sem exposição.

1531

1532 **DISCUSSÃO**

1533 Nesse estudo, foi avaliado pela primeira vez a atividade antimicrobiana de
1534 extratos da microalga *Conticribra weissflogii* frente *Acinetobacter baumannii*.
1535 Desta forma, diferentes extratos foram produzidos a fim de avaliar diversos
1536 metabólitos de diferentes polaridades em relação a atividade anti-*Acinetobacter*,
1537 obtendo-se atividade antimicrobiana apenas no extrato mais apolar avaliado
1538 (extrato em hexano), o qual foi também o que apresentou menor rendimento
1539 durante o preparo.

1540 Além disso, os isolados utilizados no estudo eram resistentes a duas ou
1541 mais classes de antimicrobianos e, mesmo assim, o extrato em hexano

apresentou atividade a três destes e a uma cepa padrão ATCC, com concentrações que variaram de 0,4 a 0,2mg/mL. Além disso, o extrato em hexano apresentou valor de IC₅₀ superior a 0,8mg/ml quando testado com células VERO, demonstrando que estes constituintes contribuem para a atividade antimicrobiana contra bactérias patogênicas e com baixa toxicidade em células isoladas.

O índice de seletividade (IS) de novos compostos reflete a segurança farmacológica destes, para dar continuidade as próximas etapas de desenvolvimento de um novo fármaco, sendo que valores iguais ou superiores a 10 são considerados promissores. Mesmo obtendo-se um IS superior a 2 para o extrato em hexano, uma vez que não foi possível determinar especificamente o IC⁵⁰. Portanto, acreditamos que futuros experimentos, aumentando as concentrações avaliadas e isolando o(s) princípio(s) ativo(s), poderão favorecer a estimativa deste índice, uma vez que bioatividades de extratos brutos tendem a ser o conjunto sinérgico ou antagônico de diferentes substâncias que ao serem isoladas poderão ter sua atividade potencializada ou reduzida (BELLIO et al. 2021).

A diatomácea *C. weissfloggi* já havia sido caracterizada anteriormente por nosso grupo, através de ensaios com ¹H HR-MAS- NMR, demonstrando um perfil constituído por ácidos graxos mono e poliinsaturados (CAPRARÁ et al. 2023), podendo eles serem os responsáveis por conferir a atividade antibacteriana do extrato, uma vez que os compostos lipídicos também foram evidenciados em nosso estudo, através das análises de ¹H-RMN do extrato em hexano.

Estudos anteriores, tem evidenciado que ácidos graxos de cadeia curta tem apresentado espectro de atividade associado a Gram negativas, e que ésteres de sacarose, bem como a isomeria e insaturação poderiam aumentar a atividade frente a esses microrganismos (MCGAW et al. 2002; RAMOS et al. 2022), mesmo assim, mais estudos, são necessários afim de elucidar os mecanismos pelos quais esses ácidos graxos atuam frente a esses patógenos, uma vez que tem sido evidenciado que isoladamente esses ácidos graxos parecem perder a atividade que apresentavam quando estavam presentes como componentes majoritários de extratos de plantas e organismos marinhos (ALVES et al. 2020)

Diferentes autores têm proposto que a combinação de diversos compostos fitoquímicos e extratos de produtos naturais contendo alta concentração de lipídeos, podem não só atuar em sinergismos com antibióticos, como reduzir significativamente os valores das concentrações mínimas inibitórias dos mesmos, provavelmente, pelo aumento da permeabilidade aos antimicrobianos promovida pela sua interação com os ácidos graxos (DESBOIS et al., 2008; DESBOIS; LAWLOR, 2013; FINDLAY et al. 1984).

1582 O potencial antioxidante já amplamente descrito entre as microalgas
1583 (SANSONE; BRUNET, 2019), foi avaliado, estabelecendo uma relação de dose-
1584 dependência para estabelecimento do fenômeno. Além disso, os resultados
1585 demonstram que quanto maior a polaridade do extrato menor o potencial
1586 antioxidante deles. Cabe destacar que o extrato em hexano apresentou
1587 características mais pró-oxidantes podendo ser esse um dos mecanismos
1588 relacionados a atividade antibacteriana do extrato (DESBOIS et al. 2008;
1589 MCGAW et al. 2002).

1590 A formação de biofilmes pode ser fonte de infecções nosocomiais e se
1591 tornar um impedimento para o tratamento de várias doenças. Sendo o
1592 desenvolvimento de substâncias que apresentem não somente propriedade
1593 antimicrobianas, mas que também atuem contra biofilmes de suma importância.
1594 Em nosso estudo foi avaliada o potencial de inibição e destruição de biofilme. O
1595 extrato em hexano foi capaz de inibir e destruir a formação de biofilme de *A.*
1596 *baumannii*. Estudos têm proposto que ácidos graxos como os ésteres de
1597 sacarose podem atuar como surfactantes não iônicos, o que poderia ter
1598 colaborado para a excelente atividade anti-biofilme encontrada em nosso estudo
1599 (CASILLAS-VARGAS et al. 2021; YOON et al. 2015; ZANG et al. 2021)

1600 Nicol et al. (2018) avaliaram lipídeos potenciais inibidores do mecanismo
1601 de regulação da expressão gênica em resposta a densidade populacional no
1602 *quórum sensing* em *A. baumannii*, demonstrando um potencial inibidor da
1603 formação de biofilme de 38% e 24%, para cada ácido graxo respectivamente,
1604 além de reduzir drasticamente a motilidade do microrganismo, mesmo sem
1605 interferir diretamente no crescimento microbiano quando as células estavam
1606 suspensas (NICOL et al. 2018)

1607 Outra questão bastante importante, relacionada diretamente ao aumento
1608 de morbi-mortalidade das infecções causadas por *A. baumannii* é sua
1609 capacidade de emergir como um patógeno resistente a diversos antibióticos,
1610 porém, um estudo recente (NICOL et al., 2018) destacou que os ácidos graxos
1611 exógenos parecem atuar reduzindo as taxas de desenvolvimento de resistência
1612 em *A. baumannii*, corroborando com o papel dos extratos apolares, ricos em
1613 ácidos graxos com potencial frente a patógenos hospitalares, e atuando em
1614 diversos mecanismos relacionados a sua manutenção como prioritários e críticos
1615 pela organização mundial da saúde (GOPAL et al. 2014; KRZYŚCIAK et al. 2017;
1616 PELEG et al. 2008)

1617 Finalmente considerando o potencial patogênico de *A. baumannii* sendo a
1618 produção de biofilme um dos principais mecanismos de resistência
1619 especialmente em infecções nosocomiais, o uso desses compostos, para a
1620 inibição da produção de biofilme ou destruição dele, como um potencial
1621 candidato a fármaco ou agente biocida poderia favorecer a redução de casos
1622 graves. Além disso, são escassos os estudos que avaliam e validam novos
1623 compostos biocidas que possam contribuir para a eliminação destes

1624 microrganismos em superfícies abióticas tais como respiradores, cateteres e
1625 outros.

1626 Sendo assim, considerando que as microalgas são excelentes produtoras
1627 de lipídeos e com os resultados obtidos em nosso estudo, consideramos que a
1628 diatomácea *C.weisfloggii* pode ser considerada como uma possível fonte
1629 promissora para o desenvolvimento de alternativas, principalmente no combate
1630 a essas estruturas dos biofilmes.

1631

1632

1633

1634

1635

1636

1637

1638

1639

1640

1641

1642

1643

1644

1645

1646

1647

1648

1649

1650

1651

1652

1653

1654

1655 **REFERÊNCIAS**

- 1656 ALVES, E. et al. **Antimicrobial lipids from plants and marine organisms: An**
1657 **overview of the current state-of-the- art and future prospects.**
1658 **Antibiotics** MDPI AG, , 1 ago. 2020.
- 1659 AMIGUET, V. T. et al. Antibacterial properties of a glycolipid-rich extract and
1660 active principle from Nunavik collections of the macroalgae *Fucus evanescens*
1661 C. Agardh (Fucaceae). **Canadian Journal of Microbiology**, v. 57, n. 9, p. 745–
1662 749, set. 2011.
- 1663 ARAUJO, G. S. et al. Bioprospecting for oil producing microalgal strains:
1664 Evaluation of oil and biomass production for ten microalgal strains. **Bioresource**
1665 **Technology**, v. 102, n. 8, p. 5248–5250, 2011.
- 1666 ARRIADA, A. A.; ABREU, P. C. **NANNOCHLOROPSIS OCULATA GROWTH IN**
1667 **PRODUCED WATER: AN ALTERNATIVE FOR MASSIVE MICROALGAE**
1668 **BIOMASS PRODUCTION.** **Brazilian Journal of Petroleum and Gas**, 2014.
- 1669 AZIZAN, A. et al. Metabolite profiling of the microalgal diatom *chaetoceros*
1670 *calcitrans* and correlation with antioxidant and nitric oxide inhibitory Activities via
1671 **1H NMR-Based Metabolomics.** **Marine Drugs**, 2018.
- 1672 BELLIO, P. et al. New and simplified method for drug combination studies by
1673 checkerboard assay. **MethodsX**, v. 8, 1 jan. 2021.
- 1674 BENOIST, L. et al. In-Depth in silico search for cuttlefish (*Sepia officinalis*)
1675 antimicrobial peptides following bacterial challenge of haemocytes. **Marine**
1676 **Drugs**, v. 18, n. 9, 2020.
- 1677 BERDI, J. J. 58(1): 1–26, 2005. **Journal of Antibiotics. Antibiotics**, v. 58, n. 1,
1678 p. 1–26, 2005.
- 1679 BERGMANN, W.; FEENEYZ, R. J. Communications to the Editor The Isolation
1680 of a New Thymine Pentoside from Sponges. **72**, n. 1, p. 2809–2810, 1950.
- 1681 BERGOGNE-BÉRÉZIN, E.; TOWNER, K. J. Acinetobacter spp. as nosocomial
1682 pathogens: microbiological, clinical, and epidemiological features. **Clinical**
1683 **Microbiology Reviews**, v. 9, n. 2, p. 148–165, 1996.
- 1684 BHOWMICK, S. et al. Algal metabolites: An inevitable substitute for antibiotics.
1685 **Biotechnology Advances**, v. 43, n. November 2019, 2020.
- 1686 BORGES, L. et al. Effects of flocculants on lipid extraction and fatty acid
1687 composition of the microalgae *Nannochloropsis oculata* and *Thalassiosira*
1688 *weissflogii*. **Biomass and Bioenergy**, v. 35, n. 10, p. 4449–4454, 2011.
- 1689 BORGES, L. et al. Effect of harvesting processes on the lipid yield and fatty acid
1690 profile of the marine microalga *Nannochloropsis oculata*. **Aquaculture Reports**,
1691 2016.
- 1692 BORGES, L. DO V. et al. Potencial de absorção de carbono por espécies de
1693 microalgas usadas na aquicultura: primeiros passos para o desenvolvimento de

- 1694 um “mecanismo de desenvolvimento limpo”. **Atlântica (Rio Grande)**, v. 29, n. 1,
1695 p. 35–46, 2007.
- 1696 BOROWITZKA, M. A. High-value products from microalgae-their development
1697 and commercialisation. **Journal of Applied Phycology**, v. 25, n. 3, p. 743–756,
1698 2013.
- 1699 BOUVET, P. J. M.; GRIMONT, P. A. D. Taxonomy of the genus *Acinetobacter*
1700 with the recognition of *Acinetobacter baumannii* sp., *Acinetobacter haemolyticus*
1701 sp., *Acinetobacter johnsonii* sp., and *Acinetobacter junii* sp. and emended
1702 descriptions of *Acinetobacter calcoaceticus* and *Acinetobacter Iwoffii*.
1703 **International Journal of Systematic Bacteriology**, v. 36, n. 2, p. 228–240,
1704 1986.
- 1705 CAMPOS, V. B.; BARBARINO, E.; LOURENÇO, S. DE O. Crescimento e
1706 composição química de dez espécies de microalgas marinhas em cultivos
1707 estanques. **Ciencia Rural**, v. 40, n. 2, p. 339–347, 2010.
- 1708 CAPRARÀ, C. DA S. C. et al. Application of ^1H HR-MAS NMR-Based Metabolite
1709 Fingerprinting of Marine Microalgae. **Metabolites**, v. 13, n. 2, 1 fev. 2023.
- 1710 CARVALHO, L. G.; PEREIRA, L. Review of marine algae as source of bioactive
1711 metabolites: A marine biotechnology approach. **Marine Algae: Biodiversity,**
1712 **Taxonomy, Environmental Assessment, and Biotechnology**, n. April, p. 195–
1713 227, 2014.
- 1714 CASILLAS-VARGAS, G. et al. **Antibacterial fatty acids: An update of possible
1715 mechanisms of action and implications in the development of the next-
1716 generation of antibacterial agents.** *Progress in Lipid Research* Elsevier Ltd, ,
1717 1 abr. 2021.
- 1718 CHEN, H. et al. Microalgal biofuel revisited: An informatics-based analysis of
1719 developments to date and future prospects. **Applied Energy**, v. 155, p. 585–598,
1720 2015.
- 1721 COUTO, C. et al. Optimization of a low-cost fertilizer-based medium for large-
1722 scale cultivation of the coastal diatom *Conticribra weissflogii* using response
1723 surface methodology and its effects on biomass composition. **Journal of Applied**
1724 **Phycology**, v. 33, n. 5, p. 2767–2781, 1 out. 2021.
- 1725 DA ROSA, M. D. H. et al. **Macroalgae and Microalgae Biomass as Feedstock
1726 for Products Applied to Bioenergy and Food Industry: A Brief Review.**
1727 **Energies** MDPI, 1 fev. 2023.
- 1728 DE FREITAS COÊLHO, D. et al. Microalgae: Cultivation aspects and bioactive
1729 compounds. **Brazilian Archives of Biology and Technology**, v. 62, 2019.
- 1730 DE JESUS RAPOSO, M. F.; DE MORAIS, R. M. S. C.; DE MORAIS, A. M. M. B.
1731 Health applications of bioactive compounds from marine microalgae. **Life
1732 Sciences**, v. 93, n. 15, p. 479–486, 2013.

- 1733 DE MOURA, R. R. et al. Microwave-Assisted Extraction of Lipids from Wet
1734 Microalgae Paste: A Quick and Efficient Method. **European Journal of Lipid**
1735 **Science and Technology**, 2018.
- 1736 DERNER, R. B. Efeito de fontes de Carbono no crescimento e na composição
1737 bioquímica das microalgas *Chaetoceros muelleri* e *Thalassiosira fluviatilis*, com
1738 ênfase no teor de ácidos graxos poliinsaturados. p. 158, 2006.
- 1739 DESBOIS, A. P. et al. Isolation and structural characterisation of two antibacterial
1740 free fatty acids from the marine diatom, *Phaeodactylum tricornutum*. **Applied**
1741 **Microbiology and Biotechnology**, v. 81, n. 4, p. 755–764, dez. 2008.
- 1742 DESBOIS, A. P.; LAWLOR, K. C. Antibacterial activity of long-chain
1743 polyunsaturated fatty acids against *Propionibacterium acnes* and *Staphylococcus*
1744 *aureus*. **Marine Drugs**, v. 11, n. 11, p. 4544–4557, 2013.
- 1745 DESRIAC, F. et al. Alterins Produced by Oyster-Associated *Pseudoalteromonas*
1746 Are Antibacterial Cyclolipopeptides with LPS-Binding Activity. **Marine Drugs**, v.
1747 18, n. 12, 1 dez. 2020.
- 1748 DIAS, D. A.; URBAN, S.; ROESSNER, U. **A Historical overview of natural**
1749 **products in drug discovery**. **Metabolites**, 2012.
- 1750 FALLAH, K. N. **The Effects of Combination Antibiotic Therapy on Methicillin-**
1751 **Resistant *Staphylococcus aureus***. [s.l: s.n.].
- 1752 FENICAL, DR. C. C. H. AND PROF. W. Antibacterials from the Sea. **Bone**, v. 23,
1753 n. 1, 2010.
- 1754 FINDLAY, J. A.; PATIL, A. D. **ANTIBACTERIAL CONSTITUENTS OF THE**
1755 **DIATOM NAVICULA DELOGNEI****Journal of Natural Products Val**. [s.l: s.n.].
- 1756 FOURNIER, P. E.; RICHET, H. The epidemiology and control of *Acinetobacter*
1757 *baumannii* in health care facilities. **Clinical Infectious Diseases**, v. 42, n. 5, p.
1758 692–699, 2006.
- 1759 FOURNIER, P. E.; RICHET, H. **The Epidemiology and Control of**
1760 ***Acinetobacter baumannii* in Health Care Facilities Downloaded fromClinical**
1761 **Infectious Diseases**. [s.l: s.n.]. Disponível em: <<http://cid.oxfordjournals.org/>>.
- 1762 GARCÍA, N. et al. Efecto de la salinidad en el crecimiento y composición química
1763 de la diatomea *Thalassiosira weissflogii* en tres fases de cultivo. **Latin American**
1764 **Journal of Aquatic Research**, v. 40, n. 2, p. 435–440, 2012.
- 1765 GARCÍA-DAVIS, S. et al. Antimycobacterial activity of laurinterol and aplysin from
1766 *Laurencia johnstonii*. **Marine Drugs**, v. 18, n. 6, 1 jun. 2020.
- 1767 GOMES, A. M. et al. Antitumor properties of a new non-anticoagulant heparin
1768 analog from the mollusk *Nodipecten nodosus*: Effect on P-selectin, heparanase,
1769 metastasis and cellular recruitment. **Glycobiology**, v. 25, n. 4, p. 386–393, 2015.

- 1770 GONÇALVES-ARAUJO, R. et al. Brazil-Malvinas confluence: Effects of
1771 environmental variability on phytoplankton community structure. **Journal of**
1772 **Plankton Research**, v. 34, n. 5, p. 399–415, 2012.
- 1773 GOPAL, R. et al. Synergistic effects and antibiofilm properties of chimeric
1774 peptides against multidrug-resistant *Acinetobacter baumannii* strains.
1775 **Antimicrobial Agents and Chemotherapy**, v. 58, n. 3, p. 1622–1629, mar.
1776 2014.
- 1777 GUARNIERI, M. C. et al. Zoanthid mucus as new source of useful biologically
1778 active proteins. **Toxicon**, v. 143, p. 96–107, 2018.
- 1779 GUL, W.; HAMANN, M. T. Indole alkaloid marine natural products: An established
1780 source of cancer drug leads with considerable promise for the control of parasitic,
1781 neurological and other diseases. **Life Sciences**, v. 78, n. 5, p. 442–453, 2005.
- 1782 HABBU, P. et al. **Antimicrobial metabolites from marine microorganisms**.
1783 **Chinese Journal of Natural Medicines**, 2016.
- 1784 HALICKI, P. C. B. et al. Antibiofilm Potential of Arenecarbaldehyde 2-
1785 Pyridinylhydrazone Derivatives Against *Acinetobacter baumannii*. **Microbial**
1786 **Drug Resistance**, v. 00, n. 00, p. 1–8, 2019.
- 1787 HALICKI, P. C. B. et al. Antibiofilm Potential of Arenecarbaldehyde 2-
1788 Pyridinylhydrazone Derivatives against *Acinetobacter baumannii*. **Microbial**
1789 **Drug Resistance**, v. 26, n. 12, p. 1429–1436, 1 dez. 2020.
- 1790 HAMIDI, M. et al. Recent Patents and Discovery of Anti-inflammatory Agents from
1791 Marine Source. **Marine Drugs**, v. 14, n. 1, p. 1–20, 2016.
- 1792 HARDING, C. M.; HENNON, S. W.; FELDMAN, M. F. Uncovering the
1793 mechanisms of *Acinetobacter baumannii* virulence. **Nature Reviews**
1794 **Microbiology**, v. 16, n. 2, p. 91–102, 2018.
- 1795 HARUN, R. et al. **Bioprocess engineering of microalgae to produce a variety**
1796 **of consumer products**. **Renewable and Sustainable Energy Reviews**, 2010.
- 1797 HOLMES, A. H. et al. Understanding the mechanisms and drivers of antimicrobial
1798 resistance. **The Lancet**, v. 387, n. 10014, p. 176–187, 2016.
- 1799 HOWARD, A. et al. *Acinetobacter baumannii* An emerging opportunistic
1800 pathogen. **Virulence**, v. 3, n. 3, p. 5, 2012.
- 1801 ISHIDA, Y. et al. A highly CO₂-tolerant diatom, *Thalassiosira weissflogii* H1,
1802 enriched from coastal sea, and its fatty acid composition. **Fisheries Science**, v.
1803 66, n. 4, p. 655–659, 2000.
- 1804 KANASE, H. R.; SINGH, K. N. M. Marine pharmacology: Potential, challenges,
1805 and future in India. **Journal of Medical Sciences (Taiwan)**, v. 38, n. 2, p. 49–
1806 53, 2018.

- 1807 KARAMAN, I. et al. Antimicrobial activity of aqueous and methanol extracts of
1808 Juniperus oxycedrus L. **Journal of Ethnopharmacology**, v. 85, n. 2–3, p. 231–
1809 235, 2003.
- 1810 KIJJOA, A.; SAWANGWONG, P. Drugs and Cosmetics from the Sea. **Marine**
1811 **Drugs**, v. 2, n. 2, p. 73–82, 2004.
- 1812 KLEIN BRETELER, W. C. M.; SCHOGT, N.; RAMPEN, S. Effect of diatom
1813 nutrient limitation on copepod development: Role of essential lipids. **Marine**
1814 **Ecology Progress Series**, v. 291, p. 125–133, 2005.
- 1815 KOZLOWSKI, E. O.; PAVAO, M. S. G.; BORSIG, L. Ascidian dermatan sulfates
1816 attenuate metastasis, inflammation and thrombosis by inhibition of P-selectin.
1817 **Journal of Thrombosis and Haemostasis**, v. 9, n. 9, p. 1807–1815, 2011.
- 1818 KRZYŚCIAK, P. et al. *Acinetobacter baumannii* isolated from hospital-acquired
1819 infection: biofilm production and drug susceptibility. **Apmis**, v. 125, n. 11, p.
1820 1017–1026, 2017.
- 1821 KURIHARA, M. N. L. et al. Multidrug-resistant *Acinetobacter baumannii*
1822 outbreaks: a global problem in healthcare settings. **Revista da Sociedade**
1823 **Brasileira de Medicina Tropical**NLM (Medline), 2020.
- 1824 KYRIAKIDIS, I. et al. *Acinetobacter baumannii* antibiotic resistance
1825 mechanisms. **Pathogens**MDPI AG, 1 mar. 2021.
- 1826 LABARCA, J. A. et al. Carbapenem resistance in *Pseudomonas aeruginosa*
1827 and *Acinetobacter baumannii* in the nosocomial setting in Latin America.
1828 **Critical Reviews in Microbiology**Taylor and Francis Ltd, 3 mar. 2016.
- 1829 LAURITANO, C. et al. First identification of marine diatoms with anti-tuberculosis
1830 activity. **Scientific Reports**, 2018.
- 1831 LEE, C. R. et al. Biology of *Acinetobacter baumannii*: Pathogenesis, antibiotic
1832 resistance mechanisms, and prospective treatment options. **Frontiers in**
1833 **Cellular and Infection Microbiology**, v. 7, n. MAR, 2017.
- 1834 LESSEL, E. F. International Committee on Nomenclature of Bacteria
1835 Subcommittee on the Taxonomy of Moraxella and Allied Bacteria: Minutes of the
1836 Meeting, 11 August 1970. Room Constitution C, Maria-Isabel Hotel, Mexico City,
1837 Mexico. **International Journal of Systematic Bacteriology**, v. 21, n. 2, p. 213–
1838 214, 1971.
- 1839 LEWIS, K. Persister cells, dormancy and infectious disease. **Nature Reviews**
1840 **Microbiology**, v. 5, n. 1, p. 48–56, 2007.
- 1841 LIN, M. F. et al. Role of the BaeSR two-component system in the regulation of
1842 *Acinetobacter baumannii* adeAB genes and its correlation with tigecycline
1843 susceptibility. **BMC Microbiology**, v. 14, n. 1, p. 1–12, 2014.
- 1844 MACHADO, A. A. DE S. et al. Effects of zinc on in vivo fluorescence, chlorophyll
1845 a and growth of the diatom *Conticribra weissflogii* (*Thalassiosirales*,

- 1846 *Thalassiosiraceae*). **Pan-American Journal of Aquatic Sciences**, v. 9, n. 4, p.
1847 278–287, 2014.
- 1848 MALVIYA, S. et al. Insights into global diatom distribution and diversity in the
1849 world's ocean. **Proceedings of the National Academy of Sciences of the**
1850 **United States of America**, v. 113, n. 11, p. E1516–E1525, 15 mar. 2016.
- 1851 MANSOUR, M. P. et al. Lipid and fatty acid yield of nine stationary-phase
1852 microalgae: Applications and unusual C24-C28 polyunsaturated fatty acids.
1853 **Journal of Applied Phycology**, v. 17, n. 4, p. 287–300, 2005.
- 1854 MARELLA, T. K.; TIWARI, A. Marine diatom *Thalassiosira weissflogii* based
1855 biorefinery for co-production of eicosapentaenoic acid and fucoxanthin.
1856 **Bioresource Technology**, v. 307, 1 jul. 2020.
- 1857 MARQUES, J. et al. Marine organism sulfated polysaccharides exhibiting
1858 significant antimalarial activity and inhibition of red blood cell invasion by
1859 *Plasmodium*. **Scientific Reports**, v. 6, n. April, p. 1–14, 2016.
- 1860 MARSTON, H. D. et al. Antimicrobial resistance. **JAMA - Journal of the**
1861 **American Medical Association**, v. 316, n. 11, p. 1193–1204, 2016.
- 1862 MARTIN-JÉZÉQUEL, V.; HILDEBRAND, M.; BRZEZINSKI, M. A. Avance-
1863 Jocelinedavila. **Journal Phycology**, v. 36, n. May, p. 821–840, 2000.
- 1864 MARTINS, A. et al. Marketed marine natural products in the pharmaceutical and
1865 cosmeceutical industries: Tips for success. **Marine Drugs**, v. 12, n. 2, p. 1066–
1866 1101, 2014.
- 1867 MARTINS, R. M. et al. Macroalgae extracts from Antarctica have antimicrobial
1868 and anticancer potential. **Frontiers in Microbiology**, v. 9, n. MAR, 8 mar. 2018.
- 1869 MAYER, A. M. S.; HAMANN, M. T. Marine pharmacology in 2001-2002: Marine
1870 compounds with anthelmintic, antibacterial, anticoagulant, antidiabetic,
1871 antifungal, anti-inflammatory, antimalarial, antiplatelet, antiprotozoal,
1872 antituberculosis, and antiviral activities; Affecting the cardiovas. **Comparative**
1873 **Biochemistry and Physiology - C Toxicology and Pharmacology**, v. 140, n.
1874 3–4, p. 265–286, 2005.
- 1875 MCCONNELL, M. J.; ACTIS, L.; PACHÓN, J. *Acinetobacter baumannii*: Human
1876 infections, factors contributing to pathogenesis and animal models. **FEMS**
1877 **Microbiology Reviews**, v. 37, n. 2, p. 130–155, 2013.
- 1878 MCGAW, L. J.; JÄGER, A. K.; VAN STADEN, J. **Antibacterial effects of fatty**
1879 **acids and related compounds from plants**. **South African Journal of Botany**
1880 National Research Foundation.2002.
- 1881 MIETHKE, M. et al. **Towards the sustainable discovery and development of**
1882 **new antibiotics**. **Nature Reviews Chemistry** Nature Research, 1 out. 2021.
- 1883 MOURÃO, P. A. S. Perspective on the use of sulfated polysaccharides from
1884 marine organisms as a source of new antithrombotic drugs. **Marine Drugs**, v. 13,
1885 n. 5, p. 2770–2784, 2015.

- 1886 MULANI, M. S. et al. Emerging strategies to combat ESKAPE pathogens in the
1887 era of antimicrobial resistance: A review. **Frontiers in Microbiology**, v. 10, n.
1888 APR, 2019.
- 1889 MULVEY, M. R.; SIMOR, A. E. Antimicrobial resistance in hospitals: How
1890 concerned should we be? **Cmaj**, v. 180, n. 4, p. 408–415, 2009.
- 1891 NEMEC, A. et al. Genotypic and phenotypic characterization of the *Acinetobacter*
1892 *calcoaceticus*-*Acinetobacter baumannii* complex with the proposal of
1893 *Acinetobacter pittii* sp. nov. (formerly *Acinetobacter genomic species 3*) and
1894 *Acinetobacter nosocomialis* sp. nov. (formerly *Acinetobacter genomic species*
1895 13TU). **Research in Microbiology**, v. 162, n. 4, p. 393–404, 2011.
- 1896 NEWMAN, D. J.; CRAGG, G. M. **Natural Products as Sources of New Drugs**
1897 from 1981 to 2014. **Journal of Natural Products**, 2016.
- 1898 NEWMAN, D. J.; CRAGG, G. M. Natural Products as Sources of New Drugs over
1899 the Nearly Four Decades from 01/1981 to 09/2019. **Journal of Natural**
1900 **Products**, v. 83, p. 770–803, 2020.
- 1901 NICOL, M. et al. Unsaturated fatty acids affect quorum sensing communication
1902 system and inhibit motility and biofilm formation of *Acinetobacter baumannii*.
1903 **International Journal of Molecular Sciences**, v. 19, n. 1, 10 jan. 2018.
- 1904 NOCERA, F. P.; ATTILI, A. R.; DE MARTINO, L. ***Acinetobacter baumannii*: Its**
1905 **clinical significance in human and veterinary medicine**. **Pathogens**MDPI
1906 AG, 1 fev. 2021.
- 1907 ODDS, F. C. **Synergy, antagonism, and what the chequerboard puts**
1908 **between them**. **Journal of Antimicrobial Chemotherapy** Oxford University
1909 Press, 1 jul. 2003.
- 1910 OHSE, S. et al. Crescimento de microalgas em sistema autotrófi co estacionário
1911 Resumo Introdução. **Biotemas**, v. 21, n. 2, p. 7–18, 2008.
- 1912 OLAIZOLA, M. Commercial development of microalgal biotechnology: From the
1913 test tube to the marketplace. **Biomolecular Engineering**, v. 20, n. 4–6, p. 459–
1914 466, 2003.
- 1915 ORME, I. **Search for new drugs for treatment of tuberculosis**. **Antimicrobial**
1916 **Agents and Chemotherapy**, 2001.
- 1917 PELEG, A. Y.; SEIFERT, H.; PATERSON, D. L. ***Acinetobacter baumannii*:**
1918 **Emergence of a successful pathogen**. **Clinical Microbiology Reviews**, v. 21, n.
1919 3, p. 538–582, 2008.
- 1920 PENDLETON, J. N.; GORMAN, S. P.; GILMORE, B. F. Clinical relevance of the
1921 ESKAPE pathogens. **Expert Review of Anti-Infective Therapy**, v. 11, n. 3, p.
1922 297–308, 2013.
- 1923 PEREZ, F. et al. Global challenge of multidrug-resistant *Acinetobacter baumannii*.
1924 **Antimicrobial Agents and Chemotherapy**, v. 51, n. 10, p. 3471–3484, 2007.

- 1925 POWERS, J. H. Antimicrobial drug development - The past, the present, and the
1926 future. **Clinical Microbiology and Infection, Supplement**, v. 10, n. 4, p. 23–31,
1927 2004.
- 1928 PULZ, O.; GROSS, W. Valuable products from biotechnology of microalgae.
1929 **Applied Microbiology and Biotechnology**, v. 65, n. 6, p. 635–648, 2004.
- 1930 QI, L. et al. Relationship between antibiotic resistance, biofilm formation, and
1931 biofilm-specific resistance in *Acinetobacter baumannii*. **Frontiers in**
1932 **Microbiology**, v. 7, n. APR, 12 abr. 2016.
- 1933 RABIEE, N. et al. **Diatoms with invaluable applications in nanotechnology,**
1934 **biotechnology, and biomedicine: Recent advances**. ACS Biomaterials
1935 **Science and Engineering**American Chemical Society, 12 jul. 2021.
- 1936 RADCHENKO, I. G.; IL'YASH, L. V. Growth and photosynthetic activity of diatom
1937 *Thalassiosira weissflogii* at decreasing salinity. **Biology Bulletin**, v. 33, n. 3, p.
1938 242–247, 2006.
- 1939 RAMOS, D. F. et al. Chemical Profile and Antimicrobial Activity of the Marine
1940 Diatom *Chaetoceros muelleri*. **Chemistry and Biodiversity**, v. 19, n. 5, 1 maio
1941 2022.
- 1942 RICE, L. B. Federal funding for the study of antimicrobial resistance in nosocomial
1943 pathogens: No ESKAPE. **Journal of Infectious Diseases**, v. 197, n. 8, p. 1079–
1944 1081, 2008.
- 1945 ROTTER, A. et al. **The Essentials of Marine Biotechnology**. **Frontiers in**
1946 **Marine Science**Frontiers Media S.A., 16 mar. 2021.
- 1947 RUA, C. P. J. et al. Diversity and antimicrobial potential of culturable heterotrophic
1948 bacteria associated with the endemic marine sponge *Arenosclera brasiliensis*.
1949 **PeerJ**, v. 2014, n. 1, p. 1–14, 2014.
- 1950 SABDANINGSIH, A. et al. A new citrinin derivative from the Indonesian Marine
1951 Sponge-Associated Fungus *Penicillium citrinum*. **Marine Drugs**, v. 18, n. 4, 1 abr.
1952 2020.
- 1953 SANSONE, C.; BRUNET, C. Promises and challenges of microalgal antioxidant
1954 production. **Antioxidants**, v. 8, n. 7, 2019.
- 1955 SANTHOSH, S.; DHANDAPANI, R.; HEMALATHA, N. Bioactive compounds
1956 from Microalgae and its different applications- a review. **Advances in Applied**
1957 **Science Research**, v. 7, n. 4, p. 153–158, 2016.
- 1958 SAVAGE, N. The scum solution. **Nature**, p. 5–6, 2011.
- 1959 SCHINKE, C. et al. Antibacterial Compounds from Marine Bacteria, 2010-2015.
1960 **Journal of Natural Products**, v. 80, n. 4, p. 1215–1228, 2017.
- 1961 SCOPEL, M. et al. Dipeptide cis-cyclo(Leucyl-Tyrosyl) produced by sponge
1962 associated *Penicillium* sp. F37 inhibits biofilm formation of the pathogenic

- 1963 Staphylococcus epidermidis. **Bioorganic and Medicinal Chemistry Letters**, v. 23, n. 3, p. 624–626, 2013.
- 1965 SHARMA, N.; SHARMA, P. JOURNAL OF ADVANCES IN PLANT BIOLOGY
1966 Review Industrial and Biotechnological Applications of Algae: A Review. n. 1,
1967 2017.
- 1968 SHIN, B.; PARK, W. Antibiotic resistance of pathogenic *Acinetobacter* species
1969 and emerging combination therapy. **Journal of Microbiology**, v. 55, n. 11, p.
1970 837–849, 2017.
- 1971 SIRIJAN SANTAJIT; NITAYA INDRAWATTANA. Mechanisms of antimicrobial
1972 resistance in Pasteurellaceae. **PBioMed Research International**, v. 2016, n.
1973 1155, p. 1–8, 2016.
- 1974 SKARIYACHAN, S. et al. **Recent perspectives on the virulent factors and**
1975 **treatment options for multidrug-resistant *Acinetobacter baumannii*. Critical**
1976 **Reviews in Microbiology** Taylor and Francis Ltd, , 2019.
- 1977 SKROPETA, D.; WEI, L. Recent advances in deep-sea natural products. **Natural**
1978 **Product Reports**, v. 31, n. 8, p. 999–1025, 2014.
- 1979 SNEWIN, V. A. et al. Assessment of immunity to mycobacterial infection with
1980 luciferase reporter constructs. **Infection and Immunity**, v. 67, n. 9, p. 4586–
1981 4593, 1999.
- 1982 SOTO, S. M. **The Sea as a Source of Antibiotics**. [s.l: s.n.], v. 04
- 1983 STACHURA-SUCHOPLES, K.; WILLIAMS, D. M. Description of *Conticriba*
1984 *tricircularis*, a new genus and species of *Thalassiosirales*, with a discussion on
1985 its relationship to other continuous cribra species of *Thalassiosira* Cleve
1986 (*Bacillariophyta*) and its freshwater origin. **European Journal of Phycology**, v.
1987 44, n. 4, p. 477–486, 2009.
- 1988 TACCONELLI, E. et al. Discovery, research, and development of new antibiotics:
1989 the WHO priority list of antibiotic-resistant bacteria and tuberculosis. **The Lancet**
1990 **Infectious Diseases**, v. 18, n. 3, p. 318–327, 1 mar. 2018.
- 1991 THOMPSON, F. et al. Marine Biotechnology in Brazil: Recent Developments and
1992 Its Potential for Innovation. **Frontiers in Marine Science**, 2018.
- 1993 THUMMEEPAK, R. et al. Distribution of virulence genes involved in biofilm
1994 formation in multi-drug resistant acinetobacter Baumannii clinical isolates.
1995 **International Microbiology**, v. 19, n. 2, p. 121–129, 2016.
- 1996 TOVAR, A. M. F. et al. Structural and haemostatic features of pharmaceutical
1997 heparins from different animal sources: Challenges to define thresholds
1998 separating distinct drugs. **Scientific Reports**, v. 6, n. October, p. 1–12, 2016.
- 1999 VELLA, F. M. et al. Annual outdoor cultivation of the diatom *Thalassiosira*
2000 *weissflogii*: productivity, limits and perspectives. **Algal Research**, v. 42, n. May,
2001 p. 101553, 2019.

- 2002 VESTERGAARD, M. et al. Antibiotic combination therapy can select for broad-spectrum multidrug resistance in *Pseudomonas aeruginosa*. **International Journal of Antimicrobial Agents**, v. 47, n. 1, p. 48–55, 2016.
- 2005 VIRGINIA ARMBRUST, E. et al. **The Genome of the Diatom *Thalassiosira Pseudonana*: Ecology, Evolution, and Metabolism**. [s.l: s.n.]. Disponível em: <<http://science.sciencemag.org/>>.
- 2008 WATKINS, R. R.; BONOMO, R. A. **Overview: The Ongoing Threat of Antimicrobial Resistance**. *Infectious Disease Clinics of North America* W.B. Saunders,, 1 dez. 2020.
- 2011 WIJFFELS, R. H. Potential of sponges and microalgae for marine biotechnology. **Trends in Biotechnology**, v. 26, n. 1, p. 26–31, 2008.
- 2013 WONG, D. et al. Clinical and pathophysiological overview of *Acinetobacter* infections: A century of challenges. **Clinical Microbiology Reviews**, v. 30, n. 1, p. 409–447, 2017.
- 2016 YOON, B. K. et al. Spectrum of Membrane Morphological Responses to Antibacterial Fatty Acids and Related Surfactants. **Langmuir**, v. 31, n. 37, p. 10223–10232, 22 set. 2015.
- 2019 ZANG, M. et al. The Impact of Omega-3 Fatty Acids on the Evolution of *Acinetobacter baumannii* Drug Resistance. 2021.
- 2021
- 2022
- 2023
- 2024
- 2025
- 2026
- 2027
- 2028
- 2029
- 2030
- 2031
- 2032
- 2033

2034 **Conclusões**

- 2035 • Os metabólitos da diatomácea *C. weissflogii* foram caracterizados através
2036 de ensaios ^1H HR-MAS NMR demonstrando um perfil constituído
2037 principalmente por ácidos graxos mono e poliinsaturados;
- 2038 • Nesse estudo foram obtidos 6 extratos a partir da biomassa da
2039 diatomácea *C. weissflogii*, sendo o extrato em hexano o que teve o menor
2040 rendimento (1,7%).
- 2041 • O extrato em hexano através de análises de ^1H -RMN também
2042 demonstrou um perfil majoritariamente constituído por lipídeos;
- 2043 • O extrato em hexano foi o único extrato ativo frente a cepas *A. baumannii*
2044 apresentando CMI de 0,2 a 0,4mg/mL;
- 2045 • O extrato em hexano foi significativamente ativo inibindo e destruindo
2046 biofilmes bacterianos e foi indiferente a dois antimicrobianos já utilizados
2047 na terapia;
- 2048 • O extrato ativo demonstrou características pró-oxidantes, diferentemente
2049 dos mais polares onde observou-se atividade anti-oxidante de até 79%;
- 2050 • Os resultados do estudo mostraram que os metabólitos da diatomácea *C.*
2051 *weissflogii* podem ser considerados uma possível fonte para o
2052 desenvolvimento de alternativas no combate a importantes patógenos,
2053 especialmente, em infecções nosocomiais, onde poderia auxiliar
2054 reduzindo, significativamente, a manutenção destes microrganismos em
2055 biofilmes.

2056

2057

2058

2059

2060

2061

2062 **Referências**

- 2063 ALVES, E. et al. **Antimicrobial lipids from plants and marine organisms: An
2064 overview of the current state-of-the- art and future prospects.** *Antibiotics*
2065 MDPI AG, 1 ago. 2020.
- 2066 AMIGUET, V. T. et al. Antibacterial properties of a glycolipid-rich extract and
2067 active principle from Nunavik collections of the macroalgae *Fucus evanescens*
2068 C. Agardh (Fucaceae). **Canadian Journal of Microbiology**, v. 57, n. 9, p. 745–
2069 749, set. 2011.
- 2070 ARAUJO, G. S. et al. Bioprospecting for oil producing microalgal strains:
2071 Evaluation of oil and biomass production for ten microalgal strains. **Bioresource
2072 Technology**, v. 102, n. 8, p. 5248–5250, 2011.
- 2073 ARRIADA, A. A.; ABREU, P. C. NANNOCHLOROPSIS OCULATA GROWTH IN
2074 PRODUCED WATER: AN ALTERNATIVE FOR MASSIVE MICROALGAE
2075 BIOMASS PRODUCTION. **Brazilian Journal of Petroleum and Gas**, 2014.
- 2076 AZIZAN, A. et al. Metabolite profiling of the microalgal diatom *chaetoceros
2077 calcitrans* and correlation with antioxidant and nitric oxide inhibitory Activities via
2078 ¹H NMR-Based Metabolomics. **Marine Drugs**, 2018.
- 2079 BELLIO, P. et al. New and simplified method for drug combination studies by
2080 checkerboard assay. **MethodsX**, v. 8, 1 jan. 2021.
- 2081 BENOIST, L. et al. In-Depth in silico search for cuttlefish (*Sepia officinalis*)
2082 antimicrobial peptides following bacterial challenge of haemocytes. **Marine
2083 Drugs**, v. 18, n. 9, 2020.
- 2084 BERDI, J. J. 58(1): 1–26, 2005. **Journal of Antibiotics. Antibiotics**, v. 58, n. 1,
2085 p. 1–26, 2005.
- 2086 BERGMANN, W.; FEENEYZ, R. J. Communications to the Editor The Isolation
2087 of a New Thymine Pentoside from Sponges. **72**, n. 1, p. 2809–2810, 1950.
- 2088 BERGOGNE-BÉRÉZIN, E.; TOWNER, K. J. *Acinetobacter spp.* as nosocomial
2089 pathogens: microbiological, clinical, and epidemiological features. **Clinical
2090 Microbiology Reviews**, v. 9, n. 2, p. 148–165, 1996.
- 2091 BHOWMICK, S. et al. Algal metabolites: An inevitable substitute for antibiotics.
2092 **Biotechnology Advances**, v. 43, n. November 2019, 2020.
- 2093 BORGES, L. et al. Effects of flocculants on lipid extraction and fatty acid
2094 composition of the microalgae *Nannochloropsis oculata* and *Thalassiosira
2095 weissflogii*. **Biomass and Bioenergy**, v. 35, n. 10, p. 4449–4454, 2011.
- 2096 BORGES, L. et al. Effect of harvesting processes on the lipid yield and fatty acid
2097 profile of the marine microalga *Nannochloropsis oculata*. **Aquaculture Reports**,
2098 2016.
- 2099 BORGES, L. DO V. et al. Potencial de absorção de carbono por espécies de
2100 microalgas usadas na aquicultura: primeiros passos para o desenvolvimento de

- 2101 um “mecanismo de desenvolvimento limpo”. **Atlântica (Rio Grande)**, v. 29, n. 1,
2102 p. 35–46, 2007.
- 2103 BOROWITZKA, M. A. High-value products from microalgae-their development
2104 and commercialisation. **Journal of Applied Phycology**, v. 25, n. 3, p. 743–756,
2105 2013.
- 2106 BOUVET, P. J. M.; GRIMONT, P. A. D. Taxonomy of the genus *Acinetobacter*
2107 with the recognition of *Acinetobacter baumannii* sp. nov., *Acinetobacter*
2108 *haemolyticus* sp. nov., *Acinetobacter johnsonii* sp. nov., and *Acinetobacter junii*
2109 sp. nov. and emended descriptions of *Acinetobacter calcoaceticus* and
2110 *Acinetobacter lwoffii*. **International Journal of Systematic Bacteriology**, v. 36,
2111 n. 2, p. 228–240, 1986.
- 2112 CAMPOS, V. B.; BARBARINO, E.; LOURENÇO, S. DE O. Crescimento e
2113 composição química de dez espécies de microalgas marinhas em cultivos
2114 estanques. **Ciencia Rural**, v. 40, n. 2, p. 339–347, 2010.
- 2115 CAPRARÀ, C. DA S. C. et al. Application of ^1H HR-MAS NMR-Based Metabolite
2116 Fingerprinting of Marine Microalgae. **Metabolites**, v. 13, n. 2, 1 fev. 2023.
- 2117 CARVALHO, L. G.; PEREIRA, L. Review of marine algae as source of bioactive
2118 metabolites: A marine biotechnology approach. **Marine Algae: Biodiversity,**
2119 **Taxonomy, Environmental Assessment, and Biotechnology**, n. April, p. 195–
2120 227, 2014.
- 2121 CASILLAS-VARGAS, G. et al. **Antibacterial fatty acids: An update of possible
2122 mechanisms of action and implications in the development of the next-
2123 generation of antibacterial agents.** *Progress in Lipid Research* Elsevier Ltd, ,
2124 1 abr. 2021.
- 2125 CHEN, H. et al. Microalgal biofuel revisited: An informatics-based analysis of
2126 developments to date and future prospects. **Applied Energy**, v. 155, p. 585–598,
2127 2015.
- 2128 COUTO, C. et al. Optimization of a low-cost fertilizer-based medium for large-
2129 scale cultivation of the coastal diatom *Conticribra weissflogii* using response
2130 surface methodology and its effects on biomass composition. **Journal of Applied
2131 Phycology**, v. 33, n. 5, p. 2767–2781, 1 out. 2021.
- 2132 DA ROSA, M. D. H. et al. **Macroalgae and Microalgae Biomass as Feedstock
2133 for Products Applied to Bioenergy and Food Industry: A Brief Review.**
2134 *Energies* MDPI, , 1 fev. 2023.
- 2135 DE FREITAS COÊLHO, D. et al. Microalgae: Cultivation aspects and bioactive
2136 compounds. **Brazilian Archives of Biology and Technology**, v. 62, 2019.
- 2137 DE JESUS RAPOSO, M. F.; DE MORAIS, R. M. S. C.; DE MORAIS, A. M. M. B.
2138 Health applications of bioactive compounds from marine microalgae. **Life
2139 Sciences**, v. 93, n. 15, p. 479–486, 2013.

- 2140 DE MOURA, R. R. et al. Microwave-Assisted Extraction of Lipids from Wet
2141 Microalgae Paste: A Quick and Efficient Method. **European Journal of Lipid**
2142 **Science and Technology**, 2018.
- 2143 DERNER, R. B. Efeito de fontes de Carbono no crescimento e na composição
2144 bioquímica das microalgas *Chaetoceros muelleri* e *Thalassiosira fluviatilis*, com
2145 ênfase no teor de ácidos graxos poliinsaturados. p. 158, 2006.
- 2146 DESBOIS, A. P. et al. Isolation and structural characterisation of two antibacterial
2147 free fatty acids from the marine diatom, *Phaeodactylum tricornutum*. **Applied**
2148 **Microbiology and Biotechnology**, v. 81, n. 4, p. 755–764, dez. 2008.
- 2149 DESBOIS, A. P.; LAWLOR, K. C. Antibacterial activity of long-chain
2150 polyunsaturated fatty acids against *Propionibacterium acnes* and *Staphylococcus*
2151 *aureus*. **Marine Drugs**, v. 11, n. 11, p. 4544–4557, 2013.
- 2152 DESRIAC, F. et al. Alterins Produced by Oyster-Associated *Pseudoalteromonas*
2153 Are Antibacterial Cyclolipopeptides with LPS-Binding Activity. **Marine Drugs**, v.
2154 18, n. 12, 1 dez. 2020.
- 2155 DIAS, D. A.; URBAN, S.; ROESSNER, U. **A Historical overview of natural**
2156 **products in drug discovery**. **Metabolites**, 2012.
- 2157 FALLAH, K. N. **The Effects of Combination Antibiotic Therapy on Methicillin-**
2158 **Resistant *Staphylococcus aureus***. [s.l: s.n].
- 2159 FENICAL, DR. C. C. H. AND PROF. W. Antibacterials from the Sea. **Bone**, v. 23,
2160 n. 1, 2010.
- 2161 FINDLAY, J. A.; PATIL, A. D. **ANTIBACTERIAL CONSTITUENTS OF THE**
2162 **DIATOM NAVICULA DELOGNEI****Journal of Natural Products Val**. [s.l: s.n].
- 2163 FOURNIER, P. E.; RICHET, H. The epidemiology and control of *Acinetobacter*
2164 *baumannii* in health care facilities. **Clinical Infectious Diseases**, v. 42, n. 5, p.
2165 692–699, 2006.
- 2166 FOURNIER, P. E.; RICHET, H. **The Epidemiology and Control of**
2167 ***Acinetobacter baumannii* in Health Care Facilities Downloaded from****Clinical**
2168 **Infectious Diseases**. [s.l: s.n]. Disponível em: <<http://cid.oxfordjournals.org/>>.
- 2169 GARCÍA, N. et al. Efecto de la salinidad en el crecimiento y composición química
2170 de la diatomea *Thalassiosira weissflogii* en tres fases de cultivo. **Latin American**
2171 **Journal of Aquatic Research**, v. 40, n. 2, p. 435–440, 2012.
- 2172 GARCÍA-DAVIS, S. et al. Antimycobacterial activity of laurinterol and aplysin from
2173 *Laurencia johnstonii*. **Marine Drugs**, v. 18, n. 6, 1 jun. 2020.
- 2174 GOMES, A. M. et al. Antitumor properties of a new non-anticoagulant heparin
2175 analog from the mollusk *Nodipecten nodosus*: Effect on P-selectin, heparanase,
2176 metastasis and cellular recruitment. **Glycobiology**, v. 25, n. 4, p. 386–393, 2015.

- 2177 GONÇALVES-ARAUJO, R. et al. Brazil-Malvinas confluence: Effects of
2178 environmental variability on phytoplankton community structure. **Journal of**
2179 **Plankton Research**, v. 34, n. 5, p. 399–415, 2012.
- 2180 GOPAL, R. et al. Synergistic effects and antibiofilm properties of chimeric
2181 peptides against multidrug-resistant *acinetobacter baumannii* strains.
2182 **Antimicrobial Agents and Chemotherapy**, v. 58, n. 3, p. 1622–1629, mar.
2183 2014.
- 2184 GUARNIERI, M. C. et al. Zoanthid mucus as new source of useful biologically
2185 active proteins. **Toxicon**, v. 143, p. 96–107, 2018.
- 2186 GUL, W.; HAMANN, M. T. Indole alkaloid marine natural products: An established
2187 source of cancer drug leads with considerable promise for the control of parasitic,
2188 neurological and other diseases. **Life Sciences**, v. 78, n. 5, p. 442–453, 2005.
- 2189 HABBU, P. et al. **Antimicrobial metabolites from marine microorganisms**.
2190 **Chinese Journal of Natural Medicines**, 2016.
- 2191 HALICKI, P. C. B. et al. Antibiofilm Potential of Arenecarbaldehyde 2-
2192 Pyridinylhydrazone Derivatives Against *Acinetobacter baumannii*. **Microbial**
2193 **Drug Resistance**, v. 00, n. 00, p. 1–8, 2019.
- 2194 HALICKI, P. C. B. et al. Antibiofilm Potential of Arenecarbaldehyde 2-
2195 Pyridinylhydrazone Derivatives against *Acinetobacter baumannii*. **Microbial**
2196 **Drug Resistance**, v. 26, n. 12, p. 1429–1436, 1 dez. 2020.
- 2197 HAMIDI, M. et al. Recent Patents and Discovery of Anti-inflammatory Agents from
2198 Marine Source. **Marine Drugs**, v. 14, n. 1, p. 1–20, 2016.
- 2199 HARDING, C. M.; HENNON, S. W.; FELDMAN, M. F. Uncovering the
2200 mechanisms of *Acinetobacter baumannii* virulence. **Nature Reviews**
2201 **Microbiology**, v. 16, n. 2, p. 91–102, 2018.
- 2202 HARUN, R. et al. **Bioprocess engineering of microalgae to produce a variety**
2203 **of consumer products**. **Renewable and Sustainable Energy Reviews**, 2010.
- 2204 HOLMES, A. H. et al. Understanding the mechanisms and drivers of antimicrobial
2205 resistance. **The Lancet**, v. 387, n. 10014, p. 176–187, 2016.
- 2206 HOWARD, A. et al. *Acinetobacter baumannii* An emerging opportunistic
2207 pathogen. **Virulence**, v. 3, n. 3, p. 5, 2012.
- 2208 ISHIDA, Y. et al. A highly CO₂-tolerant diatom, *Thalassiosira weissflogii* H1,
2209 enriched from coastal sea, and its fatty acid composition. **Fisheries Science**, v.
2210 66, n. 4, p. 655–659, 2000.
- 2211 KANASE, H. R.; SINGH, K. N. M. Marine pharmacology: Potential, challenges,
2212 and future in India. **Journal of Medical Sciences (Taiwan)**, v. 38, n. 2, p. 49–
2213 53, 2018.

- 2214 KARAMAN, I. et al. Antimicrobial activity of aqueous and methanol extracts of
2215 Juniperus oxycedrus L. **Journal of Ethnopharmacology**, v. 85, n. 2–3, p. 231–
2216 235, 2003.
- 2217 KIJJOA, A.; SAWANGWONG, P. Drugs and Cosmetics from the Sea. **Marine
2218 Drugs**, v. 2, n. 2, p. 73–82, 2004.
- 2219 KLEIN BRETELER, W. C. M.; SCHOGT, N.; RAMPEN, S. Effect of diatom
2220 nutrient limitation on copepod development: Role of essential lipids. **Marine
2221 Ecology Progress Series**, v. 291, p. 125–133, 2005.
- 2222 KOZLOWSKI, E. O.; PAVAO, M. S. G.; BORSIG, L. Ascidian dermatan sulfates
2223 attenuate metastasis, inflammation and thrombosis by inhibition of P-selectin.
2224 **Journal of Thrombosis and Haemostasis**, v. 9, n. 9, p. 1807–1815, 2011.
- 2225 KRZYŚCIAK, P. et al. *Acinetobacter baumannii* isolated from hospital-acquired
2226 infection: biofilm production and drug susceptibility. **Apmis**, v. 125, n. 11, p.
2227 1017–1026, 2017.
- 2228 KURIHARA, M. N. L. et al. **Multidrug-resistant *Acinetobacter baumannii*
2229 outbreaks: a global problem in healthcare settings**. **Revista da Sociedade
2230 Brasileira de Medicina Tropical** NLM (Medline), 2020.
- 2231 KYRIAKIDIS, I. et al. ***Acinetobacter baumannii* antibiotic resistance
2232 mechanisms**. **Pathogens** MDPI AG, 1 mar. 2021.
- 2233 LABARCA, J. A. et al. **Carbapenem resistance in *Pseudomonas aeruginosa*
2234 and *Acinetobacter baumannii* in the nosocomial setting in Latin America**.
2235 **Critical Reviews in Microbiology** Taylor and Francis Ltda, 3 mar. 2016.
- 2236 LAURITANO, C. et al. First identification of marine diatoms with anti-tuberculosis
2237 activity. **Scientific Reports**, 2018.
- 2238 LEE, C. R. et al. Biology of *Acinetobacter baumannii*: Pathogenesis, antibiotic
2239 resistance mechanisms, and prospective treatment options. **Frontiers in
2240 Cellular and Infection Microbiology**, v. 7, n. MAR, 2017a.
- 2241 LEE, C. R. et al. Biology of *Acinetobacter baumannii*: Pathogenesis, antibiotic
2242 resistance mechanisms, and prospective treatment options. **Frontiers in
2243 Cellular and Infection Microbiology**, v. 7, n. MAR, 13 mar. 2017b.
- 2244 LESSEL, E. F. International Committee on Nomenclature of Bacteria
2245 Subcommittee on the Taxonomy of Moraxella and Allied Bacteria: Minutes of the
2246 Meeting, 11 August 1970. Room Constitution C, Maria-Isabel Hotel, Mexico City,
2247 Mexico. **International Journal of Systematic Bacteriology**, v. 21, n. 2, p. 213–
2248 214, 1971.
- 2249 LEWIS, K. Persister cells, dormancy and infectious disease. **Nature Reviews
2250 Microbiology**, v. 5, n. 1, p. 48–56, 2007.
- 2251 LIN, M. F. et al. Role of the BaeSR two-component system in the regulation of
2252 *Acinetobacter baumannii* adeAB genes and its correlation with tigecycline
2253 susceptibility. **BMC Microbiology**, v. 14, n. 1, p. 1–12, 2014.

- 2254 MACHADO, A. A. DE S. et al. Effects of zinc on in vivo fluorescence, chlorophyll
2255 a and growth of the diatom *Conticribra weissflogii* (Thalassiosirales,
2256 Thalassiosiraceae). **Pan-American Journal of Aquatic Sciences**, v. 9, n. 4, p.
2257 278–287, 2014.
- 2258 MALVIYA, S. et al. Insights into global diatom distribution and diversity in the
2259 world's ocean. **Proceedings of the National Academy of Sciences of the**
2260 **United States of America**, v. 113, n. 11, p. E1516–E1525, 15 mar. 2016.
- 2261 MANSOUR, M. P. et al. Lipid and fatty acid yield of nine stationary-phase
2262 microalgae: Applications and unusual C24-C28 polyunsaturated fatty acids.
2263 **Journal of Applied Phycology**, v. 17, n. 4, p. 287–300, 2005.
- 2264 MARELLA, T. K.; TIWARI, A. Marine diatom *Thalassiosira weissflogii* based
2265 biorefinery for co-production of eicosapentaenoic acid and fucoxanthin.
2266 **Bioresource Technology**, v. 307, 1 jul. 2020.
- 2267 MARQUES, J. et al. Marine organism sulfated polysaccharides exhibiting
2268 significant antimalarial activity and inhibition of red blood cell invasion by
2269 *Plasmodium*. **Scientific Reports**, v. 6, n. April, p. 1–14, 2016.
- 2270 MARSTON, H. D. et al. Antimicrobial resistance. **JAMA - Journal of the**
2271 **American Medical Association**, v. 316, n. 11, p. 1193–1204, 2016.
- 2272 MARTIN-JÉZÉQUEL, V.; HILDEBRAND, M.; BRZEZINSKI, M. A. Avance-
2273 Jocelinedavila. **Journal Phycology**, v. 36, n. May, p. 821–840, 2000.
- 2274 MARTINS, A. et al. Marketed marine natural products in the pharmaceutical and
2275 cosmeceutical industries: Tips for success. **Marine Drugs**, v. 12, n. 2, p. 1066–
2276 1101, 2014.
- 2277 MARTINS, R. M. et al. Macroalgae extracts from Antarctica have antimicrobial
2278 and anticancer potential. **Frontiers in Microbiology**, v. 9, n. MAR, 8 mar. 2018.
- 2279 MAYER, A. M. S.; HAMANN, M. T. Marine pharmacology in 2001-2002: Marine
2280 compounds with anthelmintic, antibacterial, anticoagulant, antidiabetic,
2281 antifungal, anti-inflammatory, antimalarial, antiplatelet, antiprotozoal,
2282 antituberculosis, and antiviral activities; Affecting the cardiovas. **Comparative**
2283 **Biochemistry and Physiology - C Toxicology and Pharmacology**, v. 140, n.
2284 3–4, p. 265–286, 2005.
- 2285 MCCONNELL, M. J.; ACTIS, L.; PACHÓN, J. *Acinetobacter baumannii*: Human
2286 infections, factors contributing to pathogenesis and animal models. **FEMS**
2287 **Microbiology Reviews**, v. 37, n. 2, p. 130–155, 2013.
- 2288 MCGAW, L. J.; JÄGER, A. K.; VAN STADEN, J. **Antibacterial effects of fatty**
2289 **acids and related compounds from plants**. **South African Journal of**
2290 **Botany** National Research Foundation, 2002.
- 2291 MIETHKE, M. et al. **Towards the sustainable discovery and development of**
2292 **new antibiotics**. **Nature Reviews Chemistry** Nature Research, 1 out. 2021.

- 2293 MOURÃO, P. A. S. Perspective on the use of sulfated polysaccharides from
2294 marine organisms as a source of new antithrombotic drugs. **Marine Drugs**, v. 13,
2295 n. 5, p. 2770–2784, 2015.
- 2296 MULANI, M. S. et al. Emerging strategies to combat ESKAPE pathogens in the
2297 era of antimicrobial resistance: A review. **Frontiers in Microbiology**, v. 10, n.
2298 APR, 2019.
- 2299 MULVEY, M. R.; SIMOR, A. E. Antimicrobial resistance in hospitals: How
2300 concerned should we be? **Cmaj**, v. 180, n. 4, p. 408–415, 2009.
- 2301 NEMEC, A. et al. Genotypic and phenotypic characterization of the *Acinetobacter*
2302 *calcoaceticus*-*Acinetobacter baumannii* complex with the proposal of
2303 *Acinetobacter pittii* sp. nov. (formerly *Acinetobacter genomic species 3*) and
2304 *Acinetobacter nosocomialis* sp. nov. (formerly *Acinetobacter genomic species*
2305 13TU). **Research in Microbiology**, v. 162, n. 4, p. 393–404, 2011.
- 2306 NEWMAN, D. J.; CRAGG, G. M. **Natural Products as Sources of New Drugs**
2307 **from 1981 to 2014. Journal of Natural Products**, 2016.
- 2308 NEWMAN, D. J.; CRAGG, G. M. Natural Products as Sources of New Drugs over
2309 the Nearly Four Decades from 01/1981 to 09/2019. **Journal of Natural**
2310 **Products**, v. 83, p. 770–803, 2020.
- 2311 NICOL, M. et al. Unsaturated fatty acids affect quorum sensing communication
2312 system and inhibit motility and biofilm formation of *Acinetobacter baumannii*.
2313 **International Journal of Molecular Sciences**, v. 19, n. 1, 10 jan. 2018.
- 2314 NOCERA, F. P.; ATTILI, A. R.; DE MARTINO, L. ***Acinetobacter baumannii: Its***
2315 ***clinical significance in human and veterinary medicine. PathogensMDPI***
2316 AG, , 1 fev. 2021.
- 2317 ODDS, F. C. **Synergy, antagonism, and what the chequerboard puts**
2318 **between them. Journal of Antimicrobial Chemotherapy** Oxford University
2319 Press, 1 jul. 2003.
- 2320 OHSE, S. et al. Crescimento de microalgas em sistema autotrófi co estacionário
2321 Resumo Introdução. **Biotemas**, v. 21, n. 2, p. 7–18, 2008.
- 2322 OLAIZOLA, M. Commercial development of microalgal biotechnology: From the
2323 test tube to the marketplace. **Biomolecular Engineering**, v. 20, n. 4–6, p. 459–
2324 466, 2003.
- 2325 ORME, I. **Search for new drugs for treatment of tuberculosis. Antimicrobial**
2326 **Agents and Chemotherapy**, 2001.
- 2327 PELEG, A. Y.; SEIFERT, H.; PATERSON, D. L. ***Acinetobacter baumannii:***
2328 **Emergence of a successful pathogen. Clinical Microbiology Reviews**, v. 21, n.
2329 3, p. 538–582, 2008.
- 2330 PENDLETON, J. N.; GORMAN, S. P.; GILMORE, B. F. Clinical relevance of the
2331 ESKAPE pathogens. **Expert Review of Anti-Infective Therapy**, v. 11, n. 3, p.
2332 297–308, 2013.

- 2333 PEREZ, F. et al. Global challenge of multidrug-resistant *Acinetobacter baumannii*.
2334 **Antimicrobial Agents and Chemotherapy**, v. 51, n. 10, p. 3471–3484, 2007.
- 2335 POWERS, J. H. Antimicrobial drug development - The past, the present, and the
2336 future. **Clinical Microbiology and Infection, Supplement**, v. 10, n. 4, p. 23–31,
2337 2004.
- 2338 PULZ, O.; GROSS, W. Valuable products from biotechnology of microalgae.
2339 **Applied Microbiology and Biotechnology**, v. 65, n. 6, p. 635–648, 2004.
- 2340 QI, L. et al. Relationship between antibiotic resistance, biofilm formation, and
2341 biofilm-specific resistance in *Acinetobacter baumannii*. **Frontiers in**
2342 **Microbiology**, v. 7, n. APR, 12 abr. 2016.
- 2343 RABIEE, N. et al. **Diatoms with invaluable applications in nanotechnology,**
2344 **biotechnology, and biomedicine: Recent advances**. **ACS Biomaterials**
2345 **Science and Engineering** American Chemical Society, 12 jul. 2021.
- 2346 RADCHENKO, I. G.; IL'YASH, L. V. Growth and photosynthetic activity of diatom
2347 *Thalassiosira weissflogii* at decreasing salinity. **Biology Bulletin**, v. 33, n. 3, p.
2348 242–247, 2006.
- 2349 RAMOS, D. F. et al. Chemical Profile and Antimicrobial Activity of the Marine
2350 Diatom *Chaetoceros muelleri*. **Chemistry and Biodiversity**, v. 19, n. 5, 1 maio
2351 2022.
- 2352 RICE, L. B. Federal funding for the study of antimicrobial resistance in nosocomial
2353 pathogens: No ESKAPE. **Journal of Infectious Diseases**, v. 197, n. 8, p. 1079–
2354 1081, 2008.
- 2355 ROTTER, A. et al. **The Essentials of Marine Biotechnology**. **Frontiers in**
2356 **Marine Science**Frontiers Media S.A., 16 mar. 2021.
- 2357 RUA, C. P. J. et al. Diversity and antimicrobial potential of culturable heterotrophic
2358 bacteria associated with the endemic marine sponge *Arenosclera brasiliensis*.
2359 **PeerJ**, v. 2014, n. 1, p. 1–14, 2014.
- 2360 SABDANINGSIH, A. et al. A new citrinin derivative from the Indonesian Marine
2361 Sponge-Associated Fungus *Penicillium citrinum*. **Marine Drugs**, v. 18, n. 4, 1 abr.
2362 2020.
- 2363 SANSONE, C.; BRUNET, C. Promises and challenges of microalgal antioxidant
2364 production. **Antioxidants**, v. 8, n. 7, 2019.
- 2365 SANTHOSH, S.; DHANDAPANI, R.; HEMALATHA, N. Bioactive compounds
2366 from Microalgae and its different applications- a review. **Advances in Applied**
2367 **Science Research**, v. 7, n. 4, p. 153–158, 2016.
- 2368 SAVAGE, N. The scum solution. **Nature**, p. 5–6, 2011.
- 2369 SCHINKE, C. et al. Antibacterial Compounds from Marine Bacteria, 2010-2015.
2370 **Journal of Natural Products**, v. 80, n. 4, p. 1215–1228, 2017.

- 2371 SCOPEL, M. et al. Dipeptide cis-cyclo (Leucyl-Tyrosyl) produced by sponge
2372 associated Penicillium sp. F37 inhibits biofilm formation of the pathogenic
2373 *Staphylococcus epidermidis*. **Bioorganic and Medicinal Chemistry Letters**, v.
2374 23, n. 3, p. 624–626, 2013.
- 2375 SHARMA, N.; SHARMA, P. JOURNAL OF ADVANCES IN PLANT BIOLOGY
2376 Review Industrial and Biotechnological Applications of Algae: A Review. n. 1,
2377 2017.
- 2378 SHIN, B.; PARK, W. Antibiotic resistance of pathogenic *Acinetobacter* species
2379 and emerging combination therapy. **Journal of Microbiology**, v. 55, n. 11, p.
2380 837–849, 2017.
- 2381 SIRIJAN SANTAJIT; NITAYA INDRAWATTANA. Mechanisms of antimicrobial
2382 resistance in Pasteurellaceae. **PBioMed Research International**, v. 2016, n.
2383 1155, p. 1–8, 2016.
- 2384 SKARIYACHAN, S. et al. **Recent perspectives on the virulent factors and**
2385 **treatment options for multidrug-resistant *Acinetobacter baumannii*.** **Critical**
2386 **Reviews in Microbiology** Taylor and Francis Ltd, , 2019.
- 2387 SKROPETA, D.; WEI, L. Recent advances in deep-sea natural products. **Natural**
2388 **Product Reports**, v. 31, n. 8, p. 999–1025, 2014.
- 2389 SNEWIN, V. A. et al. Assessment of immunity to mycobacterial infection with
2390 luciferase reporter constructs. **Infection and Immunity**, v. 67, n. 9, p. 4586–
2391 4593, 1999.
- 2392 SOTO, S. M. **The Sea as a Source of Antibiotics**. [s.l: s.n.]. v. 04
- 2393 STACHURA-SUCHOPLES, K.; WILLIAMS, D. M. Description of *Conticribra*
2394 *tricircularis*, a new genus and species of Thalassiosirales, with a discussion on
2395 its relationship to other continuous cribra species of Thalassiosira Cleve
2396 (Bacillariophyta) and its freshwater origin. **European Journal of Phycology**, v.
2397 44, n. 4, p. 477–486, 2009.
- 2398 TACCONELLI, E. et al. Discovery, research, and development of new antibiotics:
2399 the WHO priority list of antibiotic-resistant bacteria and tuberculosis. **The Lancet**
2400 **Infectious Diseases**, v. 18, n. 3, p. 318–327, 1 mar. 2018.
- 2401 THOMPSON, F. et al. Marine Biotechnology in Brazil: Recent Developments and
2402 Its Potential for Innovation. **Frontiers in Marine Science**, 2018.
- 2403 THUMMEEPAK, R. et al. Distribution of virulence genes involved in biofilm
2404 formation in multi-drug resistant acinetobacter Baumannii clinical isolates.
2405 **International Microbiology**, v. 19, n. 2, p. 121–129, 2016.
- 2406 TOVAR, A. M. F. et al. Structural and haemostatic features of pharmaceutical
2407 heparins from different animal sources: Challenges to define thresholds
2408 separating distinct drugs. **Scientific Reports**, v. 6, n. October, p. 1–12, 2016.

- 2409 VELLA, F. M. et al. Annual outdoor cultivation of the diatom *Thalassiosira*
2410 *weissflogii*: productivity, limits and perspectives. **Algal Research**, v. 42, n. May,
2411 p. 101553, 2019.
- 2412 VESTERGAARD, M. et al. Antibiotic combination therapy can select for broad-
2413 spectrum multidrug resistance in *Pseudomonas aeruginosa*. **International**
2414 **Journal of Antimicrobial Agents**, v. 47, n. 1, p. 48–55, 2016.
- 2415 VIRGINIA ARMBRUST, E. et al. **The Genome of the Diatom *Thalassiosira***
2416 **pseudonana: Ecology, Evolution, and Metabolism**. [s.l: s.n.]. Disponível em:
2417 <<http://science.sciencemag.org/>>.
- 2418 WATKINS, R. R.; BONOMO, R. A. **Overview: The Ongoing Threat of**
2419 **Antimicrobial Resistance. Infectious Disease Clinics of North America**W.B.
2420 Saunders, , 1 dez. 2020.
- 2421 WIJFFELS, R. H. Potential of sponges and microalgae for marine biotechnology.
2422 **Trends in Biotechnology**, v. 26, n. 1, p. 26–31, 2008.
- 2423 WONG, D. et al. Clinical and pathophysiological overview of *Acinetobacter*
2424 infections: A century of challenges. **Clinical Microbiology Reviews**, v. 30, n. 1,
2425 p. 409–447, 2017.
- 2426 YOON, B. K. et al. Spectrum of Membrane Morphological Responses to
2427 Antibacterial Fatty Acids and Related Surfactants. **Langmuir**, v. 31, n. 37, p.
2428 10223–10232, 22 set. 2015.
- 2429 ZANG, M. et al. The Impact of Omega-3 Fatty Acids on the Evolution of
2430 *Acinetobacter baumannii* Drug Resistance. 2021.

2431

2432 Clique ou toque aqui para inserir o texto.

2433